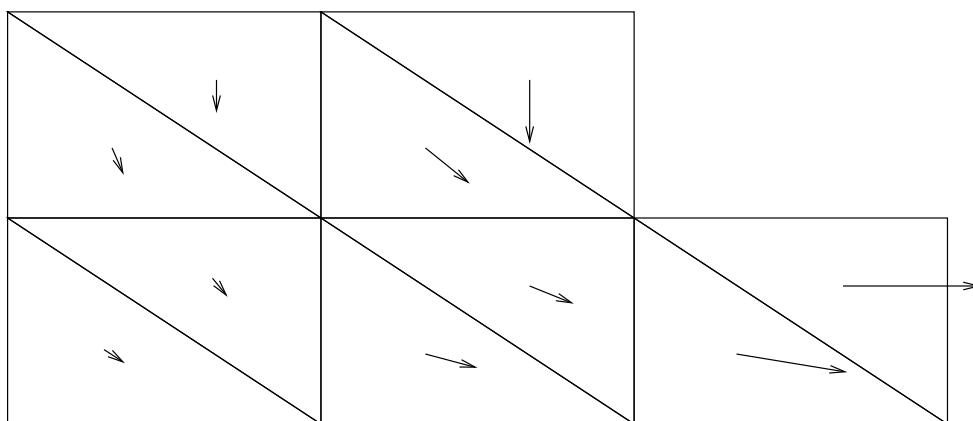


Irina Munteanu, Gabriela Ciuprina, F. M. G. Tomescu



## **Modelarea numerică a câmpului electromagnetic prin programe Scilab**

Printech  
București, 2000

Irina Munteanu, Gabriela Ciuprina, F. M. G. Tomescu  
Catedra de Electrotehnică, Universitatea “Politehnica” din București

# **Modelarea numerică a câmpului electromagnetic prin programe Scilab**

Printech  
București, 2000

Irina Munteanu, Gabriela Ciuprina, F. M. G. Tomescu

**Modelarea numerică a câmpului electromagnetic prin programe Scilab.**

Referenți științifici: Prof. dr. ing. Daniel Ioan  
Prof. dr. ing. Alexandru Morega

Printech, București, 2000

Spl. Independenței 313  
77206 București

**Această carte a fost editată cu sprijinul CNCSU și al Băncii Mondiale în cadrul proiectului CNCSU/36.**

# Cuprins

<b>1</b>	<b>Inițiere în Linux</b>	<b>3</b>
1.1	Mediul hardware de lucru	3
1.2	Intrarea în sistem	3
1.3	Lucrul în mediul Linux	5
1.4	Ieșirea din sistem	7
1.5	Câteva comenzi Linux de bază	7
1.5.1	Lucrul cu fișiere	9
1.5.2	Lucrul cu directoare	10
1.5.3	Schimbarea parolei	11
1.5.4	Procese și utilizatori	11
1.5.5	Ajutor!	12
1.5.6	Diverse utilitare	12
1.6	Editorul de texte <code>joe</code>	13
1.7	Programul de poștă electronică <code>elm</code>	15
1.7.1	Apelare	15
1.7.2	Ajutor!	15
1.7.3	Citirea mesajelor primite	16
1.7.4	Trimitere de mesaje	16
1.7.5	Aliasuri personale	17
1.7.6	Ștergerea / mutarea mesajelor în altă casuță poștală	17
1.7.7	Modificarea opțiunilor	18
1.7.8	Ieșirea din <code>elm</code>	19

<b>2</b>	<b>Inițiere în Scilab</b>	<b>21</b>
2.1	Înainte de toate....	21
2.2	Variabile și constante.	22
2.3	Atribuirii și expresii	23
2.4	Generarea vectorilor și matricelor	26
2.5	Instrucțiuni grafice	28
2.6	Programare în <i>Scilab</i>	29
2.6.1	Editarea programelor	30
2.6.2	Operații de intrare/ieșire	30
2.6.3	Structuri de control	32
2.6.4	Funcții	33
	Definirea funcțiilor în fișiere	33
	Definirea “on-line” a funcțiilor	34
2.7	Exercițiul final - câmpul unei sarcini punctiforme situate în vid	35
<b>3</b>	<b>Concepte de bază.</b>	<b>37</b>
3.1	Aproximări polinomiale	37
3.1.1	Cazul unidimensional	37
3.1.2	Cazul bidimensional	45
3.2	Clasificarea sistemelor de ecuații cu derivate parțiale	46
3.3	Aproximarea cu diferențe finite	47
3.3.1	Ideea metodei. Formule de aproximare în cazul unidimensional.	47
3.3.2	Algoritmul metodei	49
3.3.3	Exerciții	49
3.4	Metoda reziduurilor ponderate	52
3.4.1	Ideea metodei. Funcții de bază în cazul unidimensional.	52
3.4.2	Algoritmul metodei	54
3.4.3	Forma discretizată a ecuației de rezolvat	55
	Determinarea contribuțiilor elementelor finite	56
	Determinarea contribuțiilor frontierei	59
3.4.4	Exerciții	61

---

<b>4</b>	<b>Metoda volumelor finite</b>	<b>65</b>
4.1	Enunțul problemei . . . . .	65
4.2	Formularea corectă a problemei . . . . .	66
4.3	Ideea metodei. Ecuatii finale. . . . .	66
4.3.1	Aproximarea câmpului electric . . . . .	67
4.3.2	Aproximarea ecuațiilor . . . . .	67
4.4	Implementarea metodei în <i>Scilab</i> . . . . .	71
4.4.1	Preprocesarea . . . . .	72
4.4.2	Rezolvarea . . . . .	78
4.4.3	Postprocesarea . . . . .	78
<b>5</b>	<b>Metoda diferențelor finite</b>	<b>81</b>
5.1	Metoda diferențelor finite în cazul bidimensional . . . . .	81
5.1.1	Aproximarea potențialului și a derivatelor sale . . . . .	82
5.1.2	Aproximarea ecuațiilor . . . . .	83
5.2	Implementarea metodei în <i>Scilab</i> . . . . .	87
<b>6</b>	<b>Metoda elementelor finite</b>	<b>89</b>
6.1	Metoda elementelor finite în cazul bidimensional . . . . .	89
6.1.1	Aproximarea potențialului . . . . .	90
6.1.2	Asamblarea sistemului de ecuații . . . . .	93
	Forma sistemului de ecuații asociat metodei Galerkin . . . . .	93
	Determinarea contribuției elementelor finite . . . . .	94
	Determinarea contribuției frontierei . . . . .	95
6.2	Implementarea metodei în <i>Scilab</i> . . . . .	98
6.2.1	Generarea structurilor de date . . . . .	99
6.2.2	Asamblarea matricei . . . . .	104
6.2.3	Exerciții propuse . . . . .	106
	Verificarea preciziei aproximării condiției Neumann . . . . .	106
	Noi elemente de postprocesare . . . . .	107
	Variante ale metodei elementelor finite . . . . .	108

---

<b>7</b>	<b>Metoda elementelor de frontieră</b>	<b>111</b>
7.1	Ideea metodei. Ecuatii integrale. . . . .	111
7.1.1	Formula celor trei potențiale . . . . .	114
7.1.2	Aproximarea potențialului și a derivatei sale pe frontiera domeniului	117
7.1.3	Aproximarea condițiilor de frontieră . . . . .	117
	Formulele de aproximare . . . . .	117
	Calculul analitic al integralelor . . . . .	119
7.1.4	Calculul repartiției potențialului . . . . .	121
7.2	Implementarea metodei în <i>Scilab</i> . . . . .	121
7.2.1	Implementarea funcțiilor care calculează integrale . . . . .	121
7.2.2	Implementarea structurilor de date . . . . .	123
7.2.3	Asamblarea sistemului de ecuații . . . . .	128
7.2.4	Postprocesarea . . . . .	130
	<b>Bibliografie</b>	<b>135</b>
<b>A</b>	<b>Cum se desfășoară laboratorul</b>	
	<i>Modelarea numerică a câmpului electromagnetic?</i>	<b>137</b>
<b>B</b>	<b>Regulamentul Laboratorului de Metode Numerice</b>	<b>139</b>

# Introducere

Volumul de față reprezintă o dezvoltare a îndrumarului de laborator asociat cursului de *Modelare numerică a câmpului electromagnetic*, dedicat studenților anului IV al Facultății de Electrotehnică din Universitatea “Politehnica” din București de la specializarea *Inginerie electrică asistată de calculator*.

Deși lucrarea se adresează în primul rând studenților care urmează acest curs, el poate fi util tuturor studenților și inginerilor care doresc să se familiarizeze cu conceptele de bază și cu principalele metode numerice utilizate în analiza asistată de calculator a dispozitivelor electromagnetice.

Laboratorul de *Modelarea numerică a câmpului electromagnetic* este conceput în ideea urmării a două obiective. În primul rând, laboratorul trebuie să illustreze metode, tehnici și algoritmi de modelare numerică a câmpului electromagnetic, în acord cu subiectele tratate la curs. În același timp însă, în conformitate cu specializarea studenților, este urmărită crearea și perfecționarea abilităților de utilizare eficientă a calculatorului în practica ingierească. Acest al doilea obiectiv poate fi realizat prin inițierea și perfecționarea studenților în utilizarea unui pachet de programe de mare eficiență, cum este *Scilab*.

Cartea este structurată în șapte teme de laborator.

Prima temă reprezintă o inițiere în sistemul de operare Linux, o variantă pentru PC-uri a sistemului de operare Unix. Deși este mai puțin cunoscut decât Windows, Unix este sistemul de operare utilizat în întreaga lume pentru calcule științifice. Tema conține o prezentare a mediului hardware de lucru în care studenții își desfășoară activitatea de laborator, o listă a principalelor comenzi Linux, precum și instrucțiuni de utilizare pentru două utilitare de strictă necesitate, un editor de texte (*joe*) și un program de poștă electronică (*elm*).

Tema a doua prezintă mediul de programare *Scilab* destinat efectuării de calcule matematice. *Scilab*, dezvoltat de Institutul Național Francez de Informatică (INRIA) este un emulator al binecunoscutului mediu Matlab. Tema descrie principalele tipuri de date și instrucțiuni ale mediului *Scilab*, pe baza a numeroase exemple.

A treia temă reprezintă o trecere în revistă a conceptelor de bază necesare pentru înțelegerea metodelor numerice prezentate în următoarele teme. Sunt prezentate pe scurt aproximările polinomiale unidimensionale (de tip Lagrange, Hermite și liniare pe porțiuni) și bidimensionale (de tip Lagrange), precum și variantele unidimensionale ale



metodelor diferențelor finite și reziduurilor ponderate.

Temele 4 – 7 prezintă principalele metode numerice de analiză a câmpului electromagnetic: metoda volumelor finite, diferențelor finite, elementelor finite și elementelor de frontieră. La fiecare dintre metode este descrisă în mod sugestiv ideea metodei, este prezentat modul de discretizare a ecuațiilor câmpului electromagnetic în detaliu (până la formulele coeficienților sistemului final de ecuații) și sunt prezentați algoritmi scriși în pseudocod. De asemenea, fiecare temă conține noțiuni de pre/postprocesare specifice metodei tratate. Algoritmii propuși pot fi ușor implementați de către studenți în limbajul *Scilab* și testați pe configurații relativ simple, în regim staționar.

Fiecare dintre teme conține un număr mare de exerciții, într-o ordine crescătoare a gradului de dificultate, ceea ce permite asimilarea mai rapidă a cunoștințelor.

Contribuția autorilor la realizarea lucrării este următoarea:

- Ș.l. univ. Gabriela Ciuprina a conceput și tehnoredactat temele 2, 4, 5, 7 și subcapitolele 3.1 – 3.3 din tema 3;
- Conf. univ. dr. ing. Irina Munteanu a conceput și tehnoredactat temele 1, 6, subcapitolul 3.4 din tema 3 și a realizat integrarea finală a temelor în volumul de față;
- Prof. univ. dr. ing. F. M. G. Tomescu a coordonat realizarea întregii lucrări și a contribuit la concepția temelor 3, 4, 6, 7.

Autorii mulțumesc proiectului TEMPUS 9122 și proiectului Băncii Mondiale CNCSU/36, a căror generoasă finanțare a contribuit la dotarea sălii de calculatoare în care se desfășoară laboratorul de *Modelare numerică a câmpului electromagnetic*.

De asemenea, autorii sunt recunoscători conducerii Facultății și Catedrei de Electrotehnică din Universitatea “Politehnica” din București, în special domnilor profesori Mihai Popescu, C. Ghiță și F. Hăntilă, pentru sprijinul acordat în vederea introducerii noii specializări și în particular a acestui curs în planul de învățământ. Nu în ultimul rând, mulțumiri i se cuvin domnului profesor Daniel Ioan, șeful Laboratorului de Metode Numerice, care a constituit punctul de plecare al întregii structuri de cercetare și învățământ în direcția ingineriei electrice asistate de calculator.

Autorii sunt recunoscători tuturor celor care pot face comentarii și sugestii în vederea îmbunătățirii acestei cărți, la una din adresele:

`irina@lmm.pub.ro`

`gabriela@lmm.pub.ro`

# Capitolul 1

## Inițiere în Linux

Linux este o variantă a sistemului de operare Unix.

Tema 1 are ca scop familiarizarea cu mediul de lucru (intrarea în sistem, lucrul cu ferestre), cu câteva din principalele comenzi Linux precum și cu două utilitare Linux: editorul de texte `joe` și programul de poștă electronică `elm`.

**Observație:** Subcapitolele 1.1 – 1.4 sunt destinate cititorilor care lucrează în Laboratorul de Metode Numerice al Universității “Politehnica” din București. Dacă nu este cazul Dvs., solicitați administratorului de rețea să vă indice regulile de acces în sistemul pe care lucrați.

### 1.1 Mediul hardware de lucru

Laboratorul “Modelarea numerică a câmpului electromagnetic” se desfășoară în sala EB-210 a catedrei de Electrotehnică din Politehnica bucureșteană. Dotarea hardware constă din:

- două servere marca Digital MicroVAX 3900 și MicroVAX II;
- un server Linux de tip Pentium 75MHz;
- XTerminale marca Digital VAXStation 3100;
- rețea locală Ethernet 10Mb/s;
- conexiune Internet.

### 1.2 Intrarea în sistem

Pentru a putea lucra în acest sistem, fiecărui utilizator i se acordă:

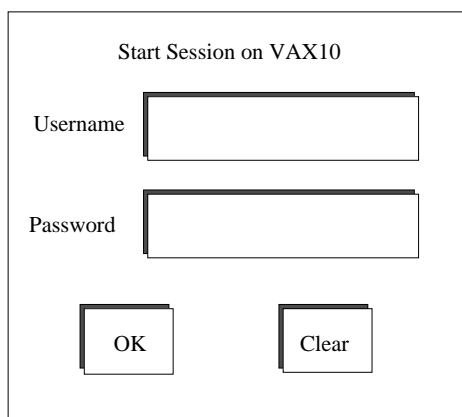
- un nume de cont (username);
- o parolă (password).

Accesul în sistem se realizează în două etape:

1. etapa de acces în sistemul Linux;
2. etapa de acces al utilizatorului la propriul său cont Linux.

Aceste două etape sunt descrise în cele ce urmează.

După pornirea rețelei de către administratorul de sistem, stațiile de lucru (XTerminale) afișează **fereastra de acces în rețea**, prin care se poate realiza conectarea la serverul Linux. Fereastra are aspectul:



Start Session on VAX10

Username

Password

OK Clear

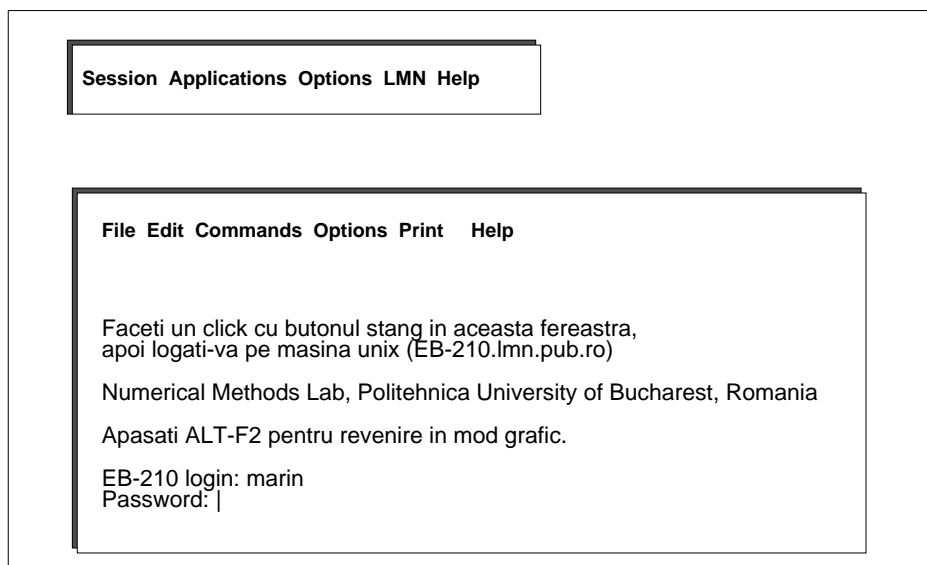
În această fereastră se introduc:

Username: `linux`

Password: `vax`

apoi se "apasă" (se mută cursorul mouse-ului și se apasă butonul din stânga) butonul OK.

După câteva secunde se afișează pe rând două ferestre:



Session Applications Options LMN Help

File Edit Commands Options Print Help

Faceti un click cu butonul stang in aceasta fereastră,  
apoi logati-va pe masina unix (EB-210.lmn.pub.ro)

Numerical Methods Lab, Politehnica University of Bucharest, Romania

Apasati ALT-F2 pentru revenire in mod grafic.

EB-210 login: marin  
Password: |

Fereastra din partea de jos a ecranului, numită **fereastra de acces a utilizatorului**, permite introducerea numelui de cont și a parolei specifice fiecărui utilizator, astfel:

- se plasează cursorul în fereastra de acces a utilizatorului;
- se apasă butonul din stânga al mouse-ului (în limba engleză, "click");
- se introduc numele de cont și parola:

login: *username* < ↵ >

password: *parola* < ↵ >

Aceste operații trebuie efectuate cât mai repede. Din motive de securitate, parola nu este afișată pe ecran.

Dacă numele și parola sunt recunoscute de serverul Linux, după scurt timp pe ecran se afișează *mediul Linux*.

## 1.3 Lucrul în mediul Linux

La începutul unei sesiuni Linux se afișează o fereastră de lucru (XTerm) și un grup de butoane (să-l numim în continuare Toolbox) în colțul din dreapta jos a ecranului.

Mutarea cursorului mouse-ului în fereastra de lucru are ca efect vizibil schimbarea culorii barei superioare a ferestrei. Se marchează astfel faptul că fereastra a devenit **fereastra activă** de lucru. În acest moment se pot da comenzi la promptul sistemului, EB-210:~\$.

Butoanele mouse-ului au funcții diferite, după cum cursorul se află plasat într-o fereastră sau în afara oricărei ferestre.

- **Cursorul mouse-ului este plasat într-o fereastră**
  - Butonul din stânga: permite *selectarea* unui text, astfel: se plasează cursorul la începutul textului, se apasă butonul din stânga și se deplasează mouse-ul ținând apăsat butonul din stânga. Textul astfel selectat își schimbă culoarea.
  - Butonul din mijloc: permite introducerea la promptul sistemului a textului selectat, literă cu literă, ca și cum el ar fi introdus de utilizator de la tastatură.
  - Butonul din dreapta: se comportă similar cu butonul din stânga, dar permite selectarea unei porțiuni mai mari de text: se deplasează cursorul la începutul textului de selectat, se apasă butonul din stânga fără a deplasa mouse-ul, se deplasează mouse-ul la sfârșitul textului de selectat, se apasă butonul din dreapta.

**EXERCITIUL 1:**

Introduceți textul "EB-210" urmat de < ↵ > (Enter) la promptul din fereastra de lucru. Faceți aceeași operațiune folosind butoanele mouse-ului. Comentați utilitatea acestei ultime tehnici.

Observație: ignorați deocamdată mesajele de eroare afișate de sistemul de operare Linux – ele sunt, la acest exercițiu, inofensive.

Cu excepția acestui exercițiu, NU IGNORAȚI NICIODATĂ MESAJELE DE EROARE afișate!!! Dacă nu știți ce înseamnă, întrebați, dar NU LE IGNORAȚI!

- **Cursorul mouse-ului este plasat pe bordura unei ferestre**

- Butonul din stânga: permite mutarea ferestrei;
- Butonul din dreapta: permite "ridicarea" ferestrei la suprafață (deasupra altor ferestre de pe ecran) sau "ascunderea" ei (sub celelalte ferestre).

- **Cursorul mouse-ului este plasat în afara oricărei ferestre (pe "fondul" ecranului)**

- Butonul din stânga: afișează un **menu** din care se pot lansa diferite programe sau utilitare. Dintre acestea, deosebit de utile sunt: prima linie a meniului, care permite deschiderea unei noi ferestre de lucru; ultima linie a meniului, care permite ieșirea din sistem (nu încercați această opțiune chiar în acest moment!).
- Butonul din mijloc: permite efectuarea de operații cu ferestrele de lucru: schimbarea dimensiunilor (resize), mutarea (move), închiderea (kill).
- Butonul din dreapta: afișează o listă a ferestrelor deschise, și permite deplasarea rapidă a cursorului în fereastra selectată.

**EXERCITIUL 2:**

Deschideți o nouă fereastră. Folosind butonul din mijloc, schimbați-i dimensiunile. Mutați fereastra în colțul din stânga jos al ecranului. Închideți fereastra nou creată.

Observație: Schimbarea dimensiunii unei ferestre la dimensiunea maximă (cât tot ecranul) se poate face și apăsând al doilea buton (un pătrățel) aflat în partea din dreapta sus a bordurii ferestrei.

Dacă la un moment dat sunt deschise mai multe ferestre, în fiecare dintre ele se pot da comenzi independente, ca și cum utilizatorul ar avea la dispoziție mai multe terminale (ecrane). Gestionarea unui număr mare de ferestre (care la un moment dat pot să se suprapună, unele dintre ele nefiind vizibile) este facilitată de:

- bara orizontală plasată în partea de jos a ecranului; ea conține câte un buton pentru fiecare fereastră deschisă; apăsarea unui astfel de buton are ca efect mutarea cursorului în fereastra corespunzătoare și selectarea acesteia ca fereastră activă;

- cele trei căsuțe intitulate **Desktop** din Toolbox (grupul de butoane plasate în colțul dreapta jos al ecranului); să notăm căsuțele cu numere de ordine: **Desktop0**, **Desktop1**, **Desktop2**. Ele pot fi privite ca porțiuni din “ecranul logic” pe care se pot plasa ferestre. Numai una din cele trei părți ale acestui “ecran logic” este afișată, la un moment dat, pe ecranul fizic (la început, **Desktop0**).

a) Deschideți încă două ferestre. Observați efectul asupra căsuței **Desktop0**.

b) Deplasați-vă din fereastră în fereastră (activând astfel una sau alta dintre ferestre), în două moduri:

- deplasând cursorul mouse-ului;
- folosind bara orizontală din partea de jos a ecranului.

### EXERCITIUL 3:

c) Mutați o fereastră în **Desktop1** astfel:

- mutați fereastra spre dreapta până când o jumătate a ei nu mai este vizibilă (observați efectul asupra căsuței **Desktop1**);
- deplasați cursorul mouse-ului pe căsuța **Desktop1** și apăsați butonul din stânga al mouse-ului;
- poziționați fereastra în **Desktop1**.

Comentați utilitatea celor trei desktop-uri.

## 1.4 Ieșirea din sistem

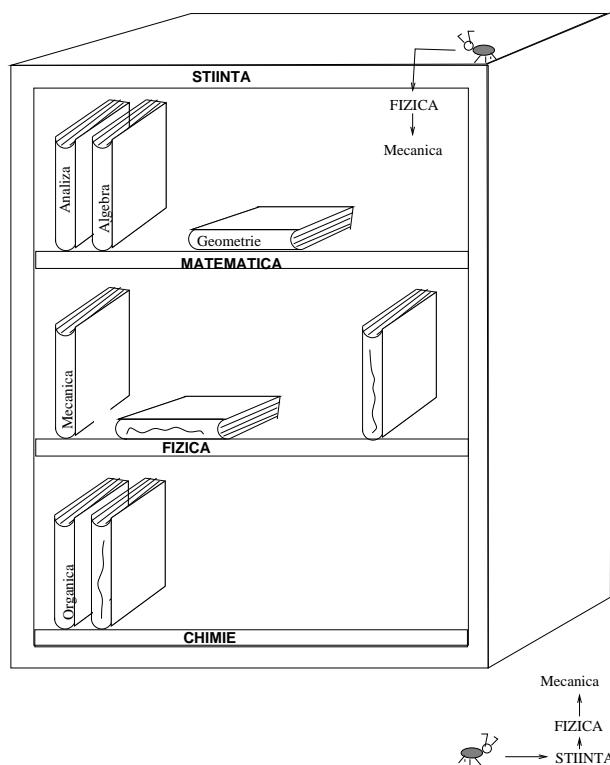
- Se închid pe rând toate ferestrele de lucru deschise, de exemplu folosind comanda **exit**;
- Se apasă butonul din stânga al mouse-ului și se selectează ultima linie din meniu (**Exit Fvwm95**);
- La noul meniu apărut se răspunde (prin selectare cu mouse-ul) **Yes, really quit**;
- Se așteaptă apariția unei ferestre a rețelei, din care se selectează **Session** și apoi **Exit**.

## 1.5 Câteva comenzi Linux de bază

Ca orice sistem de operare, Linux operează cu două concepte legate de stocarea informației:

- fișiere: entități care conțin informații (text, programe);
- directoare: entități care permit gruparea și ordonarea fișierelor.

Folosind similitudinea cu o bibliotecă, fișierele se aseamănă cu cărțile, în timp ce directoarele se aseamănă cu rafturile în care acestea sunt așezate. La rândul lor, rafturile pot fi grupate în dulapuri de cărți, care în Linux sunt tot directoare. Fiecare "dulap de cărți", raft sau carte are un nume. Pentru a preciza unde se află o carte, trebuie precizate toate informațiile care să permită găsirea cărții: dulapul, raftul, titlul. Tot astfel în Linux trebuie precizată toată *calea* pe care se poate ajunge la un director sau fișier.



Dacă o furnică erudită ar vrea să ajungă până la cartea *Mecanică* din domeniul științelor exacte, și dacă ea se află deja pe dulapul numit "Știință", nu mai este nevoie să i se precizeze și dulapul, este suficient să i se indice raftul și titlul exact al cărții. Dacă furnica a reușit să ajungă pe raftul care o interesează, *Fizica*, singura informație de care mai are nevoie este titlul cărții. Aceste informații parțiale se numesc *relative* la poziția în care se află furnica.

Dacă în schimb furnica se află la intrarea facultății, sau dacă rătăcește prin dulapul marcat "Limbi străine", pentru a putea găsi cartea este nevoie să se precizeze toate informațiile (dulap, raft, titlu), adică informații de natură *absolută*.

Pentru furnica aflată în sală, departe de dulapul de cărți științifice, drumul ei ar fi descris în Linux de: `/STIINTA/FIZICA/Mecanica`,

în timp ce pentru furnica aflată deja în dulapul de științe, calea de mai sus poate fi prescurtată ca: `FIZICA/Mecanica`.

Observați lipsa primului caracter / (în engleză "slash") atunci când calea spre "cartea" (fișierul) de mecanică este dată relativ la poziția curentă.

Numele fișierelor și directoarelor pot conține litere, cifre, caractere speciale: `_` (underscore sau caracter de subliniere), `-` (minus) și `.` (punctul).

Exemplu: `program1`, `tema.pas.bak`, `tema-1`, `tema_2` sunt nume valide de fișiere sau de directoare.

Un nume format dintr-un singur punct semnifică *directorul curent*, oricare ar fi acesta. Directorul simbolizat `/`, cel care conține toate celelalte directoare și fișiere ale sistemului (și care ar fi echivalent sălii de bibliotecă în care sunt plasate toate dulapurile cu cărți), se numește *directorul rădăcină*.

Un director special este așa-numitul director *home* al utilizatorului, simbolizat prin `$HOME` sau prin `~`. La intrarea în sistem sunteți plasați în directorul *home*.

Sunt deosebit de utile alte două notații: directorul *curent* este simbolizat cu `.` (punct); directorul *precedent* ierarhic, adică cel care **conține directorul curent** este simbolizat cu `..` (de două ori punct).

### 1.5.1 Lucrul cu fișiere

- `ls` – afișează conținutul (lista directoarelor și fișierelor) directorului curent.

Comanda `ls` poate fi apelată cu parametri, de exemplu:

```
ls -l
```

pentru afișarea conținutului directorului curent, cu informații detaliate privitoare la drepturile de citire (`r`), scriere (`w`) sau execuție (`x`), data și ora ultimei modificări, dimensiunea fișierului, etc.

- `more nume_fișier` – listează conținutul unui fișier.

După lansarea `more`, sunt active următoarele comenzi:

- `spațiu` – avansare cu o pagină spre sfârșitul fișierului;
- `b` – avansare cu o pagină spre începutul fișierului;
- `< ↵ >` – avansare cu un rând înainte;
- `q` – ieșire din `more`.

#### **EXERCITIUL 4:**

- Afișați lista fișierelor din directorul curent. Deschideți o altă fereastră și repetați comanda. Comentați.
- Afișați pe ecran, într-una din ferestrele de lucru, conținutul fișierului `/usr/local/man/whatis`.

- `cp nume_fișier_existent nume_nou` – copiază fișierul `nume_fișier_existent` sub numele `nume_nou`.
- `mv nume_fișier_existent nume_nou` – redenumeste fișierul `nume_fișier_existent`
- `mv nume_fișier_existent nume_director` – mută fișierul în directorul `nume_director`



- `rm nume_fișier_existent` – șterge fișierul.

### EXERCITIUL 5:

a) Copiați fișierul `.cshrc` sub numele `test`. Listați conținutul fișierului `test`. Redenumiți `test` în `test1`. Listați conținutul directorului curent. Ștergeți fișierul `test1`.

b) Fără a le executa, încercați să prevedeați efectul următoarelor instrucțiuni:

```
cp .bashrc temporar
mv temporar temp
rm temporar
rm temp
```

Executați aceste instrucțiuni și observați efectul lor.

## 1.5.2 Lucrul cu directoare

- `cd nume_director` – schimbarea directorului curent

Exemplu: Efectul următoarelor trei comenzi:

```
cd /          schimbă directorul curent în directorul rădăcină
cd stiinta    schimbă directorul curent în /stiinta (deplasare relativă)
cd matematica
```

este echivalent cu al comenzii:

```
cd /stiinta/matematica
```

Comanda `cd` fără nici un nume de director are ca efect mutarea în directorul *home*.

- `pwd` – afișează numele directorului curent (calea absolută)
- `mkdir nume_director` – crează un nou director. Dacă numele directorului nu este precedat de o cale, noul director este creat în cel curent.

Exemplu:

`mkdir modelare` – crează directorul `modelare` în directorul curent

`mkdir /modelare` – crează directorul `modelare` în directorul rădăcină (de obicei, această comandă va genera un mesaj de eroare, deoarece nu aveți drepturi de scriere în directorul rădăcină).

**EXERCITIUL 6:**

Mutați-vă în directorul Dvs. *home*:

```
cd < ↵ >
```

Listați conținutul acestui director.

Creați două noi directoare, *modelare* și *inform*, în care veți lucra de acum înainte la laboratoarele de "Modelarea dispozitivelor electromagnetice" și respectiv "Transmisiunea informației".

Listați noul conținut al directorului *home*.

În directorul *modelare*, creați un nou director, *tema1*.  
Ați reușit?

- `rmdir nume_director` – șterge directorul.

Dacă directorul conține alte fișiere sau directoare, el nu poate fi șters cu comanda anterioară.

**Atenție!** Comenzile `rm` și `rmdir` au efect definitiv! Un fișier sau director, odată șters, nu mai poate fi recuperat!

### 1.5.3 Schimbarea parolei

- `passwd` – permite schimbarea parolei.

Se solicită introducerea vechii parole și apoi a noii parole (de două ori, pentru verificarea introducerii corecte a noii parole).

Parola trebuie să fie suficient de lungă (numărul minim de caractere variind de la sistem la sistem), să conțină atât litere cât și caractere speciale (numere, semne de punctuație).

Recomandări: Schimbați parola periodic. Nu ignorați mesajul afișat la intrarea în sistem, care vă poate avertiza în legătură cu data de expirare a parolei. Nu comunicați nimănui parola și nu o notați.

### 1.5.4 Procese și utilizatori

- `who` – afișează lista utilizatorilor conectați în sistem

`w` – afișează lista utilizatorilor conectați în sistem și comanda pe care aceștia o execută;

`whoami` – "Cine sunt eu?" – afișează numele de cont al utilizatorului;

- `ps` – lista proceselor.

Sub Linux, mai multe comenzi sau programe pot fi rulate "în paralel" (de exemplu, dacă aveți două ferestre deschise puteți da comenzi care vor fi executate în mod independent). Fiecare comandă în curs de execuție se numește *proces* și este identificată printr-un număr, numit PID (Process Identifier).

Comanda `ps` fără nici un parametru afișează lista proceselor lansate de utilizatorul curent.

- `kill PID` – oprește definitiv execuția procesului cu numărul `PID`.

### EXERCITIUL 7:

Listați procesele în curs de execuție. Mutați-vă în directorul dvs. *home*. Într-o fereastră, dați comanda:

```
more /usr/local/man/whatis
```

În altă fereastră, dați comanda `ps`

Comentați diferențele față de rezultatul precedentei comenzi `ps`.

Lucrând în a doua fereastră, opriți execuția procesului care corespunde comenzii

```
more usr/local/man/whatis.
```

### 1.5.5 Ajutor!

Comanda care permite aflarea sintaxei unei comenzi, precum și multe alte informații despre comandă, este:

- `man nume_comandă`

După lansarea ei, sunt active comenzile de deplasare descrise la `more`.

- `man -k cuvânt_cheie` sau

`apropos cuvânt_cheie` – caută cuvinte cheie în lista de comenzi Linux.

### 1.5.6 Diverse utilitare

- `date` – afișează data și ora;
- `sort nume_fișier` – sortează în ordine alfabetică liniile din fișier și afișează rezultatul pe ecran
- `clear` – șterge fereastra de lucru;
- `wc nume_fișier` – numără liniile, cuvintele și caracterele din fișier și afișează rezultatul pe ecran;
- `<Ctrl> C` sau `<Ctrl> D` – oprește execuția unei comenzi.

**EXERCITIUL 8:**

a) Folosind comanda `man` aflați care este efectul comenzii `cal`.

b) Copiați fișierul `.bashrc` din directorul *home* în directorul `~/modelare/tema1/`.

Comparați efectul comenzilor `sort .bashrc` și respectiv

```
sort .bashrc > sortat
```

(Indicație: încercați `ls` și `more ...`).

Explicați care este efectul adăugării caracterului `>` urmat de un nume, la sfârșitul unei comenzi.

## 1.6 Editorul de texte joe

`joe` este un editor care emulează editorul MS-DOS *WordStar*, extrem de popular acum un deceniu.

Majoritatea comenzilor `joe` folosesc tasta `Ctrl`, care va fi marcată de acum înainte ca `↑`. (Simbolul folosit în fișierele de Help ale editorului este `^`.)

De exemplu, pentru a introduce comanda notată `↑A` (se citește “control a”), se ține apăsată tasta `Ctrl` și apoi se apasă tasta `A`. Anumite comenzi necesită apăsarea simultană a tastelor `Ctrl` și `Shift` pe lângă caracterul comenzii, ca de exemplu în comanda `↑Shift 6`.

În alte comenzi, simbolul tastei `Ctrl` este urmat de două litere, ca în `↑KA`. Această comandă se poate introduce fie ca `↑K`, urmat de litera `A`, fie ca `↑K` urmat de `↑A`.

(Atenție, în comenzile descrise mai sus “A” semnifică *tasta A*, și nu litera mare `A`, care ar necesita apăsarea suplimentară a tastei `Shift`.)

Principalele comenzi ale editorului `joe`, grupate după funcționalitatea lor, sunt prezentate mai jos.

- **Lansarea editorului**

```
joe nume_fișier < ↵ >
```

- **Introducerea textului**

Textul se introduce acum ca în orice editor. Nu este nevoie să se introducă `<↵>` la sfârșit de linie deoarece la depășirea unui anumit număr de caractere pe o linie editorul face automat trecerea la linie nouă;

- **Deplasarea cursorului**

Se poate face cu ajutorul săgeților `↑`, `↓`, `←`, `→` sau folosind comenzile:

- ↑A sau tasta Home<sup>1</sup> – deplasare la începutul liniei
- ↑E – deplasare la sfârșitul liniei
- ↑V sau tasta Next Screen<sup>1</sup> – deplasare cu un ecran spre sfârșitul fișierului  
sau tasta Page Down<sup>1</sup>
- ↑U sau tasta Prev Screen<sup>1</sup> – deplasare cu un ecran spre începutul fișierului  
sau tasta Page Up<sup>1</sup>

### • Help

Comanda de help este ↑KH.

Ea afișează un meniu de help în partea de sus a ecranului. Se poate trece la “pagina” următoare de help cu ↑[. (sau Escape<sup>1</sup>.), și la pagina anterioară cu ↑[, (sau Escape<sup>1</sup>,).

Fereastra de help poate fi păstrată pe ecran, pentru referință, pe tot parcursul lucrului în joe.

### • Salvare și ieșire din editor

- ↑KS sau ↑KD – salvare și continuarea lucrului
- ↑KX – salvare și ieșire din joe
- ↑C – ieșire fără salvare.

### • Editarea și formatarea textului

- ↑Shift - (*minus*) – undo
- ↑Shift 6 – redo
- Tasta Backspace sau Del<sup>1</sup> – șterge caracterul dinaintea cursorului
- ↑D – șterge caracterul de la cursor
- ↑KA – centrare linie

### • Modificarea setărilor implicite

Se introduce comanda ↑T, urmat de o literă sau de deplasarea cursorului folosind săgeata dreapta →.

Se pot modifica, printre altele:

- Indentarea automată (Autoindent, implicit: OFF)
- Trecerea automată pe linie nouă (Wordwrap, implicit: ON)
- Crearea automată, la fiecare salvare, a unui fișier backup
- Inserare caractere / scriere peste vechile caractere (Overtyping, implicit: OFF),
- . . ., etc.

### • Lucrul cu fișiere

- ↑KR – Inserarea unui alt fișier în cel aflat în curs de editare
- ↑KE – Schimbarea fișierului care se editează

---

<sup>1</sup>Poate lipsi de pe unele tastaturi.

- **Căutări și înlocuiri**

- ↑ KF *text* < ↵ > – căutare, cu opțiunile:
  - b – căutare înapoi
  - r – căutare și înlocuire
- ↑ L – repetarea ultimei căutări

- **Lucrul cu blocuri de text**

- ↑ KB – marcarea începutului unui bloc
- ↑ KK – marcarea sfârșitului unui bloc
- ↑ KM – mutarea blocului marcat la poziția cursorului
- ↑ KC – copierea blocului marcat la poziția cursorului
- ↑ KY – ștergerea blocului marcat
- ↑ KB ↑ KK – “ascunderea” blocului marcat
- ↑ TX ↑ KB (*deplasare cursor*) ↑ KK – marcarea unei coloane

### **EXERCITIUL 9:**

În directorul `~/modelare/tema1` creați un fișier numit `tema`, folosind editorul `joe`.  
 Fișierul va conține răspunsurile (pe scurt!) la exercițiile 1–8. (Unele exerciții nu solicită răspunsuri la întrebări, nici comentarii. Notați totuși că ați parcurs exercițiul, de exemplu *Exercițiul x: OK*.)

## 1.7 Programul de poștă electronică elm

### 1.7.1 Apelare

elm

După intrarea în elm puteți:

- să citiți mesajele primite;
- să trimiteți mesaje;
- să mențineți o listă de “alias”-uri personale;
- să ștergeți sau să mutați în alte căsuțe poștale mesajele primite;
- să modificați opțiunile programului elm;
- să ieșiți din elm.

### 1.7.2 Ajutor!

Pentru “help” se dă comanda: ? urmat de:

- nume\_comandă – afișează informații despre această comandă
- ? – afișează lista tuturor comenzilor disponibile

### 1.7.3 Citirea mesajelor primite

< ↵ >	- citirea mesajului curent fără a afișa antetul (header-ul) mesajului
h	- citirea mesajului curent, cu afișarea antetului (header)
n	- setarea mesajului numărul n ca mesaj curent
+	- avans un ecran
-	- înapoi un ecran
K	- plasarea cursorului pe mesajul anterior
J	- plasarea cursorului pe mesajul următor
k sau ↑	- plasarea cursorului pe precedentul mesaj neșters
j sau ↓	- plasarea cursorului pe următorul mesaj neșters

În cursul citirii unui mesaj:

<spațiu>	- avansează un ecran
↑	- mesaj precedent
↓	- mesaj următor

### 1.7.4 Trimitere de mesaje

Se dă una din comenzile:

m	- trimitere mesaj
r	- răspuns expeditorului mesajului curent
g	- răspuns expeditorului și tuturor recipienților mesajului curent
f	- “forward” mesaj curent (retransmitere)
b	- “bounce” mesaj curent (retransmitere)

Programul solicită:

- adresantul mesajului – listă de adrese Internet completă sau aliasuri (la m, f sau b);
- subiect;
- copii către: (cc –carbon copy) - listă de adrese internet sau aliasuri, separate prin spații.

Se intră apoi într-un editor de text, în mod implicit vi. După comanda de scriere și salvare a mesajului, utilizatorul poate:

s	- să trimită mesajul
e	- să editeze header-ul mesajului
f	- să renunțe la trimiterea mesajului

Pentru crearea unor headere personalizate, se foloseşte fişierul

```
$HOME/.elm/elmheaders
```

Printre altele, în el se poate introduce linia:

```
Return-Receipt-To: user@lmm.pub.ro
```

utilă pentru a avea confirmarea de primire a mesajelor trimise.

### 1.7.5 Aliasuri personale

Se dă comanda:

```
a
```

În modul “alias” sunt disponibile comenzile:

- n - creare alias nou
- a - creare alias din adresa expeditorului mesajului curent

Se solicită:

- alias (nume scurt)
- nume de familie (last name)
- prenume (first name)
- comentariu opţional
- adresă de e-mail (sau listă de adrese, pentru a crea un grup)
- <↵ >

- ? - help pentru comenzile disponibile în “alias”
- d - ştergerea unui alias
- c - modificare alias curent
- <↵ > - verificarea adresei de e-mail pentru alias-ul curent

### 1.7.6 Ştergerea / mutarea mesajelor în altă căsuţă poştală

- d - şterge mesaj curent
- s - salvează mesaj curent în altă căsuţă poştală şi îl marchează ca “şters” (Deleted)
- C - salvează mesaj curent în altă casuţă poştală fără să îl marcheze ca “Deleted”
- c - schimbarea căsuţei poştale; se pot folosi următoarele prescurtări pentru calea de acces la un fişier:
  - fişier fis în directorul \$HOME: ~/fis
  - fişier fis în directorul Mail: =/fis



- fișierul de mesaje primite: <
- fișierul de mesaje trimise: >
- casuță postală “principală”: !

Sunt utile comenzile:

- `t` - marcarea mesaj curent pentru operații ulterioare (salvare, ștergere, etc.)
- `↑ t` - marcarea tuturor mesajelor care îndeplinesc o condiție, în vederea unor operații ulterioare

### 1.7.7 Modificarea opțiunilor

- în mod comandă: `o`
  - Schimbarea nivelului de utilizator: `u - 0 - începător; 1 - familiar; 2 - expert`
  - Afișare mail: `d - builtin; (usr/bin/more)`
  - Editor: `e - /usr/bin/vi`
  - Folder (unde se țin căsuțele poștale ale utilizatorului):
    - `f - $HOME/Mail`
  - Criteriul de sortare a mesajelor:
    - `s - received (în ordinea primirii, cel mai recent primul)`
    - `R - reverse received (în ordinea primirii, cel mai recent ultimul)`
  - Casuța unde se pun mesajele trimise:
    - `o - $HOME/mbox`
    - `($HOME/outbox) – trebuie definit copy = ON în fișierul elmrc`
  - Programul de printare:
    - `p`
  - Numele utilizatorului:
    - `y`
  - Forma cursorului:
    - `a - OFF (bară video-invers); ON (săgeată)`
  - Afișare numai numele persoanei în alias (Names Only):
    - `n - OFF (afișează și adresa de Internet); ON (afișează numai numele)`
- în fișierul `~/elmrc`:
  - Fișierul conține variabile grupate pe următoarele categorii:
    - formatarea afișărilor
    - dispozitive (“devices”) utilizate
    - directoare și fișiere de mesaje

- opțiuni/răspunsuri implicite

Toate opțiunile sunt date prin setarea unor variabile. Instrucțiunile sunt de forma: <variabilă> = <valoare>

Exemplu:

```
askcc = ON
editor = /usr/bin/vi
names = ON
```

#### **EXERCITIUL 10:**

- Modificați opțiunea “Editor” implicită a programului elm, astfel încât editorul folosit să fie /usr/bin/joe
- Trimiteți fișierul creat la Exercițiul 9, prin poștă electronică, la adresele: `irina@lmn.pub.ro` și `gabriela@lmn.pub.ro`.

### 1.7.8 Ieșirea din elm

x - ieșire fără modificarea căsuței poștale

q - ieșire cu modificarea căsuței poștale

## În concluzia acestei teme ...

Ați parcurs prima temă, v-ați familiarizat atât cu editorul de texte joe cât și cu utilizarea poștei electronice.

Dacă sunteți studentul Facultății de Electrotehnică și utilizați această carte în cadrul laboratorului de Modelare numerică a câmpului electromagnetic: începând cu tema 2 răspunsurile la întrebări vor fi scrise **în fișiere** și trimise cadrului didactic:

`irina@lmn.pub.ro` (Irina Munteanu)

sau

`gabriela@lmn.pub.ro` (Gabriela Ciuprina)



# Capitolul 2

## Inițiere în Scilab

**Scilab** (*Ψlab*) este un mediu de programare sub sistemul de operare Unix care permite rezolvarea unor probleme tipice de matematică prin efectuarea de calcule matematice, trasarea de grafice, programare în limbaj specific. El emulează limbajul **MATLAB**, având extensii suplimentare.

În cadrul laboratorului de Modelare numerică a câmpului electromagnetic el este folosit în rezolvarea numerică a unor probleme de câmp electromagnetic prin metoda elementelor de volum (tema 4), metoda diferențelor finite (tema 5), metoda elementelor finite (tema 6), metoda elementelor de frontieră (tema 7).

Tema 2 are ca scop familiarizarea cu *Scilab* în vederea rezolvării temelor ulterioare.

### 2.1 Înainte de toate....

Una din componentele mediului *Scilab* este interpretorul care permite introducerea în mod interactiv a unor comenzi de la consolă și executarea imediată a acestora.

- *Cum se lansează în execuție interpretorul?* Lansarea interpretorului se face prin invocarea numelui său:

```
scilab < ↵ >
```

- *Cum se oprește interpretorul?* La promptul *Scilab* --> se dă comanda:

```
quit < ↵ >
```

- *Există programe demonstrative?* Apăsați butonul “Demos” și apoi (de exemplu) “Introduction to SCILAB”. Sunt vizualizate instrucțiunile utilizate precum și rezultatele lor.

- *Ajutor !!*. Lista comenzilor și semnificația lor se poate obține apăsând butonul “Help”. Fereastra de help este împărțită în două. În partea de jos sunt principalele capitole. În cadrul acestui laborator veți avea nevoie de: “Scilab Programming”, “Graphic Library”, “Utilities and Elementary Functions” și “Linear Algebra”. Partea de sus conține comenzi

legate de subiectul capitolului selectat. Selectarea unei astfel de comenzi are ca rezultat apariția unei ferestre care descrie sintaxa comenzii, parametrii ei, modul de apelare.

Există și help-on-line. La promptul *Scilab*-ului apăsați:

```
help < ↵ >
```

- *Nu știi comanda care face ....?* O comandă utilă este comanda `apropos`, care caută cuvinte cheie în help-ul *Scilab*-ului.

### EXERCITIUL 1:

- a) Folosind comanda `help` aflați care este sintaxa comenzii `apropos`.
- b) Folosind comanda `apropos` aflați care sunt comenzile cu care se pot trasa spectre de linii de câmp.

## 2.2 Variabile și constante.

În rezolvarea temelor veți folosi în exclusivitate matrice cu elemente reale. Un număr poate fi considerat o matrice cu un singur element.

- *Dimensiunea unei matrice* nu trebuie declarată explicit.

### EXERCITIUL 2:

Care este efectul comenzii:

```
--> a(10,5) = 1
```

- *Introducerea unei matrice* se poate face natural astfel:

```
--> A = [ 1 2 3
          4 5 6
          7 8 9 ]
```

Într-o scriere compactă, liniile matricei pot fi separate prin “;” astfel:

```
--> A = [1 2 3; 4 5 6; 7 8 9]
```

Pentru separarea elementelor unei linii se poate folosi caracterul blank (ca mai sus) sau virgula:

```
--> A = [1,2,3;4,5,6;7,8,9]
```

### EXERCITIUL 3:

Știind că vectorii sunt un caz particular de matrice, care sunt comenzile cu care se va introduce un vector linie, respectiv coloană cu elementele 1, 2, 3?

**EXERCITIUL 4:**

Comentați următoarea instrucțiune:

`u = 12.4e-3`

Observație: variabilele utilizate într-o sesiune de lucru ocupă memoria sistemului pe măsură ce sunt definite. Pentru a vizualiza lista variabilelor existente la un moment dat și memoria disponibilă se folosește comanda `who`. Dacă se dorește eliberarea memoriei de una, mai multe sau toate variabilele generate se folosește comanda `clear`.

**EXERCITIUL 5:**Executați instrucțiunea `who`. Ce reprezintă`%e %pi %f %t %eps %inf ?`

## 2.3 Atribuirii și expresii

Instrucțiunea de atribuire are sintaxa:

```
variabila = expresie
```

sau simplu:

```
expresie
```

în care `variabila` este numele unei variabile, iar `expresie` este un șir de operatori și operanzi care respectă anumite reguli sintactice. În a doua formă, după evaluarea expresiei, rezultatul este atribuit variabilei predefinite `ans`.

• *Operatorii aritmetici*<sup>1</sup> recunoscuți de **Scilab** sunt:

- + adunare;
- scădere;
- \* înmulțire;
- / împărțire la dreapta;
- \ împărțire la stânga;
- ^ ridicare la putere.

Pentru transpunerea unei matrice se folosește operatorul “apostrof” ca în exemplul:

```
--> B = A'
```

în care matricea `B` se calculează ca transpusa matricei `A`.

<sup>1</sup>Operatorii aritmetici se aplică unor operanzi aritmetici, iar rezultatul este aritmetic.

Observații:

1. Adunarea și scăderea pot fi efectuate:

- între două matrice cu aceleași dimensiuni;
- între o matrice și un număr (caz în care numărul este adunat, respectiv scăzut din fiecare din elementele matricei).

2. Înmulțirea poate fi efectuată:

- între două matrice dacă lungimea liniei primei matrice este egală cu lungimea coloanei celei de a doua matrice;
- între un număr și o matrice (caz în care numărul este înmulțit cu fiecare din elementele matricei);
- între două matrice cu aceleași dimensiuni (element cu element), caz în care operatorul  $*$  este precedat de un punct, ca în exemplul:

$$\rightarrow C = A .* B$$

3. Împărțirea matricelor poate fi făcută în mai multe feluri:

- la dreapta (pentru matrice pătrate și nesingulare):

$$\rightarrow X = B / A$$

echivalent cu:

$$\rightarrow X = B * \text{inv}(A)$$

sau cu:

$$\rightarrow X = B * A^{-1}$$

- la stânga:

$$\rightarrow X = A \setminus B$$

echivalent cu:

$$\rightarrow X = \text{inv}(A) * B$$

sau cu:

$$\rightarrow X = A^{-1} * B$$

Dacă  $A$  este o matrice dreptunghiulară de dimensiuni  $m \times n$ , iar  $b$  este un vector coloană cu  $m$  elemente, atunci împărțirea la stânga  $x = A \setminus b$  calculează soluția ecuației  $Ax = b$  în sensul celor mai mici pătrate.

- împărțirea unei matrice la un număr (să îl notăm cu  $u$ ):

$$\rightarrow Y = A / u$$

- împărțirea element cu element a matricelor de dimensiuni egale:

$$\rightarrow C = A \cdot / B$$

sau

$$\rightarrow C = A \cdot \backslash B$$

4. Ridicarea la putere  $A^p$  se face astfel <sup>2</sup>:

- pentru  $p$  întreg pozitiv: dacă matricea  $A$  este pătrată atunci  $A$  se înmulțește cu ea însăși de  $p$  ori; dacă matricea  $A$  este dreptunghiulară atunci se ridică la puterea  $p$  fiecare element din matricea  $A$
  - pentru  $p$  întreg negativ: dacă matricea  $A$  este pătrată atunci inversa ei se înmulțește cu ea însăși de  $-p$  ori; dacă matricea  $A$  este dreptunghiulară atunci se ridică la puterea  $p$  fiecare element din matricea  $A$
  - pentru  $p$  număr real (dar nu întreg) pozitiv: dacă matricea  $A$  este pătrată atunci calculul se face cu ajutorul vectorilor și valorilor proprii ale matricei; dacă matricea  $A$  este dreptunghiulară, atunci se ridică la puterea  $p$  fiecare element din matricea  $A$ .
  - pentru  $p$  număr real (dar nu întreg) negativ: dacă matricea  $A$  este pătrată atunci calculul se face cu ajutorul vectorilor și valorilor proprii ale inversei matricei; dacă matricea  $A$  este dreptunghiulară, atunci se ridică la puterea  $p$  fiecare element din matricea  $A$ .
- *Operatorii de relație*<sup>3</sup> recunoscuți de **Scilab** sunt:
    - < mai mic decât;
    - <= mai mic sau egal cu;
    - > mai mare decât;
    - >= mai mare sau egal cu;
    - = egal cu;
    - ~ diferit de.

Aceștia permit testarea unor condiții, rezultatul având valoarea F (fals) sau T (adevărat). Dacă operandii sunt matrice de dimensiuni egale, atunci operațiile logice se fac între elementele de pe aceleași poziții, iar rezultatul este o matrice cu elementele F și T.

- *Operatorii logici*<sup>4</sup> recunoscuți de **Scilab** sunt:
  - & conjuncția logică;
  - | disjuncția logică;
  - ~ negația logică.

Dacă operandii sunt matrice (logice) cu aceleași dimensiuni, atunci operația se face element cu element. Dacă unul din operandi este o valoare logică, atunci acesta se combină cu fiecare din elementele celuilalt operand. Alte situații nu sunt permise.

<sup>2</sup>Nu sunt descrise toate situațiile posibile.

<sup>3</sup>Operatorii de relație se aplică unor operandi aritmetici iar rezultatul este logic.

<sup>4</sup>Operatorii logici se aplică unor operandi logici iar rezultatul este logic.



- *Funcții elementare.* Operanzii unor expresii pot fi și apeluri de funcții elementare (de exemplu trigonometrice), sau alte funcții cunoscute. Aceste funcții aplicate unei matrice acționează asupra fiecărui element în mod independent. Lista lor poate fi inspectată apăsând butonul “Help” și apoi “Utilities and Elementary Functions”.

**EXERCITIUL 6:**

Fie  $A = \begin{bmatrix} 1 & 2 \\ 3 & 4 \end{bmatrix}$ ,  $b = \begin{bmatrix} 5 \\ 6 \end{bmatrix}$  și  $v = \begin{bmatrix} 4 & 3 \end{bmatrix}$ . Care sunt comenzile **Scilab** pentru rezolvarea ecuației:  
 $A(v^T + x) = b$

## 2.4 Generarea vectorilor și matricelor

- *Vectorii ai căror elemente formează o progresie aritmetică* pot fi generați cu construcția:

valin : pas : valfin

**EXERCITIUL 7:**

Comentați rezultatele următoarelor instrucțiuni:

```
--> x = 1:10
--> y = 1:2:10
--> z = 1:3:10
--> t = 1:-3:10
--> w = -1:-3:-10
--> u = -1:-10
--> v = -10:-1
--> a = 10:-2:-3
```

- *Vectorii ai căror elemente formează o progresie geometrică* pot fi generați cu construcția:

logspace(d1, d2, n)

**EXERCITIUL 8:**

- Care este semnificația mărimilor  $d1$ ,  $d2$ ,  $n$  din comanda `logspace` ?
- Ce generează comanda `linspace` ?

- *Descrierea vectorilor și matricelor pe blocuri.* Vectorii și matricele pot fi descriși pe blocuri, folosind notații de forma:

$A = [X \ Y; \ U \ V];$

cu semnificația  $A = \begin{bmatrix} X & Y \\ U & V \end{bmatrix}$ , în care  $X, Y, U, V$  sunt matrice sau vectori.

**EXERCITIUL 9:**

Care este rezultatul comenzii:

```
--> A = [1:3 ; 1:2:7]
```

- *Referirea la elementele unei matrice.* Pentru a obține valoarea unui element, se folosesc construcții de forma  $a(1,1)$ ,  $a(1,2)$ . Se pot obține valorile mai multor elemente prin construcții de forma  $a(u,v)$  unde  $u$  și  $v$  sunt vectori. De exemplu  $a(2,1:3)$  reprezintă primele trei elemente din linia a doua a matricei  $a$ . Pentru a obține toate elementele liniei 2 se scrie  $a(2, :)$ .

**EXERCITIUL 10:**

Fie  $A = \begin{bmatrix} 1 & 10 & 100 & 1000 \\ 2 & 20 & 200 & 2000 \\ 3 & 30 & 300 & 3000 \end{bmatrix}$ .

Notați rezultatele și comentați următoarele comenzi:

```
--> A(0,1)
--> A(2,3)
--> A(:,3)
--> A(:, :)
--> A(3, :)
--> A(2,2:4)
--> A(2:3,2:4)
```

- *Generarea unor matrice particulare utile* se poate face cu ajutorul funcțiilor:
  - `eye` matrice cu elementele unitare pe diagonală și nule în rest;
  - `zeros` matrice nulă;
  - `ones` matrice cu toate elementele unitare;
  - `rand` matrice cu elemente aleatoare în intervalul (0,1);
  - `diag` construiește o matrice cu o anumită diagonală, sau extrage diagonală dintr-o matrice.

**EXERCITIUL 11:**

Comentați următoarele comenzi (unde  $A$  este matricea de la exercițiul 10 iar  $v = [1 \ 2 \ 3 \ 4 \ 5]$ ):

```
--> eye(3)
--> eye(3,3)
--> eye(3,4)
--> eye(A)
--> diag(A)
--> diag(v)
```

**EXERCITIUL 12:**

Comentați următoarele comenzi:

```
--> A = diag(1:3)
--> B = [A, eye(A); ones(A) zeros(A)]
--> C = diag(B)
--> D = C'*C
--> E = (D == 14)
```

- *Dimensiunile matricelor (vectorilor)* pot fi modificate în timpul execuției unui program. Pentru a obține dimensiunea unei matrice  $X$  se folosește instrucțiunea:

```
[m, n] = size(X)
```

în care  $m$  reprezintă numărul de linii și  $n$  numărul de coloane. Dimensiunea unui vector  $v$  se obține cu:

```
length(v)
```

care are semnificația `max(size(v))`.

### EXERCITIUL 13:

Definiți o matrice oarecare  $B$  (de exemplu cu 3 linii și 4 coloane). Executați și comentați următoarele instrucțiuni:

```
--> [m,n] = size(B)
--> B = [B; zeros(1, n)]
--> B = [B zeros(m+1,1)]
```

• *Matricea vidă.* **Scilab** operează și cu conceptul de matrice vidă, notată cu `[]` și care este o matrice de dimensiune nulă, fără elemente. Aceasta se dovedește utilă în eliminarea unor linii sau coloane dintr-o matrice dată. De exemplu, instrucțiunea

```
--> B(:, [2 4]) = []
```

are ca efect eliminarea coloanelor 2 și 4 din matricea  $B$ . În acest fel, dimensiunea unei matrice poate să și scadă în timpul execuției unui program, nu numai să crească prin adăugarea de noi elemente.

## 2.5 Instrucțiuni grafice

Funcția principală pentru reprezentări grafice este:

```
plot
```

Ea are diferite variante<sup>5</sup>, printre care:

```
plot(x,y)
```

în care  $x$  este vectorul variabilei independente, iar  $y$  este vectorul variabilei dependente. Instrucțiunea:

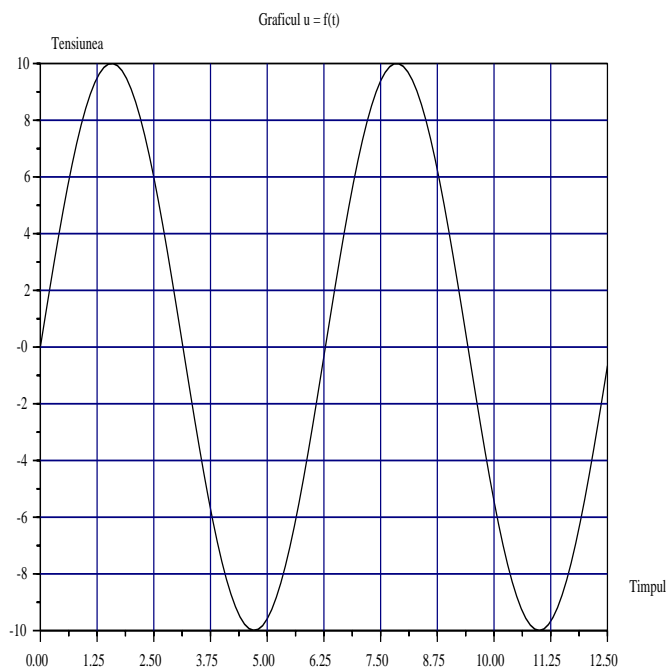
```
plot(A)
```

---

<sup>5</sup>Încercați **apropos plot**

în care  $A$  este o matrice are ca efect reprezentarea grafică a variației elementelor coloanelor matricei  $A$  în funcție de indexul lor. Numărul de grafice este egal cu numărul de coloane.

Funcțiile auxiliare `xtitle` și `xgrid` permit completarea graficului cu un titlu și respectiv adăugarea unui rastru.



**Fig. 2.1.** Acest grafic trebuie obținut la exercițiul 14

**EXERCITIUL 14:**

Realizați graficul din figura 2.1. El reprezintă funcția  $y(t) = 10 * \sin(t)$  pentru  $t \in [0, 4\pi]$ . Puneți titlul graficului, axelor, și rastrul ca în figură.

## 2.6 Programare în *Scilab*

*Scilab* permite utilizarea unor structuri de control (decizii, cicluri, definiri de funcții) ca orice limbaj de programare de nivel înalt. Se pot scrie programe în *Scilab*, ca în orice limbaj de programare.

Avantajul folosirii *Scilab* constă, mai ales, în ușurința cu care se pot postprocesa rezultatele, ținând seama de facilitățile grafice ale sale.

## 2.6.1 Editarea programelor

Până acum, ați lucrat la consola *Scilab*. Comenzile introduse pot fi scrise într-un fișier și apoi “citite” cu comanda

```
exec
```

Un program în *Scilab* are următoarea structură posibilă:

```
// comentarii
//.....
instrucțiune; // fără afișarea rezultatului
instrucțiune // cu afișarea rezultatului
```

### **EXERCITIUL 15:**

Scrieți comenzile cu care ați rezolvat exercițiul 14, într-un fișier numit `tema2.sci`, din directorul `~/modelare/tema2` și apoi executați-l cu comanda:

```
--> exec('tema2.sci')
```

Observați ce se întâmplă dacă la sfârșitul fiecărei instrucțiuni adăugați terminatorul “;”.

**IMPORTANT:** Comenzile necesare rezolvării temelor ce vor urma vor fi scrise în fișiere și executate apoi cu comanda `exec`.

## 2.6.2 Operații de intrare/ieșire

### • *Introducerea datelor*

Cea mai simplă metodă constă în utilizarea instrucțiunii de atribuire, ca în exemplul:

```
a = 5
```

În cazul unui program scris într-un fișier, este mai convenabil să se folosească funcția `input`. Funcția `input` se utilizează în atribuiri de forma:

```
variabila = input('text')
```

în care “variabila” este numele variabilei a cărei valoare va fi citită de la consolă, iar “text” este un șir de caractere ce va fi afișat, ajutând utilizatorul la identificarea informației ce trebuie introdusă. De exemplu:

```
a = input('Introduceți valoarea variabilei a')
```

### • *Inspectarea și afișarea rezultatelor*

Pentru inspectarea valorilor variabilelor este suficient să fie invocat numele lor:

```
--> x
```

pentru ca interpretorul să afișeze valoarea lor.

Dacă se dorește eliminarea afișării numelui variabilelor din fața valorii sale, atunci se folosește funcția `disp`:

```
--> disp(x)
```

Această funcție poate fi folosită și pentru afișarea textelor, de exemplu:

```
disp('Acest program calculeaza ceva ')
```

Formatul în care sunt afișate valorile numerice poate fi modificat de utilizator cu ajutorul instrucțiunii:

```
format
```

Operația de ieșire se poate realiza și prin apelul funcției `printf` în instrucțiuni de forma:

```
printf('format',variabile)
```

În care “variabile” sunt variabilele care vor fi scrise în formatul corespunzător instrucțiunii, iar “format” este un șir de caractere ce descrie formatul de afișare. Sunt recunoscute următoarele construcții, similare celor din limbajul C:

- `%f` scrierea numărului în format cu virgulă fixă;
- `%e` scrierea numărului în format cu exponent;
- `%g` scrierea numărului în formatul cel mai potrivit (`%f` sau `%e`).

Celelalte caractere întâlnite în șirul “format” sunt afișate ca atare, de exemplu:

```
printf(' Rezultatul este a = %g', a)
```

Afișarea rezultatelor se poate face și grafic (vezi paragraful 5).

### **EXERCITIUL 16:**

Scrieți, într-un fișier, un program prietenos care va permite introducerea de la consola *Scilab* a două numere reale, va calcula suma lor, și va afișa rezultatul în formatul cel mai potrivit

### 2.6.3 Structuri de control

- *Decizii*

Decizia simplă:

Pseudolimbaj	<i>Scilab</i>	Observații
<b>dacă</b> condiție <b>atunci</b> instrucțiuni	if condiție then instrucțiuni end	“condiție” este o expresie care este evaluată, iar dacă rezultatul este adevărat (T), atunci se execută “instrucțiuni”, altfel se execută prima instrucțiune ce urmează după <b>end</b> .

Decizia cu alternativă:

Pseudolimbaj	<i>Scilab</i>	Observații
<b>dacă</b> condiție <b>atunci</b> instrucțiuni1 <b>altfel</b> instrucțiuni2	if condiție then instrucțiuni1 else instrucțiuni2 end	“condiție” este o expresie care este evaluată, iar dacă rezultatul este adevărat (T), atunci se execută “instrucțiuni1”, iar dacă rezultatul este fals (F), se execută “instrucțiuni2”.

Decizia de tip selecție:

Pseudolimbaj	<i>Scilab</i>	Observații
<b>dacă</b> condiție1 <b>atunci</b> instrucțiuni1 <b>altfel dacă</b> condiție2 instrucțiuni2 <b>altfel</b> instrucțiuni3	if condiție1 then instrucțiuni1 elseif condiție2 instrucțiuni2 else instrucțiuni3 end	Pot exista oricâte alternative de selecție.
<b>dacă</b> expresie = expresie1 instrucțiuni1 <b>altfel dacă</b> expresie = expresie2 instrucțiuni2 <b>altfel</b> instrucțiuni	select expresie, case expresie1 then instrucțiuni1, case expresie2 then instrucțiuni2, else instrucțiuni, end	Pot exista oricâte cazuri. “instrucțiuni1” sunt executate dacă expresie==expresie1, etc.

Observație: “instrucțiuni” pot fi scrise după **then**, pe aceeași linie. Cuvântul cheie **then** poate lipsi dacă “instrucțiuni” se scriu pe linie separată<sup>6</sup>.

<sup>6</sup>Aceasta este sintaxa *MATLAB*.

- *Cicluri*

Ciclul cu test inițial:

Pseudolimbaj	<i>Scilab</i>	Observații
<b>cât timp</b> condiție instrucțiuni	<b>while</b> condiție instrucțiuni <b>end</b>	Se repetă corpul ciclului, adică “instrucțiuni”, cât timp “condiție” este adevărată. S-ar putea ca “instrucțiuni” să nu fie executate niciodată în timpul rulării programului.

Ciclul cu contor:

Ciclul cu contor are două forme, din care a doua este cea generală. Dacă “expresie” este o matrice, atunci “variabila” ia succesiv valorile coloanelor matricei. “instrucțiuni” nu sunt executate niciodată dacă vectorul “valin:pas:valfin” este incorect definit (vid) sau dacă “expresie” este matricea vidă.

Pseudolimbaj	<i>Scilab</i>	Observații
<b>pentru</b> contor = valin, valfin, pas instrucțiuni	<b>for</b> contor = valin : pas : valfin, instrucțiuni <b>end</b>	Forma a doua este cea generală.
	<b>for</b> variabila = expresie, instrucțiuni <b>end</b>	

*Ieșirile forțate* din cicluri se pot face cu instrucțiunea **break**.

### EXERCITIUL 17:

Scrieți un program care să determine cel mai mare număr întreg  $n$  pentru care  $10^n$  poate fi reprezentat în *Scilab*. Indicație: folosiți pentru testare constanta %inf.

## 2.6.4 Funcții

Funcțiile sunt proceduri *Scilab* (termenii “macro”, “funcție” sau “procedură” au aceeași semnificație).

### Definirea funcțiilor în fișiere

De obicei funcțiile sunt definite în fișiere și “încărcate” în *Scilab* cu comanda **getf**. Un fișier conținând o astfel de funcție trebuie să înceapă astfel:

```
function[  $y_1, \dots, y_n$  ] = nume_funcție (  $x_1, \dots, x_m$  )
```

unde  $y_i$  sunt variabilele de ieșire, calculate în funcție de variabilele de intrare  $x_j$  și, eventual, de alte variabile existente în *Scilab* în momentul execuției funcției.



**EXERCITIUL 18:**

Editați un fișier numit “numefis.sci” cu următorul conținut:

```
function [x,y] = combin(a,b)
    x = a + b
    y = a - b
```

și un fișier numit “main.sci” cu următorul conținut:

```
getf('numefis.sci')
a = input('Introduceți a');
b = input('Introduceți b');
[c,d] = combin(a,b)
printf(' Suma numerelor a = %g si b = %g este
      a + b = %g',a,b,c);
printf(' Diferenta numerelor a = %g si b = %g
      este a - b = %g',a,b,d);
```

Executați în *Scilab* comenzile din “main.sci”:

```
--> exec('main.sci');
```

Comentați.

**EXERCITIUL 19:**

Scrieți (într-un fișier) o funcție care să calculeze produsul scalar a doi vectori. Scrieți un program *Scilab* care să permită introducerea de la tastatură a doi vectori de dimensiune egală și care să afișeze produsul lor scalar.

**Definirea “on-line” a funcțiilor**

Funcțiile se pot defini și “on-line” cu comanda `deff`.

**EXERCITIUL 20:**

a) Cu ajutorul comenzii `help` aflați ce face comanda `fcontour`.

b) Executați și comentați următoarele comenzi *Scilab*:

```
--> deff(' [x] = cerc(u,v)', 'x = sqrt(u^2+v^2)')
--> fcontour(-1:0.1:1,-1:0.1:1,cerc,4)
```

c) Definiți “on-line” funcția “combin” din exercițiul 18.

## 2.7 Exercițiul final - câmpul unei sarcini punctiforme situate în vid

Acest exercițiu urmărește exersarea facilităților de postprocesare ale programului, necesare temelor viitoare.

Fie o sarcină punctiformă  $q = 10^{-10}$  C, situată în vid ( $\varepsilon_0 = 8.8 \cdot 10^{-12}$  F/m), în punctul de coordonate  $(x, y, z) = (0, 0, 0)$ .

Să se vizualizeze, în planul  $z = 0$ , linii echipotențiale și vectori câmp electric cu ajutorul comenzilor `contour` și `champ`. Pentru aceasta, se vor determina valorile potențialului și ale componentelor câmpului într-o mulțime discretă de puncte din spațiu, plasate în nodurile unei grile generate de un vector de abscise și un vector de ordinate.

Se recomandă parcurgerea următorilor pași:

### EXERCITIUL 21:

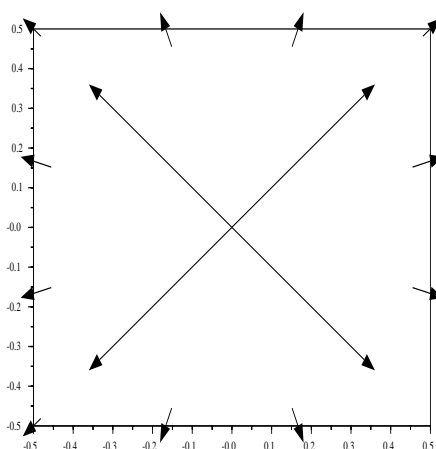
- Se va scrie o funcție care calculează, într-un punct oarecare, potențialul unei sarcini punctuale situată într-un punct oarecare din spațiu;
- Se va scrie o funcție care calculează, într-un punct oarecare, vectorul componentelor câmpului electric al unei sarcini punctuale, situată într-un punct oarecare din spațiu;
- Se va scrie un program principal, care să permită introducerea datelor problemei de la tastatură și care să afișeze linii echipotențiale și vectori câmp într-un anumit domeniu din planul  $z = 0$ .

Figurile 2.2, 2.3, 2.4 prezintă rezultatele unui astfel de program în cazul în care grila a fost extrem de rară, generată cu ajutorul vectorilor:

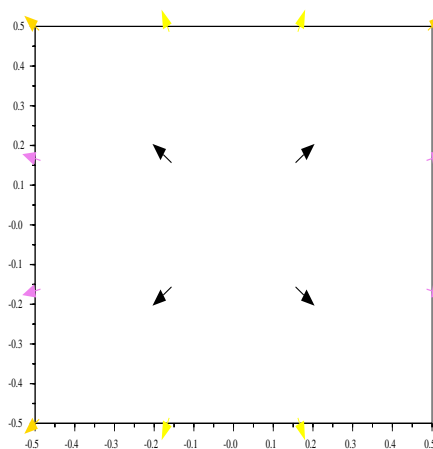
```
d = 0.5
xmin = -d; xmax = d
ymin = -d; ymax = d
pasx = 2*d/3
pasy = 2*d/3

abscise = xmin:pasx:xmax
ordonate = ymin:pasy:ymax
```

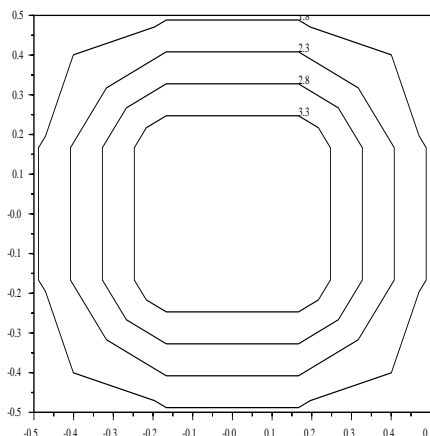
Observație: în cazul spectrelor desenate cu comanda `champ`, vectorii sunt desenați (translați) astfel încât mijlocul lor coincide cu punctul de calcul (de aceea, figura 2.2 apare oarecum ciudat).



**Fig. 2.2.** Efectul comenzii **champ**: vectorii au o lungime proporțională cu valoarea modului lor



**Fig. 2.3.** Efectul comenzii **champ1**: vectorii au lungimi egale și sunt colorați conform valorii modului lor



**Fig. 2.4.** Efectul comenzii **contour**; curbele au această formă datorită grilei extrem de rare folosite

### EXERCITIUL 22:

- Observați și comentați alura echipotențialelor pentru diferite grade de finețe ale grilei folosite.
- Cum tratați cazul în care unul din punctele grilei coincide cu punctul în care se află sarcina?
- Scrieți un program care să genereze o grilă adaptată problemei, astfel încât liniile echipotențiale să aibă racordări cât mai "dulci".

# Capitolul 3

## Concepte de bază.

Această temă urmărește evidențierea conceptelor fundamentale folosite de metoda diferențelor finite și de metoda reziduurilor ponderate.

Metoda diferențelor finite constă în rezolvarea ecuației diferențiale a problemei în punctele unei rețele de discretizare, folosind aproximarea derivatelor prin diferențe finite.

Metoda reziduurilor ponderate – în particular, implementarea ei cu elemente finite – constă în rezolvarea unei formulări integrale (slabe) a ecuației problemei, folosind aproximarea polinomială pe porțiuni a soluției.

Ambele metode pot fi studiate în termenii teoriei clasice a aproximărilor polinomiale.

### 3.1 Aproximări polinomiale

#### 3.1.1 Cazul unidimensional

• Interpolarea polinomială Lagrange este una din cele mai cunoscute aproximări pentru o funcție  $f : [a, b] \rightarrow \mathbb{R}$ , cunoscută într-un număr de puncte din  $\Omega = [a, b]$ . Reamintim următoarea teoremă:

**TEOREMA 1** Fie o diviziune a intervalului  $[a, b]$  în  $n$  intervale definite prin punctele:

$$a = x_0 < x_1 < \dots < x_n = b$$

și fie o mulțime de numere  $\{f(x_i)\}_{i=0}^n$ . Atunci există un polinom unic  $P_n(x)$  care poate fi exprimat în funcție de numerele  $\{f(x_i)\}_{i=0}^n$  și de polinoamele de bază:

$$l_i(x) = \prod_{\substack{j=0 \\ j \neq i}}^n \frac{x - x_j}{x_i - x_j} \quad (3.1)$$

și anume:

$$P_n(x) = \sum_{i=0}^n l_i(x) f(x_i) \quad (3.2)$$

astfel încât  $P_n(x_i) = f(x_i)$ . Mai mult, dacă funcția  $f$  este de clasă  $C^{n+1}[a, b]$ , atunci eroarea este:

$$E_n(x) = f(x) - P_n(x) = \frac{w_n(x)}{(n+1)!} \frac{d^{n+1}f}{dx^{n+1}}(\xi) \quad (3.3)$$

unde  $x_0 < \xi < x_n$ ,  $w_n(x) = (x - x_0)(x - x_1) \cdots (x - x_n)$ .

Observație: în cazul unei rețele echidistante, eroarea este  $E_n(x) = Kh^{n+1}$ , unde  $K$  este o constantă independentă de pasul  $h$ .

### EXERCITIUL 1:

- a) Ce grad are polinomul Lagrange  $l_i(x)$  dat de (3.1) ?  
 b) Ce valori ia un polinom Lagrange în nodurile grilei careia îi este asociat?

### EXERCITIUL 2:

În directorul `~/modelare/tema3`, editați un fișier numit "lagrange.sci" care să conțină definiția unei funcții de tipul:

```
function [l] = lagrange(x,var,i)
```

unde  $\mathbf{x}$  este un vector care reprezintă diviziunea intervalului  $[a, b]$ ,  $i$  reprezintă indicele nodului căruia îi este asociat polinomul Lagrange, iar  $\mathbf{var}$  reprezintă un vector de abscise, cu valori între  $a$  și  $b$ , în care va fi evaluat polinomul Lagrange asociat nodului  $i$ . Funcția întoarce un vector linie, cu valorile polinomului Lagrange  $l_i(x)$  evaluat în punctele vectorului linie  $\mathbf{var}$ .

Indicație: iată un pseudocod posibil pentru această funcție:

```
funcție [lgr] = lagrange(vector x,var, întreg i)
;calculează numărul de intervale ale diviziunii
n = .....
;calculează lungimea vectorului absciselor
m = .....
pentru k = 1, m
  lgr(1,k) = 1;
pentru j = 1, (n + 1)
  dacă j ≠ i atunci
    lgr(1,k) = lgr(1,k)*(var(k)-x(j))/(x(i)-x(j))
```

În directorul ~/modelare/tema3, editați un fișier numit “ex3.sci” cu următorul conținut:

```
clear;
getf('lagrange.sci');

x = [1 2 4] // diviziunea
pasx = 0.1
n = length(x) - 1;
abscise = x(1): pasx: x(n+1);

xsetech([0,0,0.5,0.5])
ordonate1 = lagrange(x,abscise,1);
plot2d(abscise',ordonate1');

xsetech([0,0.5,0.5,0.5])
ordonate2 = lagrange(x,abscise,2);
plot2d(abscise',ordonate2');

xsetech([0.5,0,0.5,0.5])
ordonate3 = lagrange(x,abscise,3);
plot2d(abscise',ordonate3');
```

### EXERCITIUL 3:

Executați acest program și comentați-l.

Adăugați la fișierul “ex3.sci” comenzile:

```
xset("window",1);
xsetech([0,0,1,1])
plot2d([abscise;abscise;abscise]',
        [ordonate1;ordonate2;ordonate3]');
```

### EXERCITIUL 4:

- Ce efect au aceste comenzi?
- Ce reprezintă figura 3.1?

Figura 3.2 reprezintă funcțiile Lagrange asociate unei anumite diviziuni a intervalului  $[a, b]$ .

### EXERCITIUL 5:

- Care este intervalul și cum este realizată diviziunea lui?
- Copiați fișierul “ex3.sci” în fișierul “ex5.sci”. Modificați-l pe acesta din urmă astfel încât să obțineți graficul din figura 3.2.

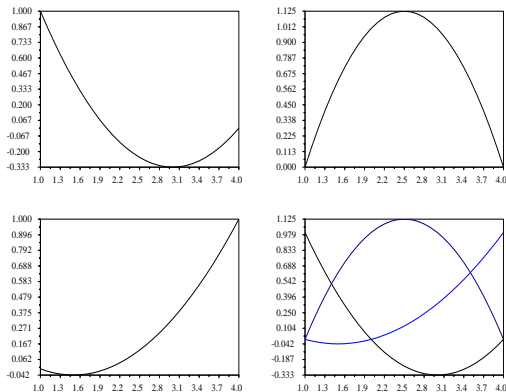


Fig. 3.1. Vezi exercițiul 4

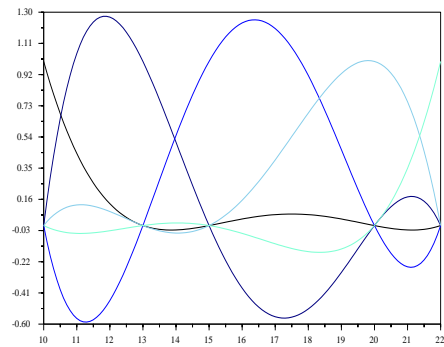


Fig. 3.2. Vezi exercițiul 5

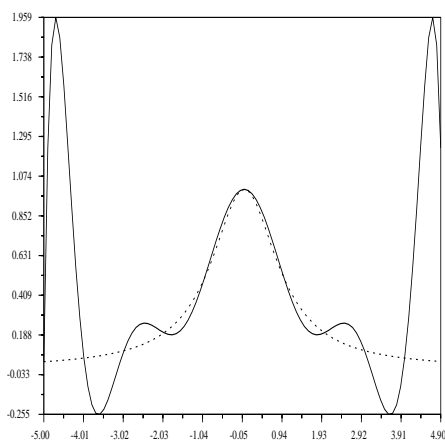
Până acum ați văzut cum arată funcțiile de bază ale interpolării Lagrange. Să vedem acum cum arată polinomul de interpolare.

### EXERCITIUL 6:

Scrieți un fișier "ex6.sci" cu următorul conținut:

```
clear;
getf('lagrange.sci');
x = [-5 -4 -3 -2 -1 0 1 2 3 4 5]; //diviziunea
y = (x^2+1)^(-1);
pasx = 0.1
n = length(x) - 1;
abscise = x(1): pasx: x(n+1);
ordonate_adevarate = (abscise^2+1)^(-1);
m = length(abscise);
L = zeros(n+1,m);
for i = 1:n+1,
    L(i,:) = lagrange(x,abscise,i);
end
ordonate = L'*y';
plot2d([abscise;abscise]',
    [ordonate ordonate_adevarate']);
```

- Comentați acest program. Executați-l.
- Ce reprezintă figura 3.3? Încercați să dați o explicație pentru acest fenomen (numit fenomenul Runge). Cum ar putea fi evitat acest fenomen?



**Fig. 3.3.** Vezi exercițiul 6

• Interpolarea polinomială Hermite<sup>1</sup> construiește un polinom de interpolare a unei funcții  $f : [a, b] \rightarrow \mathbb{R}$ , cunoscută într-un număr de puncte din  $\Omega = [a, b]$ . În plus față de interpolarea Lagrange, este cunoscută și derivata funcției în “nodurile” diviziunii (grilei). Reamintim următoarea teoremă:

**TEOREMA 2** Fie o diviziune a intervalului  $[a, b]$  în  $n$  intervale definite prin punctele:

$$a = x_0 < x_1 < \dots < x_n = b$$

și fie o mulțime de perechi de numere  $\{f(x_i), \frac{df}{dx}(x_i)\}_{i=0}^n$ . Atunci există un polinom unic  $H_n(x)$  care poate fi exprimat în funcție de numerele  $\{f(x_i), \frac{df}{dx}(x_i)\}_{i=0}^n$  și de polinoamele de bază:

$$h_i^0(x) = \frac{Q_i(x)}{Q_i(x_i)} \left[ 1 - \frac{dQ_i}{dx}(x_i)(x - x_i) \right] \quad (3.4)$$

$$h_i^1(x) = \frac{Q_i(x)}{Q_i(x_i)}(x - x_i) \quad (3.5)$$

unde  $Q_i(x) = (l_i(x))^2$ , și anume:

$$H_n(x) = \sum_{i=0}^n \left[ h_i^0(x)f(x_i) + h_i^1(x)\frac{df}{dx}(x_i) \right] \quad (3.6)$$

de grad cel mult  $2n + 1$  astfel încât  $H_n(x_i) = f(x_i)$  și  $\frac{dH_n}{dx}(x_i) = \frac{df}{dx}(x_i)$ . Mai mult, dacă funcția  $f$  este de clasă  $C^{2(n+1)}[a, b]$ , atunci eroarea este:

$$E_n(x) = f(x) - H_n(x) = \frac{(w_n(x))^2}{(2n+2)!} \frac{d^{2(n+1)}f}{dx^{2(n+1)}}(\xi) \quad (3.7)$$

unde  $x_0 < \xi < x_n$ ,  $w_n(x) = (x - x_0)(x - x_1) \cdots (x - x_n)$ .

<sup>1</sup>Partea legată de interpolarea Hermite (exercițiile 8 ÷ 11 și 18) este facultativă.

### EXERCIȚIUL 7:

- Copiați fișierul “ex6.sci” în “ex7.sci”.
- Modificați programul astfel încât în fereastra grafică să se afișeze în partea de sus același grafic ca la exercițiul 6, iar în partea de jos să se deseneze graficul erorii.



**EXERCITIUL 8:**

În directorul `~/modelare/tema3`, editați un fișier numit “hermite.sci” care să conțină definiția funcției:

```
function [h0, h1] = hermite(x,var,i)
```

unde  $x$  este un vector care reprezintă diviziunea intervalului  $[a, b]$ ,  $i$  reprezintă indicele nodului căruia îi sunt asociate polinoamele Hermite, iar  $var$  reprezintă un vector de abscise, cu valori între  $a$  și  $b$ , în care se va evalua polinomul Hermite  $h_i^0$ , respectiv  $h_i^1$ , asociat nodului  $i$ . Funcția întoarce doi vectori linie, cu valorile polinomului Hermite  $h_i^0(x)$ , respectiv  $h_i^1(x)$ , evaluat în punctele vectorului linie  $var$ .

**EXERCITIUL 9:**

În directorul `~/modelare/tema3`, editați un fișier numit “ex9.sci” care să conțină comenzile **Scilab** pentru a desena într-o fereastră polinoamele Lagrange în partea de sus și polinoamele Hermite în partea de jos.

**EXERCITIUL 10:**

Scrieți un program care să realizeze interpolarea Hermite a funcției lui Runge  $1/(1+x^2)$ . Programul va afișa pe același grafic funcția reală, rezultatul interpolării Lagrange și rezultatul interpolării Hermite.

**EXERCITIUL 11:**

Modificați programul de la exercițiul 10 astfel încât în partea de jos a ferestrei grafice să fie desenate pe același grafic eroarea interpolării Lagrange și eroarea interpolării Hermite.

- *Interpolări polinomiale pe porțiuni.* Interpolările prezentate până acum au folosit un singur polinom care să aproximeze funcția pe **întreg** domeniul dorit. Ele se numesc de aceea *interpolări globale*. Ați văzut că prin creșterea fineței grilei de discretizare a domeniului, nu este îmbunătățită eroarea de aproximare (uneori, dimpotrivă, apar fenomene nedorite chiar în cazul în care funcția de aproximat are o alură cuminte, ca funcția lui Runge). Dacă funcția de aproximat are un relief foarte accidentat, atunci de asemenea aproximările polinomiale globale nu sunt precise.

Din aceste motive, mult mai necesare pentru rezolvarea numerică a problemelor de câmp electromagnetic sunt interpolările pe porțiuni.

**EXERCITIUL 12:**

- Folosind funcția `lagrange` pe care ați construit-o la exercițiul 2, scrieți un program care să deseneze cele două polinoame Lagrange asociate diviziunii  $[a, b]$ .
- Comentați figura 3.4.

Să considerăm acum problema aproximării unei funcții pe un interval  $[a, b]$  divizat astfel:  $a = x_0 < x_1 < x_2 = b$ . Să notăm cu 0, 1, 2 nodurile grilei, asociate respectiv coordo-

nator  $x_0, x_1, x_2$ . În locul unei interpolări globale, care să folosească cele trei polinoame Lagrange asociate diviziunii  $[x_0 \ x_1 \ x_2]$ , vom face o interpolare pe porțiuni, în care vom folosi polinoamele Lagrange asociate diviziunii  $[x_0 \ x_1]$  și polinoamele Lagrange asociate diviziunii  $[x_1 \ x_2]$ . Astfel, pe intervalul  $[x_0, x_1]$  funcția  $f$  este aproximată prin:

$$P(x) = l_0(x)f(x_0) + l_1(x)f(x_1) \quad (3.8)$$

unde  $l_0$  și  $l_1$  sunt funcțiile Lagrange asociate nodului 0 și respectiv 1 și diviziunii  $[x_0 \ x_1]$ , iar pe intervalul  $[x_1, x_2]$  funcția  $f$  este aproximată prin:

$$P(x) = l_1(x)f(x_1) + l_2(x)f(x_2) \quad (3.9)$$

unde  $l_1$  și  $l_2$  sunt funcțiile Lagrange asociate nodului 1 și respectiv 2 și diviziunii  $[x_1 \ x_2]$ .

**EXERCITIUL 13:** Comentați figura 3.5.

**EXERCITIUL 14:**

a) În fișierul “ex14a.sci” scrieți un program care să realizeze interpolarea funcției  $e^x$  pe diviziunea  $[x_0 \ x_1] = [0 \ 1]$ , cu folosirea formulei (3.8). Reprezentați grafic cei doi termeni ai sumei (3.8). Într-o altă fereastră reprezentați polinomul  $P$  de interpolare și funcția  $e^x$ .

b) Copiați fișierul “ex14a.sci” în “ex14b.sci”. Modificați fișierul “ex14b.sci” astfel încât să se realizeze interpolarea funcției  $e^x$  pe diviziunea  $[0 \ 1 \ 2]$ , astfel: pe intervalul  $[0, 1]$  să fie folosită relația (3.8), iar pe intervalul  $[1, 2]$  să fie folosită relația (3.9).

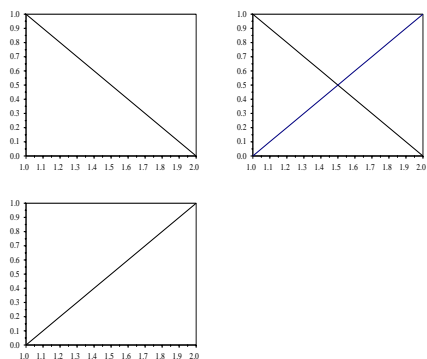


Fig. 3.4. Vezi exercițiul 12

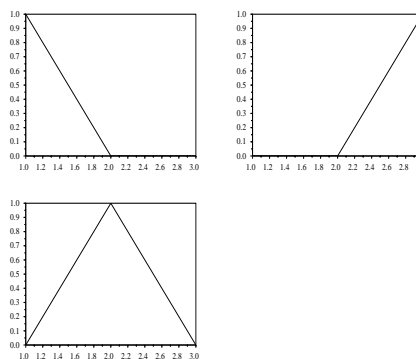


Fig. 3.5. Vezi exercițiul 13

**EXERCITIUL 15:**

La fișierul “lagrange.sci” construit la exercițiul 2, adăugați o funcție de tipul:

```
function [lgr] = lagrange_portiuni(x,var,i)
```

unde  $x$  este un vector care reprezintă diviziunea intervalului  $[a, b]$ ,  $i$  reprezintă indicele nodului căruia îi este asociat polinomul Lagrange definit pe porțiuni, iar  $var$  reprezintă un vector de abscise între  $a$  și  $b$  în care va fi evaluat polinomul Lagrange pe porțiuni asociat nodului  $i$ . Funcția întoarce un vector linie, cu valorile polinomului Lagrange pe porțiuni  $l_i(x)$  evaluat în punctele vectorului linie  $var$ . (Indicație: în definiția acestei funcții apălați funcția `lagrange`.)

**EXERCITIUL 16:**

- Scrieți într-un fișier “ex16.sci” un program care să deseneze polinoamele Lagrange pe porțiuni, asociate unei diviziuni neuniforme.
- Comentați figura 3.6.

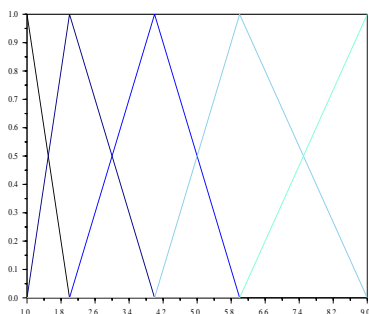


Fig. 3.6. Vezi exercițiul 16

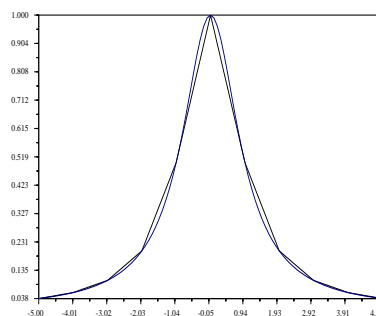


Fig. 3.7. Interpolarea Lagrange pe porțiuni a funcției lui Runge

**EXERCITIUL 17:**

Copiați fișierul “ex6.sci” în “ex17.sci”. Înlocuiți apelul funcției `lagrange` cu `lagrange_portiuni`. Executați acest nou program. Rezultatul ar trebui să arate ca în figura 3.7. Comentați rezultatul, comparându-l cu rezultatul exercițiului 6.

**EXERCITIUL 18:**

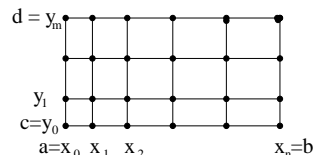
- Explicați cum credeți că se va face interpolarea Hermite pe porțiuni;
- Încercați să faceți o comparație între interpolarea Lagrange și interpolarea Hermite.

### 3.1.2 Cazul bidimensional

Teoria generală a interpolării în două sau mai multe dimensiuni este mult mai dificilă decât cea unidimensională.

Iată cum poate fi extinsă *interpolarea Lagrange* în cazul bidimensional.

Fie o funcție  $f : \Omega \rightarrow \mathbb{R}$ , unde  $\Omega$  este un domeniu bidimensional  $[a, b] \times [c, d]$ , cunoscută într-un număr de puncte din  $\Omega$ . Presupunem că funcția este cunoscută în nodurile unei grile



$$a = x_0 < x_1 < \dots < x_n = b$$

și de diviziunea pe Oy:

$$c = y_0 < y_1 < y_2 < \dots < y_m = d.$$

**Fig. 3.8.** Grila de discretizare a lui  $\Omega$

Păstrând fixă una din variabilele independente, vom interpola unidimensional funcția de-a lungul celeilalte variabile. De exemplu, pentru un  $y_j$  fixat al diviziunii pe Oy rezultă:

$$f(x, y_j) = \sum_{i=0}^n l_i(x) f(x_i, y_j) + E_n(x, y_j). \quad (3.10)$$

Interpolând apoi după  $y$ , rezultă:

$$f(x, y) = \sum_{i=0}^n \sum_{j=0}^m l_i(x) l_j(y) f(x_i, y_j) + E_{m,n}(x, y). \quad (3.11)$$

În consecință, funcțiile Lagrange asociate unei grile bidimensionale sunt:

$$l_{ij}(x, y) = l_i(x) l_j(y) = \left( \prod_{\substack{k=0 \\ k \neq i}}^n \frac{x - x_k}{x_i - x_k} \right) \left( \prod_{\substack{k=0 \\ k \neq j}}^m \frac{y - y_k}{y_j - y_k} \right). \quad (3.12)$$

#### EXERCITIUL 19:

Copiați fișierul “lagrange.sci” în “lagrange2D.sci”. Modificați funcția `lagrange` în `lagrange2D`, cu următorii parametri:

```
function [lgr] = lagrange2D(x,y,varx,vary,i,j)
```

unde  $\mathbf{x}$  și  $\mathbf{y}$  sunt vectori care reprezintă diviziunea intervalului  $[a, b]$ , respectiv  $[c, d]$ ,  $i$  și  $j$  definesc în mod univoc nodul cărui îi este asociat polinomul Lagrange, iar  $\mathbf{varx}$  și  $\mathbf{vary}$  reprezintă un vector de abscise între  $a$  și  $b$ , respectiv un vector de ordinate între  $c$  și  $d$ , care definesc punctele în care va fi evaluat polinomul Lagrange asociat nodului respectiv din grila bidimensională. Funcția întoarce o matrice care conține valorile polinomului Lagrange  $l_{i,j}(x, y)$  evaluat în punctele determinate de abscisele  $\mathbf{varx}$  și ordinatele  $\mathbf{vary}$ .

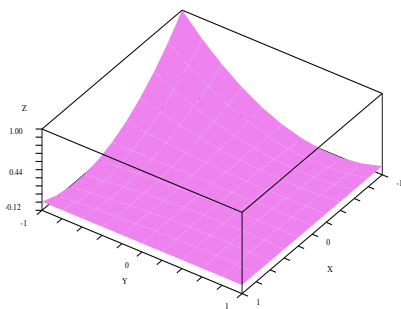
**EXERCITIUL 20:**

Editați un fișier “ex20.sci” cu următorul conținut:

```
clear;
getf('lagrange2D.sci');

x = [-1 0 1]
y = [-1 0 1]
pasx = 0.2;
pasy = 0.2
n1 = length(x);
n2 = length(y);
abscise = x(1):pasx:x(n1);
ordonate = y(1):pasy:y(n2);
[cote] = lagrange2D(x,y,abscise,ordonate,2,3);
plot3d(abscise,ordonate,cote);
```

Executați și comentați acest program.

**EXERCITIUL 21:**

- Ce reprezintă figura 3.9?
- Scrieți un program care să deseneze într-o fereastră grafică a *Scilab*-ului, cele 9 funcții Lagrange asociate diviziunii de la exercițiul 20.

Fig. 3.9. Vezi exercițiul 21

**EXERCITIUL 22:**

Scrieți expresia polinomului de interpolare Lagrange pentru funcția  $\exp(x + y)$ , în domeniul  $[-1, 1] \times [-1, 1]$ , pentru o grilă uniformă pe ambele axe, având în total 9 noduri.

**EXERCITIUL 23:**

Folosind drept model cazul unidimensional, extindeți interpolarea Lagrange pe porțiuni la cazul bidimensional.

## 3.2 Clasificarea sistemelor de ecuații cu derivate parțiale

Din punct de vedere matematic, rezolvarea problemelor de câmp electromagnetic implică rezolvarea unor sisteme de ecuații cu derivate parțiale<sup>2</sup>.

<sup>2</sup>În limba engleză se prescurtează PDE - “Partial Differential Equations”.

Acestea se clasifică în trei categorii:

- **hiperbolice** – exemplu tipic:

$$\frac{\partial^2 u}{\partial t^2} = v^2 \frac{\partial^2 u}{\partial x^2} \quad (3.13)$$

Aceasta este ecuația undelor,  $v$  reprezentând viteza de propagare.

- **parabolice** – exemplu tipic:

$$\frac{\partial u}{\partial t} = \frac{\partial}{\partial x} \left( D \frac{\partial u}{\partial x} \right) \quad (3.14)$$

Aceasta este ecuația de difuzie,  $D$  reprezentând coeficientul de difuzie.

- **eliptice**: – exemplu tipic:

$$\frac{\partial^2 u}{\partial x^2} + \frac{\partial^2 u}{\partial y^2} = \rho(x, y) \quad (3.15)$$

Aceasta este ecuația Poisson,  $\rho$  reprezintă densitatea sursei. Dacă  $\rho = 0$ , ecuația se numește Laplace.

Ecuația (3.15) reprezintă ecuația satisfăcută de o funcție staționară  $u(x, y)$ , definită pe o regiune de interes. Rezolvarea acestei probleme necesită cunoașterea valorilor funcției (sau ale derivatei acesteia) pe frontiera domeniului.

#### **EXERCITIUL 24:**

Descrieți frontiera următoarelor domenii:

- un interval  $[a, b]$  al axei reale;
- un disc plan de rază  $r$ ;
- o placă subțire de formă pătrată;
- o sferă de rază  $r$ ;
- un cilindru de rază  $r$  și de înălțime  $H$ .

Dacă un domeniu  $\Omega$  aparține spațiului  $n$ -dimensional,  $\Omega \subset \mathbb{R}^n$ , cărui spațiu îi aparține frontiera sa  $\partial\Omega$ ?

Ecuațiile (3.13) și (3.14) descriu evoluții în timp. Ele reprezintă probleme Cauchy care necesită în plus cunoașterea valorilor inițiale.

Există și alte tipuri de ecuații diferențiale. Pentru ilustrarea metodei diferențelor finite și a elementelor finite se va folosi în cele ce urmează o ecuație mult mai simplă decât oricare din tipurile prezentate mai sus (vezi problema 1 din paragraful 3.3.3).

## 3.3 Aproximarea cu diferențe finite

### 3.3.1 Ideea metodei. Formule de aproximare în cazul unidimensional.

Ideea principală din spatele metodei diferențelor finite este aceea de a aproxima derivatele care apar în ecuații cu ajutorul unei mulțimi de valori ale funcției dintr-un număr de puncte numite “noduri”.

Cea mai populară metodă de a genera aceste aproximații este prin intermediul seriilor Taylor. Există și alte posibilități de a genera aceste aproximații, de exemplu folosind formule de interpolare.

Vom reaminti câteva rezultate pentru cazul aproximării derivatelor unei funcții unidimensionale  $f : [a, b] \rightarrow \mathbb{R}$ .

Vom nota cu  $x_i$  punctele diviziunii intervalului  $[a, b]$ ,  $f_i = f(x_i)$ , cu  $Df_i = \frac{\partial f}{\partial x}(x_i)$  și cu  $D^2 f_i = \frac{\partial^2 f}{\partial x^2}(x_i)$ .

### Cazul unei diviziuni uniforme: $x_{i+1} - x_i = h$

- Aproximarea derivatelor cu o eroare de ordinul<sup>3</sup>  $h$ :

$$\text{(progresivă)} \quad Df_i = \frac{f_{i+1} - f_i}{h} + O(h) \quad (3.16)$$

$$\text{(regresivă)} \quad Df_i = \frac{f_i - f_{i-1}}{h} + O(h) \quad (3.17)$$

- Aproximarea derivatelor (centrate) cu o eroare de ordinul  $h^2$ :

$$Df_i = \frac{f_{i+1} - f_{i-1}}{2h} + O(h^2) \quad (3.18)$$

$$D^2 f_i = \frac{f_{i+1} - 2f_i + f_{i-1}}{h^2} + O(h^2) \quad (3.19)$$

- Aproximarea derivatelor (centrate) cu o eroare de ordinul  $h^4$ :

$$Df_i = \frac{f_{i-2} - 8f_{i-1} + 8f_{i+1} - f_{i+2}}{12h} + O(h^4) \quad (3.20)$$

$$D^2 f_i = \frac{-f_{i-2} + 16f_{i-1} - 30f_i + 16f_{i+1} - f_{i+2}}{12h^2} + O(h^4) \quad (3.21)$$

### Cazul unei diviziuni neuniforme: $x_{i+1} - x_i = \alpha h$ , $x_i - x_{i-1} = \beta h$

- Aproximarea derivatei de ordinul unu cu o eroare de ordinul  $h^2$ :

$$Df_i = \frac{\beta^2 f_{i+1} + (\alpha^2 - \beta^2) f_i - \alpha^2 f_{i-1}}{\alpha\beta(\alpha + \beta)h} + O(h^2) \quad (3.22)$$

- Aproximarea derivatei de ordinul doi cu o eroare de ordinul<sup>4</sup>  $h$ :

$$D^2 f_i = \frac{\beta f_{i+1} - (\alpha + \beta) f_i - \alpha f_{i-1}}{\alpha\beta(\alpha + \beta) \frac{h^2}{2}} + O(h) \quad (3.23)$$

<sup>3</sup>Este posibilă doar pentru derivatele de ordinul unu.

<sup>4</sup>Derivata de ordinul doi nu poate fi aproximată cu o eroare de ordinul  $h^2$  dacă sunt folosite numai punctele  $x_{i-1}$ ,  $x_i$  și  $x_{i+1}$ .

### 3.3.2 Algoritmul metodei

Aplicarea metodei diferențelor finite pentru rezolvarea oricărei ecuații diferențiale presupune realizarea următorilor pași:

- **Pasul 1:** Se alege o schemă de diferențe finite pentru aproximarea derivatelor din ecuații și se rescrie ecuația ca ecuație cu diferențe finite.
- **Pasul 2:** Se stabilește grila de discretizare și se scrie ecuația discretizată pentru fiecare nod.
- **Pasul 3:** Se rezolvă sistemul de ecuații pentru determinarea valorilor necunoscute în nodurile grilei.
- **Pasul 4:** Calculul altor valori, în afara celor din noduri, se face prin interpolare.

Se obișnuiește să se spună că pașii 1 și 2 reprezintă etapa de *preprocesare*, pasul 3 reprezintă *rezolvarea*, iar pasul 4 *postprocesarea*.

### 3.3.3 Exerciții

#### Problema 1:

Newton a arătat că, în unele cazuri, viteza de răcire a unui corp (derivata temperaturii în raport cu timpul) este proporțională cu diferența dintre temperatura  $T$  a obiectului și temperatura  $T_e$  a mediului înconjurător:

$$\frac{\partial T}{\partial t} + k [T(t) - T_e] = 0 \quad (3.24)$$

unde  $k$  este un factor de proporționalitate și  $t$  este timpul.

Se consideră o placă infinit extinsă în direcțiile axelor  $Oy$  și  $Oz$ , de grosime foarte mică, astfel încât temperatura este instantaneu uniformă în interiorul ei. Placa este brusc introdusă într-un mediu cu temperatură constantă.

a) Folosind metoda diferențelor finite, să se calculeze variația în timp a temperaturii în intervalul  $[0, 1]$ , presupunând  $k = 2$  și  $T_e = 0.5$ . Condiția inițială este  $T(0) = 1$ .

b) Să se compare rezultatul numeric cu rezultatul exact:

$$T(t) = T(0)e^{-kt} + T_e(1 - e^{-kt}). \quad (3.25)$$



**EXERCITIUL 25:**

Scrieți un fișier “problema1.sci” cu următorul conținut:

```

clear; // este bine ca aceasta comanda sa fie
      // prima linie din orice fisier
      // scris in Scilab

getf('grid_1D.sci');
getf('prep_mdf.sci');

disp(' Tema3 - problema 1');
// datele problemei:
Te = 0.5;
k = 2;
a = 0;
b = 1;
initial = 1;

// ----- preprocesare -----
[n, deltat] = grid_uniform(a,b);
[M,p] = assembleaza(k, Te, initial, deltat, n)

```

**EXERCITIUL 26:**

a) Scrieți un fișier “grid\_1D.sci” pentru definirea unei funcții `grid_uniform`, care să aibă ca parametri de intrare capetele intervalului  $[a, b]$ , să ceară utilizatorului numărul  $n$  de segmente în care va fi împărțit acest interval, și să întoarcă acest număr și pasul de discretizare `deltat`.

b) Testați corectitudinea acestei funcții astfel: în fișierul “problema1.sci” comentați linia cu al doilea `getf` precum și ultima linie, și apoi executați acest program.

**EXERCITIUL 27:**

Deduceți forma discretizată a ecuației de rezolvat, folosind pentru aproximarea derivatei de ordinul unu o schemă cu diferențe progresive (formula (3.16)).

**EXERCITIUL 28:**

Scrieți un fișier “prep\_mdf.sci” pentru definirea funcției `assembleaza`. Aceasta va avea ca parametri de intrare datele problemei și date despre grila de discretizare. Parametrii de ieșire vor fi matricea coeficienților  $M$  și vectorul termenilor liberi  $p$ .

Indicație: iată un pseudocod posibil:

```

funcție [M, p] = assembleaza(real k, Te, initial, deltat, întreg n)
    ; crează o matrice M cu elemente nule
    .....
    ; crează un vector p cu elemente nule
    .....
    pentru i = 1, n
        M(i+1,i+1) = 1,
        M(i+1,i) = k*deltat - 1,
        p(i+1) = k*Te*deltat,
    ; impunerea condițiilor inițiale
    M(1,1) = 1;
    p(1) = initial;
retur

```

**EXERCITIUL 29:**

Completați fișierul "problema1.sci" cu:

```
// ----- rezolvare -----
T = inv(M)*p
```

Verificați corectitudinea funcției `assembleaza`: pentru o împărțire în 4 segmente rezultatul trebuie să fie:  
 $T = [ 1, 0.75, 0.625, 0.5625, 0.53125 ]$ .

**EXERCITIUL 30:**

Cum este matricea M:

- rară sau plină?
- simetrică sau nesimetrică?
- singulară sau nesingulară?
- bine sau prost condiționată (folosiți comanda `cond`)?

**EXERCITIUL 31:**

Completați fișierul "problema1.sci" cu:

```
// ----- postprocesare -----
deff(' [solutie] = Texact(t)',
     'solutie=(initial-Te)*exp(-k*t)+Te');
for i = 1:n+1,
    t(i) = a + (i-1)*deltat;
end
Tex = Texact(t);
plot2d([t t], [T Tex], [3 -1], '121', 'mdf@exact');
```

Ce reprezintă figura 3.10?

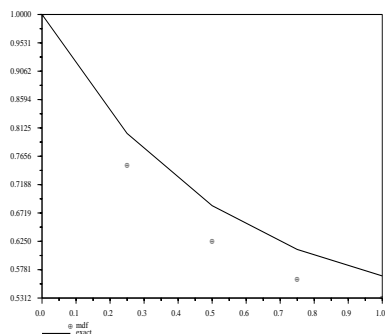


Fig. 3.10. Vezi exercițiul 32

### EXERCITIUL 32:

Se poate evita folosirea matricei  $M$ ? Propuneți o altă metodă de implementare (scrieți un pseudocod).

## 3.4 Metoda reziduurilor ponderate

### 3.4.1 Ideea metodei. Funcții de bază în cazul unidimensional.

#### Ideea metodei

Există două abordări posibile atunci când se dorește aplicarea unei metode variaționale pentru rezolvarea unei ecuații cu derivate parțiale. Să notăm această ecuație cu:

$$LT = f, \quad (3.26)$$

unde  $L$  este un operator convenabil atașat problemei de rezolvat. Pentru buna formulare a problemei, trebuie date și condițiile pe frontiera domeniului  $\mathcal{D}$  al funcției  $T$ , precum și condițiile inițiale dacă este cazul.

O abordare este cunoscută sub numele de **metoda Rayleigh-Ritz** și este metoda variațională clasică. Ideea acestei metode este următoarea:

- Ecuației satisfăcute de funcția necunoscută  $T$  i se asociază o anumită *funcțională*  $\mathcal{F}(T)$  al cărei punct de minim coincide cu soluția ecuației diferențiale.
- Se alege un sistem complet de *funcții de bază*, liniar independente,  $\Psi_j$ ,  $j = 1, \dots, n$  iar soluția exactă este aproximată ca:

$$T \approx \tilde{T} = \sum_{j=1}^n c_j \Psi_j. \quad (3.27)$$

- Constantele  $c_j$  se determină din condiția de minimizare a funcționalei  $\mathcal{F}(\tilde{T})$ .

Această metodă nu poate fi utilizată decât dacă este găsită expresia funcționalei, lucru posibil pentru multe ecuații care descriu fenomene staționare. În caz contrar, se folosește metoda reziduurilor ponderate.

O altă abordare este **metoda reziduurilor ponderate** care poate fi descrisă pe scurt astfel:

- Dacă  $\tilde{T}$  este o soluție aproximativă, atunci se definește *reziduul*:

$$R(\tilde{T}) = L\tilde{T} - f. \quad (3.28)$$

- Ca la metoda Rayleigh-Ritz, se alege un sistem complet de funcții de bază liniar independente,  $\Psi_j$ ,  $j = 1, \dots, n$  iar soluția exactă este aproximată ca:

$$\tilde{T} = \sum_{j=1}^n c_j \Psi_j. \quad (3.29)$$

- În general, reziduul (3.28) are valoarea zero doar pentru soluția exactă. Cum  $\tilde{T}$  este doar o aproximație a acesteia, reziduul este în general nenul și constituie o măsură a erorii introduse de aproximarea funcției  $T$  prin relația (3.29).

Pentru determinarea constantelor  $c_j$  se impune condiția de anulare a reziduului *în medie* pe întregul domeniu al problemei. Media este definită sub o formă generală ca integrala pe domeniu a funcției rezidu (3.28) înmulțită cu anumite funcții  $w_i$  numite *funcții pondere*:

$$\int_{\Omega} R(\tilde{T}) w_i \, d\Omega = 0 \quad i = 1, \dots, n. \quad (3.30)$$

Relația (3.30) extinde noțiunea binecunoscută de proiecție a unui vector pe o axă, la cea de proiecție a unei funcții  $R$  pe altă funcție  $w_i$ , ambele având același domeniu de definiție  $\Omega$ . De aceea se spune că metoda reziduurilor ponderate este o *metodă de proiecție*.

În metoda reziduurilor ponderate, relația (3.30) se scrie pentru cele  $n$  funcții pondere, rezultând astfel un sistem de  $n$  ecuații din care pot fi calculați cei  $n$  coeficienți necunoscuți  $c_j$ .

În funcție de modul în care se aleg funcțiile pondere, metoda are mai multe variante:

- *Metoda colocației*: funcțiile pondere sunt funcții Dirac; prin (3.30) se impune deci anularea reziduului în anumite puncte din domeniu;
- *Metoda celor mai mici pătrate*: funcțiile pondere coincid cu funcția reziduu;
- *Metoda Galerkin*: funcțiile pondere coincid cu funcțiile de bază. Aceasta este cea mai des folosită metodă și de aceea o vom folosi în exercițiile ce urmează.

### Funcții de bază în cazul unidimensional

Cele mai folosite funcții de bază provin din aproximări polinomiale pe porțiuni. Cazul cel mai simplu este cel în care polinoamele sunt *de gradul 1*.

Să considerăm diviziunea  $x_i$ , cu  $i = 1, \dots, n + 1$  a intervalului  $[a, b]$  pe care este definită funcția necunoscută  $T$ . În paragraful 3.1.1 ați văzut cum se face interpolarea polinomială pe porțiuni în *cazul unidimensional*. Graficele polinoamelor de interpolare Lagrange pe porțiuni (fig. 3.5) arată că, pentru un nod, există două polinoame care iau valoarea 1 în

nod și zero în nodurile vecine. Aceste două polinoame definesc funcția de bază asociată nodului  $i$ :

$$\Psi_i(x) = \begin{cases} \frac{x-x_{i-1}}{x_i-x_{i-1}} & x \in [x_{i-1}, x_i] \\ \frac{x-x_{i+1}}{x_i-x_{i+1}} & x \in [x_i, x_{i+1}] \\ 0 & x \notin [x_{i-1}, x_{i+1}] \end{cases} \quad (3.31)$$

pentru  $i \neq 1$  și  $i \neq n+1$ , respectiv

$$\Psi_1(x) = \begin{cases} \frac{x-x_2}{x_1-x_2} & x \in [x_1, x_2] \\ 0 & x \notin [x_1, x_2] \end{cases} \quad (3.32)$$

$$\Psi_{n+1}(x) = \begin{cases} \frac{x-x_n}{x_{n+1}-x_n} & x \in [x_n, x_{n+1}] \\ 0 & x \notin [x_n, x_{n+1}] \end{cases} \quad (3.33)$$

Observăm că funcția de bază<sup>5</sup> asociată nodului  $i$  este diferită de zero numai în intervalele adiacente nodului  $i$ :  $(x_{i-1}, x_i]$  și  $[x_i, x_{i+1})$ . Fiecare interval  $[x_i, x_{i+1}]$  se numește *element finit*. De aceea, această metodă mai este cunoscută și sub numele de *metoda elementelor finite*.

Cu alegerea (3.31) ÷ (3.33) a funcțiilor de bază, necunoscutele  $c_j$  din relația (3.29) reprezintă chiar valorile funcției necunoscute  $T$  în nodurile rețelei de discretizare,  $c_j = T_j$ :

$$\tilde{T} = \sum_{j=1}^{n+1} T_j \Psi_j. \quad (3.34)$$

În consecință, necunoscutele problemei sunt chiar valorile  $T_j$  ale funcției în nodurile rețelei de discretizare.

**EXERCITIUL 33:** Demonstrați afirmația precedentă.

În cazul bidimensional elementele finite sunt de obicei triunghiuri sau patrulatere, iar în cazul tridimensional sunt de obicei tetraedre sau prisme (triunghiulare sau patrulate).<sup>6</sup>

Funcțiile de bază  $\Psi_i$  pot fi polinoame de grad mai mare decât 1, construite tot cu ajutorul polinomului Lagrange  $l_i(x)$  (vezi teorema 1). În practică se folosesc funcții de bază de grad cel mult 3.

### 3.4.2 Algoritmul metodei

Aplicarea metodei reziduurilor ponderate (elementelor finite) pentru rezolvarea oricărei ecuații diferențiale presupune parcurgerea următorilor pași:

<sup>5</sup>Funcției de bază asociată unui nod  $i$  se mai spune și *funcție de formă* (“shape function”) sau *funcție “pălărie”* (“hat function”). Această din urmă denumire provine de la forma acestei funcții în cazul bidimensional.

<sup>6</sup>În limba engleză se spune că discretizarea se face cu o rețea “mesh” în cazul metodei elementelor finite și cu o grilă “grid” în cazul metodei diferențelor finite.

- **Pasul 1:** Se aleg funcțiile de bază. Acesta este cel mai important pas pentru că de această alegere depinde acuratețea aproximării necunoscutei.
- **Pasul 2:** Se aproximează funcția necunoscută printr-o relație de tip (3.34). Dacă funcțiile de bază au fost alese ca fiind funcții polinomiale pe porțiuni, atunci acest pas presupune împărțirea domeniului pe care este definită funcția necunoscută în elemente finite.
- **Pasul 3:** Se aleg funcțiile pondere.
- **Pasul 4:** Se assemblează sistemul de ecuații.
- **Pasul 5:** Se rezolvă sistemul de ecuații determinând coeficienții necunoscuți (valorile necunoscutei în nodurile rețelei de discretizare, în cazul variantei Galerkin).
- **Pasul 6:** Se calculează alte mărimi de interes asociate problemei.

Pași 1÷4 reprezintă etapa de *preprocesare*, pasul 5 este etapa de *rezolvare* iar pasul 6 reprezintă *postprocesarea*.

### 3.4.3 Forma discretizată a ecuației de rezolvat

Vom rezolva acum problema 1 cu metoda elementelor finite în **variantea Galerkin**, cu **funcții de bază liniare**. Aceasta este echivalent cu:

- alegerea la **pasul 1** a funcțiilor liniare pe porțiuni (3.31) ca funcții de bază;
- discretizarea, la **pasul 2**, a domeniului de definiție  $\Omega = [a, b]$  al necunoscutei, în  $n$  subintervale (elemente finite  $[x_i, x_{i+1}]$ , cu  $i = 1, \dots, n$ ); pentru simplitate, se va considera diviziunea echidistantă, în care toate elementele finite au aceeași lungime;
- construirea funcției approximate conform relației (3.34);
- alegerea, la **pasul 3**, a funcțiilor pondere ca fiind aceleași ca funcțiile de bază (conform metodei Galerkin).

Cu aceste alegeri, principala dificultate a preprocesării o constituie **pasul 4** al algoritmului, și anume asamblarea sistemului de ecuații.

#### Asamblarea sistemului de ecuații

Sub acest nume este cunoscută operația de construire a sistemului de ecuații (3.30), cu  $i = 1, \dots, n + 1$ .

Vom renota variabila  $t$  cu  $x$  și vom folosi, pentru simplificarea scrierii, notația  $C = kT_e$ . Ecuația de rezolvat (3.24) devine:

$$T'(x) + kT(x) = C, \quad (3.35)$$

în care dependența de  $x$  va fi, în cele ce urmează, subînțeleasă.

Reziduul definit de relația (3.28) are, pentru această problemă, forma:

$$R(T) = T' + kT - C. \quad (3.36)$$

Proiecția rezidului pe funcțiile pondere, dată de (3.30), se particularizează sub forma (cu  $w_i = \Psi_i$ ):

$$\int_{\Omega} (T' + kT - C)\Psi_i \, d\Omega = 0. \quad (3.37)$$

Odată explicitată integrala pe domeniul de definiție al necunoscutei, această relație va reprezenta ecuația cu numărul  $i$  dintr-un sistem de  $n + 1$  ecuații cu  $n + 1$  necunoscute  $T_j$  — valorile temperaturii în nodurile rețelei de discretizare.

Se observă că relația (3.37) conține termenul  $\int_{\Omega} T'\Psi_i \, d\Omega$ . O **etapă esențială** în rezolvarea oricărei ecuații diferențiale prin metoda elementelor finite este **transformarea** acestui termen astfel încât nu necunoscuta  $T$ , ci funcția de bază  $\Psi_i$  pe care se face proiecția, să apară derivată. Această transformare se poate face folosind *formula de integrare prin părți*:

$$\int_{\Omega=[a,b]} T'\Psi_i \, d\Omega = - \int_{\Omega} T\Psi_i' \, d\Omega + \int_{\Omega} (T\Psi_i)' \, d\Omega = - \int_{\Omega} T\Psi_i' \, d\Omega + (T\Psi_i)|_a^b. \quad (3.38)$$

Relația (3.37) devine:

$$- \int_{\Omega} T\Psi_i' \, d\Omega + \int_{\Omega} kT\Psi_i \, d\Omega - \int_{\Omega} C\Psi_i \, d\Omega + (T\Psi_i)|_a^b = 0. \quad (3.39)$$

Cum domeniul  $\Omega$  este împărțit în elementele finite  $e = 1, \dots, n$ , integralele pe  $\Omega$  pot fi scrise ca sume de integrale pe elementele finite:

$$\sum_{e=1}^n \left( - \int_e T\Psi_i' \, d\Omega + \int_e kT\Psi_i \, d\Omega - \int_e C\Psi_i \, d\Omega \right) + (T\Psi_i)|_a^b = 0. \quad (3.40)$$

Se observă că ultimul termen din relația (3.40) nu mai este o integrală pe întregul domeniu  $\Omega$ , ci este o expresie definită pe frontiera  $\partial\Omega = \{a, b\}$  a acestuia.

În consecință, pot fi identificate două *tipuri* de contribuții la ecuațiile (3.40):

- contribuția elementelor finite;
- contribuția frontierei.

Aceste două tipuri de contribuții vor fi analizate separat în cele ce urmează.

### Determinarea contribuțiilor elementelor finite

Necunoscuta  $T$  va fi aproximată conform relației (3.34), în care  $j$  variază de la 1 la  $n + 1$ , deoarece rețeaua de discretizare conține  $n + 1$  noduri.

În relația (3.40) scrisă pentru nodurile interioare domeniului ( $i = 2, \dots, n$ ), termenul  $(T\Psi_i)|_a^b$  nu intervine, deoarece  $\Psi_i(a) = \Psi_i(b) = 0$ . De aceea, vom elimina acest termen în cele ce urmează.

Astfel, relația (3.40) (în care se consideră nulă contribuția frontierei) devine:

$$\sum_{e=1}^n \left( - \int_e \sum_{j=1}^{n+1} T_j \Psi_j \Psi_i' d\Omega + \int_e k \sum_{j=1}^{n+1} T_j \Psi_j \Psi_i d\Omega - \int_e C \Psi_i d\Omega \right) = 0, \quad (3.41)$$

sau, interschimbând poziția sumelor după  $e$  și după  $j$  în primii doi termeni integrali și ținând cont de faptul că  $T_j$  sunt coeficienți necunoscuți constanți, deci pot fi scoși în afara integralelor:

$$\sum_{j=1}^{n+1} T_j \left( \sum_{e=1}^n \left( - \int_e \Psi_j \Psi_i' d\Omega + k \int_e \Psi_j \Psi_i d\Omega \right) \right) = \sum_{e=1}^n \int_e C \Psi_i d\Omega. \quad (3.42)$$

Să reamintim faptul că relația (3.42) este ecuația cu numărul  $i$  din sistemul de ecuații cu necunoscutele  $T_j$ . Se constată că membrul stâng al relației (3.42) este o combinație liniară a necunoscutelor  $T_j$ , în timp ce membrul drept nu conține necunoscute. Ecuația (3.42) va avea deci, după calculul integralelor care intervin, forma standard a unei ecuații dintr-un sistem de ecuații algebrice liniare:

$$\sum_{j=1}^{n+1} T_j m_{ij} = p_i. \quad (3.43)$$

Asamblarea sistemului de ecuații constă în calculul coeficienților  $m_{ij}$  și al termenilor liberi  $p_i$ . Comparând (3.42) cu (3.43) se constată că acești coeficienți au, în cazul metodei elementelor finite, expresiile:

$$m_{ij} = \sum_{e=1}^n \left( - \int_e \Psi_j \Psi_i' d\Omega + k \int_e \Psi_j \Psi_i d\Omega \right) = \sum_{e=1}^n (-\mathcal{I}_1 + k\mathcal{I}_2) = \sum_{e=1}^n m_{ij}^e, \quad (3.44)$$

dacă  $i \neq j$ , și respectiv

$$m_{ii} = \sum_{e=1}^n \left( - \int_e \Psi_i \Psi_i' d\Omega + k \int_e \Psi_i \Psi_i d\Omega \right) = \sum_{e=1}^n (-\mathcal{I}_1' + k\mathcal{I}_2') = \sum_{e=1}^n m_{ii}^e, \quad (3.45)$$

iar termenul liber are expresia:

$$p_i = \sum_{e=1}^n \int_e C \Psi_i d\Omega = \sum_{e=1}^n C\mathcal{I}_3 = \sum_{e=1}^n p_i^e. \quad (3.46)$$

Calculul expresiilor  $m_{ij}$ ,  $m_{ii}$  și  $p_i$  este mult simplificat de observația făcută anterior, aceea că funcția de formă (de bază)  $\Psi_i$  este nulă în toate elementele finite  $e = [x_k, x_{k+1}]$  care nu conțin nodul  $i$  ( $i \neq k$  și  $i \neq k+1$ ), după cum rezultă din însăși definiția (3.31) a funcției  $\Psi_i$ .

Ca urmare:

$\mathcal{I}_1$  este nenulă doar pentru elementele  $e$  care conțin nodul  $j$  ( $e \ni j$ )

$\mathcal{I}_2$  este nenulă doar pentru elementele  $e$  care conțin nodurile  $i$  și  $j$  ( $e \ni j$  și  $e \ni i$ )



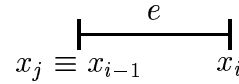
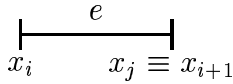
$\mathcal{I}_1'$  este nenulă doar pentru elementele  $e$  care conțin nodul  $i$  ( $e \ni i$ )  
 $\mathcal{I}_2'$  este nenulă doar pentru elementele  $e$  care conțin nodul  $i$  ( $e \ni i$ ).

De aceea, în (3.44) suma pentru toate elementele  $e$  se reduce la  $\sum_{e \ni i}$  și  $e \ni j$ , iar în (3.45) și (3.46) doar la  $\sum_{e \ni i}$ .

**EXERCITIUL 34:**

- a) Ce grad are polinomul  $\Psi_i$ ?  
 b) Câte elemente contribuie, în cazul problemei unidimensionale de față, la coeficientul  $m_{ij}$ ? Dar la coeficientul  $m_{ii}$ ?

Să calculăm contribuția unui element finit  $e$  la coeficientul  $m_{ij}$  al matricei, contribuție notată cu  $m_{ij}^e$  în relația (3.44). Conform observațiilor de mai sus,  $m_{ij}^e$  e nenulă dacă elementul  $e$  conține nodurile  $i$  și  $j$ . În concluzie, pot apărea următoarele două situații (se va nota cu  $h$  dimensiunea<sup>7</sup> elementului finit):



Formulele (3.31) se particularizează ca:

$$\Psi_i = \frac{x-x_j}{x_i-x_j} = -\frac{x-x_j}{h}$$

$$\Psi_j = \frac{x-x_i}{x_j-x_i} = \frac{x-x_i}{h}$$

Derivata funcției de bază  $\Psi_i$  este:

$$\Psi_i' = -\frac{1}{h}$$

$$\mathcal{I}_1 = \int_e \Psi_j \Psi_i' d\Omega = \int_{x_i}^{x_j} -\frac{x-x_i}{h^2} dx = -\frac{1}{2}$$

$$\mathcal{I}_2 = \int_e \Psi_j \Psi_i d\Omega = \int_{x_i}^{x_j} -\frac{(x-x_i)(x-x_i)}{h^2} dx = \frac{h}{6}$$

$$\mathcal{I}_3 = \int_e \Psi_i d\Omega = \int_{x_i}^{x_j} -\frac{x-x_i}{h} dx = \frac{h}{2}$$

$$\mathcal{I}_1' = \int_e \Psi_i \Psi_i' d\Omega = \int_{x_i}^{x_j} \frac{x-x_j}{h^2} dx = -\frac{1}{2}$$

$$\mathcal{I}_2' = \int_e \Psi_i^2 d\Omega = \int_{x_i}^{x_j} \frac{(x-x_j)^2}{h^2} dx = \frac{h}{3}$$

Formulele (3.31) se particularizează ca:

$$\Psi_i = \frac{x-x_j}{x_i-x_j} = \frac{x-x_j}{h}$$

$$\Psi_j = \frac{x-x_i}{x_j-x_i} = -\frac{x-x_i}{h}$$

Derivata funcției de bază  $\Psi_i$  este:

$$\Psi_i' = \frac{1}{h}$$

$$\mathcal{I}_1 = \int_e \Psi_j \Psi_i' d\Omega = \int_{x_j}^{x_i} \frac{x-x_i}{h^2} dx = \frac{1}{2}$$

$$\mathcal{I}_2 = \int_e \Psi_j \Psi_i d\Omega = \int_{x_j}^{x_i} -\frac{(x-x_i)(x-x_j)}{h^2} dx = \frac{h}{6}$$

$$\mathcal{I}_3 = \int_e \Psi_i d\Omega = \int_{x_j}^{x_i} \frac{x-x_j}{h} dx = \frac{h}{2}$$

$$\mathcal{I}_1' = \int_e \Psi_i \Psi_i' d\Omega = \int_{x_j}^{x_i} \frac{x-x_j}{h^2} dx = \frac{1}{2}$$

$$\mathcal{I}_2' = \int_e \Psi_i^2 d\Omega = \int_{x_j}^{x_i} -\frac{(x-x_j)^2}{h^2} dx = \frac{h}{3}$$

**EXERCITIUL 35:**

- a) Demonstrați formulele de calcul pentru integralele  $\mathcal{I}_1$ ,  $\mathcal{I}_2$ ,  $\mathcal{I}_3$ ,  $\mathcal{I}_1'$ ,  $\mathcal{I}_2'$ .  
 Indicație: Folosiți interpretarea geometrică a integralei, pentru a calcula rapid o parte dintre aceste expresii.  
 b) Cum puteți reține ușor semnele care apar în formulele acestor integrale?

În concluzie, un element finit  $e = [x_i, x_j]$  (sau  $e = [x_j, x_i]$ ) contribuie la coeficienții liniei  $i$  din matricea sistemului cu valorile:

$$m_{ij}^e = -\mathcal{I}_1 + k\mathcal{I}_2 = \begin{cases} 1/2 + kh/6, & i, j \in e, \quad j > i \\ -1/2 + kh/6, & i, j \in e, \quad j < i \\ 0, & i \notin e \text{ sau } j \notin e \end{cases} \quad (3.47)$$

<sup>7</sup>în cazul de față, lungimea

$$m_{ii}^e = -\mathcal{I}_1' + k\mathcal{I}_2' = \begin{cases} 1/2 + kh/3, & i, j \in e, j > i \\ -1/2 + kh/3, & i, j \in e, j < i \\ 0, & i \notin e \text{ sau } j \notin e \end{cases} \quad (3.48)$$

$$p_i^e = C\mathcal{I}_3 = \begin{cases} Ch/2, & i \in e \\ 0, & i \notin e \end{cases} \quad (3.49)$$

În relațiile de mai sus,  $h = |x_i - x_j|$ .

Adunând contribuțiile tuturor elementelor  $e$  se obțin (conform relațiilor (3.44) – (3.46)) coeficienții sistemului de ecuații:

$$m_{ij} = \sum_e m_{ij}^e, \quad m_{ii} = \sum_e m_{ii}^e, \quad p_i = \sum_e p_i^e. \quad (3.50)$$

### Determinarea contribuțiilor frontierei

Să notăm cu  $\mathcal{E}$  expresia ultimului termen din relația (3.40):

$$\mathcal{E} = (T\Psi_i)|_a^b = T(b)\Psi_i(b) - T(a)\Psi_i(a). \quad (3.51)$$

În punctele de pe frontiera domeniului  $\Omega$  (plasate la capetele intervalului), singurele funcții de formă nenule sunt  $\Psi_1(a) = 1$  și  $\Psi_{n+1}(b) = 1$ . În consecință,  $\mathcal{I}_4$  va avea valori nenule doar pentru prima și ultima ecuație din sistem:

$$\mathcal{E} = \begin{cases} -T(a) = -T_1, & i = 1 \\ T(b) = T_{n+1}, & i = n + 1 \\ 0, & 2 \leq i \leq n \end{cases}. \quad (3.52)$$

În ce privește prima ecuație din sistem, valoarea  $T_1 = T(0)$  reprezintă condiția inițială a ecuației de rezolvat, care va fi impusă direct:

$$m_{11} = 1; \quad p_1 = T_1; \quad m_{1j} = 0 \text{ pentru } j \neq 1. \quad (3.53)$$

De aceea, singura parte a frontierei care va contribui la coeficienții sistemului este ultimul nod,  $x_{n+1} = b$ .

Cum valoarea  $T_{n+1}$  este necunoscută,  $\mathcal{E}$  va contribui la coeficientul diagonal  $m_{n+1,n+1}$  al liniei  $n + 1$  din sistemul de ecuații, cu valoarea contribuției de frontieră

$$m_{n+1,n+1}^f = 1, \quad (3.54)$$

iar coeficientul diagonal al ultimei linii are expresia

$$m_{n+1,n+1} = m_{n+1,n+1}^f + \sum_e m_{n+1,n+1}^e,$$

unde al doilea termen reprezintă suma contribuțiilor elementelor finite care conțin nodul  $n + 1$  (calculate cu relația (3.48) cazul  $j < i$ ).

**EXERCITIUL 36:**

Până acum, ați văzut care este contribuția unui element  $e$  la coeficienții **liniei**  $i$  din matricea sistemului de ecuații.

a) La câți coeficienți ai matricei (eventual plasați pe alte linii) contribuie elementul  $e$ ?

b) Care sunt expresiile acestor contribuții?

Indicație: Scrieți o relație asemănătoare cu (3.42), corespunzătoare liniei  $j$  din matrice.

**EXERCITIUL 37:**

Cum se modifică raționamentele de până acum dacă diviziunea intervalului  $[a, b]$  nu este uniformă?

**Observația 1**

Să considerăm un nod  $i$  **interior** domeniului  $\Omega = [a, b]$  (deci cu  $2 \leq i \leq n$ ). Să scriem ecuația (3.43) corespunzătoare acestui nod. Știm deja că o mare parte din coeficienții  $m_{ij}$  ai liniei  $i$  sunt nuli, mai precis relația (3.43) are forma:

$$m_{i,i-1}T_{i-1} + m_{ii}T_i + m_{i,i+1}T_{i+1} = p_i. \quad (3.55)$$

Pentru o rețea de discretizare echidistantă, lungimea  $h$  este aceeași pentru oricare element finit. Folosind relațiile (3.47) ÷ (3.49) și adunând conform (3.50) contribuțiile celor două elemente finite care contribuie la coeficienți, se obține:

$$\left(-\frac{1}{2} + \frac{kh}{6}\right)T_{i-1} + \left(-\frac{1}{2} + \frac{kh}{3} + \frac{1}{2} + \frac{kh}{3}\right)T_i + \left(\frac{1}{2} + \frac{kh}{6}\right)T_{i+1} = \frac{Ch}{2} + \frac{Ch}{2}, \quad (3.56)$$

sau

$$\left(-\frac{1}{2} + \frac{kh}{6}\right)T_{i-1} + 2\frac{kh}{3}T_i + \left(\frac{1}{2} + \frac{kh}{6}\right)T_{i+1} = Ch. \quad (3.57)$$

**EXERCITIUL 38:**

a) Prin raționamente similare, deduceți ecuația corespunzătoare nodului  $i = n + 1$ .

b) Ce structură va avea matricea  $M$  a sistemului de ecuații rezultat?

Împărțind relația (3.57) la lungimea  $h$  a intervalului și regroupând termenii, se obține:

$$\frac{T_{i+1} - T_{i-1}}{2h} + k\frac{T_{i-1} + 4T_i + T_{i+1}}{6} = C. \quad (3.58)$$

**Observația 2**

Aceeași formulă (3.58) se obține dacă se discretizează ecuația

$$T'(x_i) + kT(x_i) = C \quad (3.59)$$

în nodul  $x = x_i$ , astfel:

- se folosește formula de diferențe centrate (3.18) pentru discretizarea derivatei  $T'(x_i)$ ;
- se consideră  $T(x)$  interpolat printr-un polinom Lagrange  $l_2(x)$  (de gradul doi), pe diviziunea  $[x_{i-1} \ x_i \ x_{i+1}]$ ;
- se adoptă pentru  $T(x_i)$  valoarea medie a funcției  $l_2(x)$  pe intervalul  $[x_{i-1}, x_{i+1}]$ , dată de:

$$T(x_i) = l_{2_{mediu}}[x_{i-1}, x_{i+1}] = \frac{1}{x_{i+1} - x_{i-1}} \int_{x_{i-1}}^{x_{i+1}} l_2(x) dx.$$

- a) Demonstrați afirmația precedentă.  
 b) Se știe de la cursul de metode numerice că aproximarea integralei unei funcții  $T(x)$  prin integrala polinomului Lagrange de gradul II are ordinul de precizie  $O(h^2)$ :

**EXERCITIUL 39:**

$$\int_{x_{i-1}}^{x_{i+1}} T(x) dx = \int_{x_{i-1}}^{x_{i+1}} l_2(x) dx + O(h^2).$$

Folosind această relație și concluzia punctului a), estimați precizia schemei de elemente finite (3.57) (echivalentă cu (3.58)).

**3.4.4 Exerciții**

Sunt acum disponibile toate “cărămizile” necesare scrierii algoritmului care rezolvă problema 1 prin metoda elementelor finite.

Completați fișierul “problema1.sci” cu liniile:

```
getf('prep_mef.sci');
.
.
[M1,p1] = assembleaza_mef(k,Te,initial,deltat,n)
```

**EXERCITIUL 40:**

b) Scrieți un fișier “prep\_mef.sci” pentru definirea funcției `assembleaza_mef`. Aceasta va avea aceiași parametri ca și funcția `assembleaza`, dar asamblarea matricei se va face, de această dată, conform metodei elementelor finite.

Indicație: iată un pseudocod posibil:

```

funcție [M, p] = assembleaza_mef (real k,Te,initial,deltat, întreg n)
    ; crează o matrice M și un vector p cu elemente nule
    .....
    h = deltat
    C = k * Te
    pentru e = 1, n
        i = e,          ; nodurile elem. e
        j = e+1,
        ; contribuții la linia i
        M(i,j) = M(i,j) + 1/2 + k*h/6,
        M(i,i) = M(i,i) + 1/2 + k*h/3,
        p(i) = p(i) + C*h/2,
        ; contribuții la linia j
        .....
    ; contribuția frontierei la coeficientul diagonal al ultimei linii
    M(n+1,n+1) = M(n+1,n+1) + 1;
    ; impunerea condițiilor inițiale
    M(1,1) = 1;
    ..... ; anularea celorlalte elemente nenule ale liniei 1
    p(1) = initial;

retur

```

**Observație.** Algoritmul propus are structura clasică a unui algoritm bazat pe metoda elementelor finite:

- Se parcurg elementele finite  $e = 1, n$ 
  - Se identifică nodurile elementului finit curent  $(i, j)$ .
  - Se adaugă contribuția elementului finit curent la coeficienții matricei.

O alternativă (rar folosită în practică) ar fi următoarea:

- Se parcurg nodurile  $i = 1, n + 1$ 
  - Se identifică nodurile  $j$  și elementele  $e$  vecine nodului curent  $i$ .
  - Se calculează contribuția elementelor vecine la coeficienții  $m_{ij}$ .

Completați fișierul “problema1.sci” cu:

```
// ----- rezolvare prin m.e.f. -----
T1 = inv(M1)*p1
```

#### **EXERCITIUL 41:**

Verificați corectitudinea funcției `assembleaza_mef`: pentru o împărțire în 4 segmente rezultatul trebuie să fie:

```
T1 = [ 1, 0.801961, 0.6845933, 0.6102050,
      0.5688781 ] .
```

**EXERCITIUL 42:**

Cum este matricea  $M_1$ :

a) rară sau plină?

(comparați cu “previziunea” făcută la exercițiul 38)

b) simetrică sau nesimetrică?

c) singulară sau nesingulară?

d) bine sau prost condiționată?

**EXERCITIUL 43:**

Înlocuiți ultima linie din fișierul “problema1.sci” cu:

```
plot2d([t t t],[T T1 Tex],[3 2 -1], '121', ...
      'mdf@mef@exact');
```

Executați programul și comentați graficul obținut.

a) Calculați valorile erorii absolute în nodurile rețelei:

$$\begin{aligned} er(i) &= T(i) - Tex(i), \quad i = 1, n + 1 \\ er1(i) &= T_1(i) - Tex(i), \quad i = 1, n + 1 \end{aligned}$$

Reprezentați grafic aceste erori.

b) Calculați eroarea Cebîșev a soluțiilor aproximative  $T$  și  $T_1$  pe întregul interval de definiție. Această eroare este definită ca:

**EXERCITIUL 44:**

$$e = \max_{i=1, n+1} |er(i)|, \quad e1 = \max_{i=1, n+1} |er1(i)|.$$

c) Cum pot fi reduse erorile fără a modifica algoritmiile? Prin încercări succesive, determinați în ce condiții eroarea absolută Cebîșev scade la ambele metode sub  $\varepsilon = 0.01$ .

d) Comparați cele două metode (metoda diferențelor finite de ordinul I și metoda elementelor finite în varianta Galerkin cu funcții de bază liniare) din punctul de vedere al preciziei soluției.

**EXERCITIUL 45:**

a) Comparați cele două metode din punctul de vedere al timpului de calcul. Indicație: Pentru determinarea experimentală a timpului de calcul folosiți instrucțiunea `timer`.

b) Cum ar putea fi redus timpul de calcul la metoda elementelor finite?

**EXERCITIUL 46:**

- a) Poate fi evitată folosirea matricei  $M$  în cazul metodei elementelor finite? Justificați.
- b) Propuneți o variantă a algoritmului de asamblare a matricei  $M$  prin metoda elementelor finite, care să implementeze direct relația (3.57).

# Capitolul 4

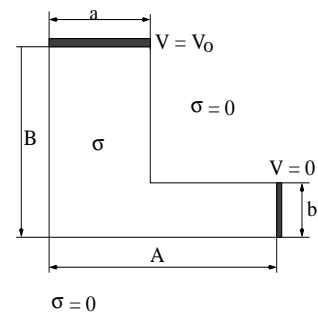
## Metoda volumelor finite

Scopul acestei teme este să vă călăuzească pas cu pas în implementarea unui program **Scilab** care să rezolve, prin metoda volumelor finite, o problemă plan-paralelă de regim electrocinetic staționar.

### 4.1 Enunțul problemei

Fie un conductor omogen, de conductivitate  $\sigma$ , situat într-un mediu perfect izolanț. Conductorul are o dimensiune după axa Oz mult mai lungă decât celelalte două. Figura 4.1 reprezintă o secțiune perpendiculară pe direcția dimensiunii foarte mari. Această secțiune are forma literei L, de dimensiuni  $a, b, A, B$ . Conductorul are două borne supraconductoare, una aflată la potențial  $V_0$  și cealaltă aflată la potențial nul. Se cer:

- Să se reprezinte liniile echipotențiale;
- Să se reprezinte spectrul liniilor de curent;
- Să se calculeze rezistența pe unitatea de lungime (în direcția axei Oz) a acestui rezistor.



**Fig. 4.1.** Conductor în formă de L

#### TEMA de laborator:

Să se scrie un program **Scilab** care să rezolve, folosind metoda volumelor finite, problema enunțată mai sus. Programul va permite introducerea de la consolă a datelor geometrice și de material, precum și a unor parametri care să permită utilizarea unor grile de discretizare mai dese sau mai rare, uniforme sau neuniforme.

Pașii necesari rezolvării acestei teme sunt schițați în cele ce urmează.



## 4.2 Formularea corectă a problemei

Înainte de orice, o problemă de câmp electromagnetic trebuie corect formulată, în conformitate cu teorema de unicitate.

Problema fiind de regim electrocinetic staționar, formularea se va face în  $V$  – potențial electrocinetic, unde  $\mathbf{E} = -\text{grad } V$ ,  $\mathbf{E}$  fiind intensitatea câmpului electric.

Ecuția de ordinul doi satisfăcută de potențialul electrocinetic este:

$$-\text{div}(\sigma \text{ grad } V) = 0 \quad (4.1)$$

unde  $V : \mathcal{D} \rightarrow R$  este potențialul definit pe domeniul bidimensional de forma literei L:  $\mathcal{D} = \text{MNPQRS}$  (figura 4.2).

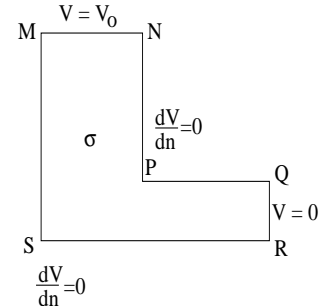


Fig. 4.2. Domeniul de calcul

Pentru buna formulare a problemei, trebuie impuse pentru potențial condițiile de frontieră. Frontierele supraconductoare (MN și QR) au potențial constant, și în consecință pe ele trebuie impuse condiții Dirichlet în concordanță cu valorile potențialului. Pe frontierele de lângă izolant (NPQ și RSM), trebuie impuse condiții Neumann nule<sup>1</sup>.

Condițiile de frontieră impuse potențialului sunt:

$$V = V_0 \quad \text{pe } \text{MN} \quad (\text{Dirichlet}) \quad (4.2)$$

$$V = 0 \quad \text{pe } \text{QR} \quad (\text{Dirichlet}) \quad (4.3)$$

$$\frac{\partial V}{\partial n} = 0 \quad \text{pe } \text{NPQ} \cup \text{RSM} \quad (\text{Neumann}) \quad (4.4)$$

## 4.3 Ideea metodei. Ecuatii finale.

Metoda volumelor finite este o metodă numerică și, în consecință, ea nu poate determina valorile potențialului în toate punctele (o infinitate) domeniului de calcul. Valorile potențialului sunt determinate (cu aproximație) într-un număr finit de puncte, situate în nodurile unei grile de discretizare. Dacă notăm cu  $n$  numărul de noduri ale grilei, aceasta înseamnă că vom calcula  $n$  valori ale potențialului (problema are  $n$  necunoscute).

La orice metodă numerică de calcul al câmpului trebuie precizate două lucruri foarte importante:

- Cum se aproximează funcția necunoscută în orice punct din domeniul de studiu în funcție de cele  $n$  necunoscute?
- Cum se aproximează ecuația satisfăcută de necunoscuta principală a problemei? Scrierea acestei ecuații aproximative în cele  $n$  noduri va genera un sistem de  $n$  ecuații cu  $n$  necunoscute.

<sup>1</sup>În izolant nu există curent de conducție, în consecință  $\mathbf{J} \cdot \mathbf{n} = 0$  la frontiera cu izolantul, deci  $-\sigma \text{ grad } V \cdot \mathbf{n} = 0$ , echivalent cu  $-\sigma \frac{\partial V}{\partial n} = 0$  pe acele frontiere.

În cele ce urmează vom reaminti raționamentul acestei metode pentru cazul regimului electrostatic, deoarece ecuația de ordinul doi asociată lui este mai generală decât cea asociată regimului electrocinetic staționar, pentru că are sens fizic forma ei neomogenă:

$$-\operatorname{div}(\varepsilon \operatorname{grad} V) = \rho \quad (4.5)$$

unde  $V : \mathcal{D} \rightarrow \mathbb{R}$ ,  $\varepsilon$  este permitivitatea mediului,  $\rho$  este densitatea de volum a sarcinii electrice. Condițiile de frontieră pot fi Dirichlet  $V(M) = f$ , unde  $f$  este cunoscută pentru o parte a frontierei domeniului, sau Neumann  $\varepsilon \partial V / \partial n = g$ , unde  $g$  este cunoscută pentru restul frontierei. Vom presupune că în domeniul de calcul nu există distribuții superficiale de sarcină.

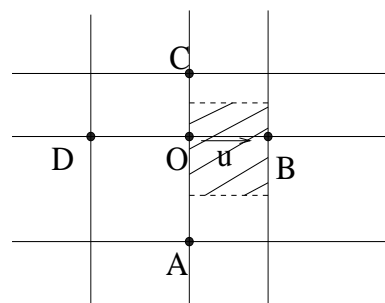
Cel mai simplu raționament se face pe o grilă de discretizare carteziană, tip potrivit pentru problema enunțată mai sus.

### 4.3.1 Aproximarea câmpului electric

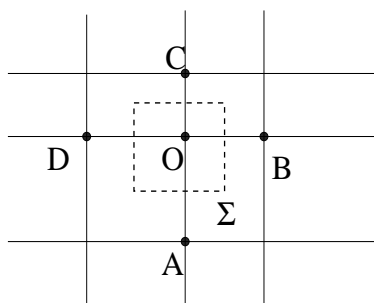
Pentru deducerea sistemului de ecuații, nu este nevoie decât să precizăm cum se aproximează intensitatea câmpului electric.

Pe o muchie a grilei de discretizare, intensitatea câmpului electric după direcția dată de muchia respectivă se consideră constantă și egală cu diferența de potențial dintre nodurile muchiei raportată la lungimea muchiei. Această valoare se atribuie și câte unei jumătăți din fiecare celulă ce conține muchia respectivă.

De exemplu, în figura 4.3, componenta lui  $\mathbf{E}$  după direcția  $\mathbf{u}$  este aproximată prin  $(V_0 - V_B) / \|OB\|$  în toată zona hașurată.



**Fig. 4.3.** Aproximarea câmpului

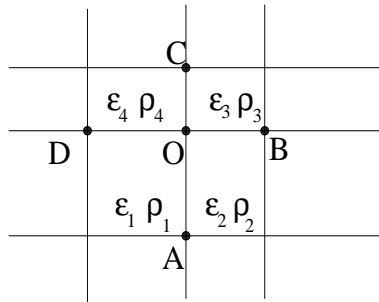


**Fig. 4.4.** Suprafața  $\Sigma$  pentru un nod interior

Tratarea nodurilor de pe frontieră se face în funcție de tipul condiției de frontieră și de forma frontierei. Pentru nodurile de pe frontiera Dirichlet, ecuația se înlocuiește cu

simpla atribuire a valorii potențialului nodului respectiv. Ecuația asociată nodurilor de pe frontiera Neumann are o formă specifică, în funcție de poziția nodului pe frontiera Neumann (pe o frontieră dreaptă sau într-un “colț”).

Ecuația asociată unui nod interior:



**Fig. 4.5.** Notății pentru un nod interior

Ecuația de ordin doi, discretizată, scrisă pentru punctul interior O (figura 4.5) este dată de relația (4.6) pentru regimul electrostatic. În regim electrocinetic staționar,  $\varepsilon$  se înlocuiește cu  $\sigma$  și  $\rho$  cu zero.

Observație: stabilirea grilei pentru metoda volumelor finite se face astfel încât putem presupune că în fiecare celulă a grilei materialul este omogen (permitivitatea, conductivitatea sunt constante), și, de asemenea, sursele de câmp (densitatea de volum a sarcinii) sunt constante în fiecare celulă.

În scrierea ecuației asociată nodului O intervin numai valorile necunoscute în nodurile A, B, C, D, proprietățile de material și sursele asociate celulelor înconjurătoare (notate cu indicii 1,2,3 și 4), precum și dimensiunile segmentelor grilei care concură în punctul O (segmentele  $\|OA\| = h_A$ ,  $\|OB\| = h_B$ ,  $\|OC\| = h_C$ ,  $\|OD\| = h_D$ ).

$$\begin{aligned}
 & V_O \left( \frac{\varepsilon_1 h_D + \varepsilon_2 h_B}{h_A} + \frac{\varepsilon_2 h_A + \varepsilon_3 h_C}{h_B} + \frac{\varepsilon_3 h_B + \varepsilon_4 h_D}{h_C} + \frac{\varepsilon_4 h_C + \varepsilon_1 h_A}{h_D} \right) - \\
 & - V_A \frac{\varepsilon_1 h_D + \varepsilon_2 h_B}{h_A} - V_B \frac{\varepsilon_2 h_A + \varepsilon_3 h_C}{h_B} - V_C \frac{\varepsilon_3 h_B + \varepsilon_4 h_D}{h_C} - V_D \frac{\varepsilon_4 h_C + \varepsilon_1 h_A}{h_D} = \\
 & = \rho_1 \frac{h_A h_D}{2} + \rho_2 \frac{h_B h_A}{2} + \rho_3 \frac{h_C h_B}{2} + \rho_4 \frac{h_D h_C}{2} \quad (4.6)
 \end{aligned}$$

În cazul problemei de electrocinetică, deoarece mediul este considerat omogen ( $\sigma$  constant în domeniul  $\mathcal{D}$ ), ecuația (4.6) se scrie mai simplu, ca în relația (4.7).

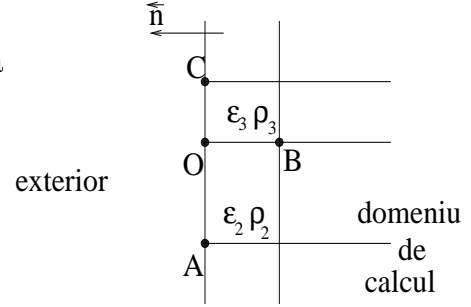
$$\boxed{
 \begin{aligned}
 & V_O \left( \frac{h_D + h_B}{h_A} + \frac{h_A + h_C}{h_B} + \frac{h_B + h_D}{h_C} + \frac{h_C + h_A}{h_D} \right) - \\
 & - V_A \frac{h_D + h_B}{h_A} - V_B \frac{h_A + h_C}{h_B} - V_C \frac{h_B + h_D}{h_C} - V_D \frac{h_C + h_A}{h_D} = 0 \quad (4.7)
 \end{aligned}
 }$$

**EXERCITIUL 1:** Deduceți relația (4.6).

Ecuația asociată unui nod pe frontieră dreaptă:

Ecuația de ordin doi, discretizată, scrisă pentru punctul pe frontieră  $O$  (figura 4.6) este dată de relația (4.8) pentru regimul electrostatic. Pe frontiera dreaptă  $AOC$ , vom nota  $g = -\varepsilon \frac{\partial V}{\partial n}$  (condiție de frontieră Neumann, care provine din cunoașterea componentei normale a inducției electrice).

În scrierea ecuației asociată nodului  $O$ , intervin numai valorile necunoscute în nodurile  $A$ ,  $B$ , și  $C$ , proprietățile de material și sursele asociate celulelor înconjurătoare (notate cu indicii 2 și 3), precum și dimensiunile segmentelor grilei care concură în punctul  $O$  (segmentele  $\|OA\|$ ,  $\|OB\|$  și  $\|OC\|$ ).



**Fig. 4.6.** Notății pentru un nod pe frontieră dreaptă

$$\begin{aligned} V_O \left( \frac{\varepsilon_2 h_B}{h_A} + \frac{\varepsilon_2 h_A + \varepsilon_3 h_C}{h_B} + \frac{\varepsilon_3 h_B}{h_C} \right) - V_A \frac{\varepsilon_2 h_B}{h_A} - V_B \frac{\varepsilon_2 h_A + \varepsilon_3 h_C}{h_B} - V_C \frac{\varepsilon_3 h_B}{h_C} = \\ = \rho_2 \frac{h_B h_A}{2} + \rho_3 \frac{h_C h_B}{2} - g_{OA} h_A - g_{OC} h_C \end{aligned} \quad (4.8)$$

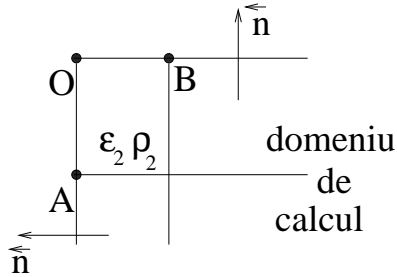
În relația (4.8),  $g_{OA}$  este condiția de frontieră Neumann asociată segmentului  $OA$ , iar  $g_{OC}$  este condiția de frontieră asociată segmentului  $OC$ .

În cazul problemei de electrocinetică în care condițiile de frontieră Neumann sunt nule, pentru un nod  $O$  situat pe frontiera Neumann dreaptă ecuația se scrie mai simplu, ca în relația (4.9).

$$V_O \left( \frac{h_B}{h_A} + \frac{h_A + h_C}{h_B} + \frac{h_B}{h_C} \right) - V_A \frac{h_B}{h_A} - V_B \frac{h_A + h_C}{h_B} - V_C \frac{h_B}{h_C} = 0 \quad (4.9)$$

Ecuatia asociată unui nod pe frontieră - colț exterior:

exterior



**Fig. 4.7.** Notății pentru un nod pe frontieră colț exterior

Ecuatia de ordin doi, discretizată, scrisă pentru punctul pe frontieră O (figura 4.7) este dată de relația (4.10) pentru regimul electrostatic. Pe frontiera AOB, vom nota  $g = -\varepsilon \frac{\partial V}{\partial n}$  (condiție de frontieră Neumann, care provine din cunoașterea componentei normale a inducției electrice).

În scrierea ecuației asociată nodului O intervin numai valorile necunoscutei în nodurile A și B, proprietatea de material și sursa asociată celulei vecine (notată cu indicele 2), precum și dimensiunile segmentelor grilei care concură în punctul O (segmentele OA și OB).

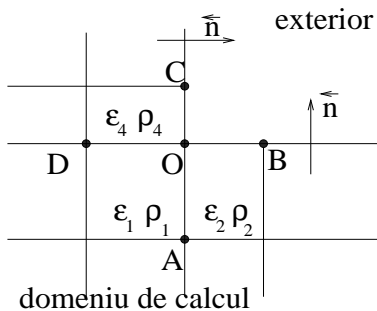
$$V_O \left( \frac{\varepsilon_2 h_B}{h_A} + \frac{\varepsilon_2 h_A}{h_B} \right) - V_A \frac{\varepsilon_2 h_B}{h_A} - V_B \frac{\varepsilon_2 h_A}{h_B} = \rho_2 \frac{h_B h_A}{2} - g_{OA} h_A - g_{OB} h_B \quad (4.10)$$

În relația (4.10),  $g_{OA}$  reprezintă condiția de frontieră asociată segmentului OA și  $g_{OB}$  cea asociată segmentului OB.

În cazul problemei de electrocinetică, pentru un nod O situat în colțul exterior al frontierei Neumann (punctul S din figura 4.2), știind că condițiile de frontieră Neumann sunt nule, ecuația se scrie mai simplu, ca în relația (4.11).

$$V_O \left( \frac{h_B}{h_A} + \frac{h_A}{h_B} \right) - V_A \frac{h_B}{h_A} - V_B \frac{h_A}{h_B} = 0 \quad (4.11)$$

**EXERCITIUL 2:** Deduceți relația (4.10).

Ecuatia asociată unui nod pe frontieră - colț interior:

**Fig. 4.8.** Notății pentru un nod pe frontieră colț interior

Ecuatia de ordin doi, discretizată, scrisă pentru punctul pe frontieră O (figura 4.8) este dată de relația (4.12) pentru regimul electrostatic. Pe frontiera BOC, vom nota  $g = -\varepsilon \frac{\partial V}{\partial n}$  (condiție de frontieră Neumann, care provine din cunoașterea componentei normale a inducției electrice).

În scrierea ecuației asociată nodului O, intervin numai valorile necunoscutei în nodurile A, B, C și D, proprietățile de material și sursele asociate celulelor vecine nodului O (notate cu indicii 1, 2 și 4), precum și dimensiunile segmentelor grilei care concură în punctul O (segmentele  $OA, OB, OC$  și  $OD$ ).

$$\begin{aligned}
 & V_O \left( \frac{\varepsilon_1 h_D + \varepsilon_2 h_B}{h_A} + \frac{\varepsilon_2 h_A}{h_B} + \frac{\varepsilon_4 h_D}{h_C} + \frac{\varepsilon_4 h_C + \varepsilon_1 h_A}{h_D} \right) - \\
 & -V_A \frac{\varepsilon_1 h_D + \varepsilon_2 h_B}{h_A} - V_B \frac{\varepsilon_2 h_A}{h_B} - V_C \frac{\varepsilon_4 h_D}{h_C} - V_D \frac{\varepsilon_4 h_C + \varepsilon_1 h_A}{h_D} = \\
 & = \rho_1 \frac{h_A h_D}{2} + \rho_2 \frac{h_B h_A}{2} + \rho_4 \frac{h_D h_C}{2} - g_{OB} h_B - g_{OC} h_C
 \end{aligned} \tag{4.12}$$

În cazul problemei de electrocinetică cu condiții de frontieră Neumann nule, pentru un nod O situat în colțul interior al frontierei Neumann (punctul P din figura 4.2) ecuația se scrie mai simplu, ca în relația (4.13).

$$\begin{aligned}
 & V_O \left( \frac{h_D + h_B}{h_A} + \frac{h_A}{h_B} + \frac{h_D}{h_C} + \frac{h_C + h_A}{h_D} \right) - \\
 & -V_A \frac{h_D + h_B}{h_A} - V_B \frac{h_A}{h_B} - V_C \frac{h_D}{h_C} - V_D \frac{h_C + h_A}{h_D} = 0 \tag{4.13}
 \end{aligned}$$

#### Pe scurt:

Domeniul de calcul se discretizează cu ajutorul unei grile cu  $n$  noduri. Pentru fiecare nod care nu se află pe o frontieră Dirichlet se va scrie o ecuație corespunzătoare (de tipul (4.7), (4.9), (4.11) sau (4.13)), iar pentru nodurile Dirichlet se impun valorile respective. Rezultă astfel un sistem de  $n$  ecuații cu  $n$  necunoscute, scris matriceal:

$$M \mathbf{x} = \mathbf{p}$$

## 4.4 Implementarea metodei în *Scilab*

Programul implementat va avea (ca orice program ce implementează o metodă numerică de rezolvare a unei probleme de câmp) trei părți importante:

- *Preprocesarea*: constă în construirea structurilor de date asociate problemei, a matricei coeficienților  $A$  și a vectorului termenilor liberi  $\mathbf{b}$ .
- *Rezolvarea*: constă în rezolvarea sistemului și aflarea vectorului necunoscut  $\mathbf{x}$ .
- *Postprocesarea*: constă în calculul mărimilor de interes.

În cele ce urmează, vom parcurge etapele scrierii unui astfel de program.

### 4.4.1 Preprocesarea

Următorul exercițiu sugerează faptul că un program trebuie să fie cât mai clar scris astfel încât să poată fi ușor înțeles și eventual depanat. Programul principal trebuie să reflecte pașii principali ai algoritmului. Toate detaliile se vor executa prin funcții care vor fi apelate din programul principal.

Prima funcție apelată de programul principal trebuie să permită introducerea în mod interactiv a datelor problemei, astfel încât acestea să poate fi modificate ușor de un utilizator al programului, fără să fie nevoie de modificarea codului sursă.

#### EXERCITIUL 3:

```

În directorul ~/modelare/tema4 scrieți un fișier
“main.sci” cu următorul conținut:

clear; // este bine ca aceasta comanda sa fie
        // prima linie din orice fisier
        // scris in Scilab

getf('citire_date.sci');
getf('grid.sci');
getf('mvf.sci');

disp('Metoda volumelor finite
      conductor in forma de L');

// ----- preprocesare -----

// citirea si validarea datelor problemei
[a,b,A,B,sigma,V0] = date();

// alegerea grilei
[x,y,NA,Na,Nb,NBb] = grid(a,b,A,B);

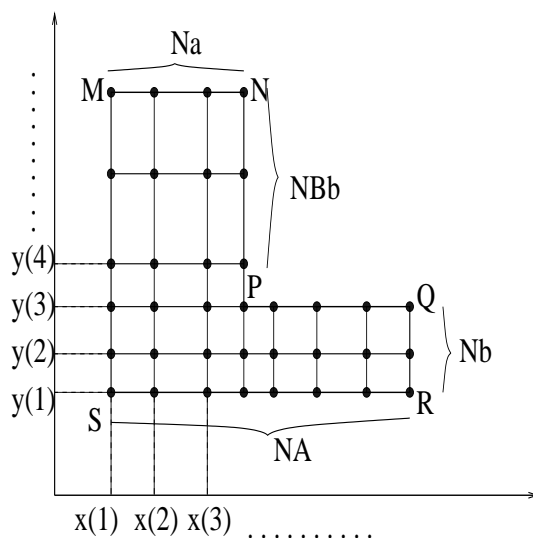
// asamblarea matricei coeficientilor M si
// asamblarea vectorului termenilor liberi p
[M, p] = assembleaza(x,y,sigma,V0,NA,Na,Nb,NBb);

```

A doua funcție apelată din main construiește doi vectori  $x$  și  $y$  având semnificația din figura 4.9. Vectorul  $x$  reprezintă vectorul absciselor. Valoarea  $x(1)$  poate fi aleasă zero, și atunci ultima componentă a vectorului trebuie să aibă valoarea  $A$ . De asemenea, printre componente trebuie să fie și valoarea  $a$ . Un raționament similar se face și pentru vectorul  $y$ . Funcția `grid` mai întoarce și alte numere utile:  $NA$  – numărul de noduri care se află pe segmentul  $RS$ ,  $Na$  – numărul de noduri care se află pe segmenul  $MN$ ,  $Nb$  – numărul de noduri care se află pe segmenul  $QR$  și  $NBb$  – numărul de noduri care se află pe segmenul  $NP$ , minus 1.

**EXERCITIUL 4:**

- a) Scrieți, într-un fișier `citire_date.sci` o funcție cu numele `date`, care să nu aibă nici un parametru de intrare, și care să întoarcă datele problemei ( $a, b, A, B, \sigma, V_0$ ). Această funcție va cere de la consola **Scilab** introducerea datelor și va face verificarea lor (nu va permite de exemplu introducerea unor valori  $a, b$  negative sau zero, și nu va permite introducerea unor valori  $A, B$  mai mici sau egale cu  $a$ , respectiv  $b$ ).
- b) Testați corectitudinea funcției astfel: în programul principal comentați liniile de sub apelul funcției `date`, și executați acest program cu comanda `exec`.



**Fig. 4.9.** Evidențierea vectorilor  $x$  și  $y$

**EXERCITIUL 5:**

- a) Scrieți, într-un fișier `grid.sci` o funcție cu numele `grid`, care să aibă drept parametri de intrare datele geometrice și care să întoarcă doi vectori  $x$  și  $y$  care reprezintă vectorii absciselor și ordonatelor care generează grila de discretizare (figura 4.9). Funcția va cere de la consola **Scilab** introducerea numărului de segmente în care este împărțit segmentul  $MN$ , numărul de segmente în care este împărțit segmentul  $QR$ , apoi  $NP$  și  $PQ$ . Într-o primă etapă, realizați o discretizare uniformă a tuturor acestor segmente, folosind instrucțiunea `linspace`.
- b) Testați corectitudinea funcției astfel: în programul principal ștergeți comentariul liniei corespunzătoare apelului funcției `grid` și executați programul cu comanda `exec`.



Urmează “miezul” algoritmului, asamblarea sistemului de ecuații în conformitate cu metoda volumelor finite. Vom nota cu  $M$  matricea coeficienților și cu  $p$  vectorul termenilor liberi. Nodurile grilei de discretizare le vom numerota de la stânga la dreapta și de jos în sus, așa cum se arată în figura 4.10.

Următorul pseudocod detaliază aproape complet modul în care trebuie definită funcția ce realizează asamblarea matricei coeficienților și a vectorului termenilor liberi.

**EXERCITIUL 6:** Verificați și completați pseudocodul funcției care realizează asamblarea matricei  $M$  și a vectorului  $p$ .

**EXERCITIUL 7:** Scrieți un fișier `mvf.sci` care să conțină definiția funcției asamblarea, precum și, eventual, alte funcții pe care aceasta le apelează.

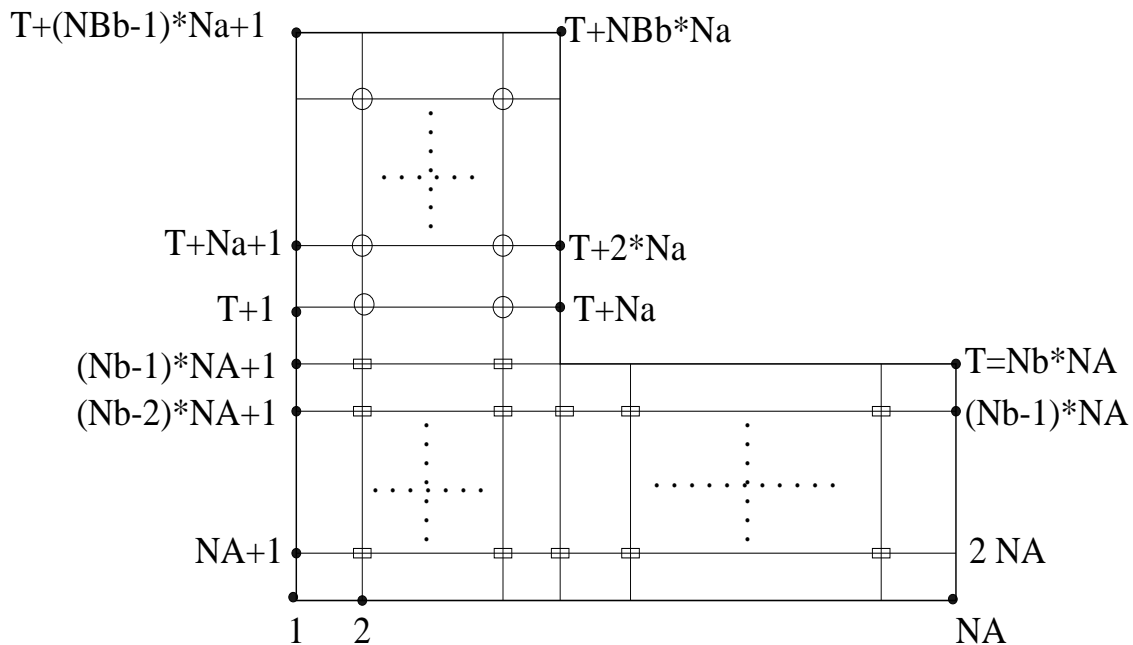


Fig. 4.10. Modul în care se face numerotarea nodurilor

**funcție** [**matrice**  $M$ , **vector**  $p$ ] = ; parametri de ieșire  
asambleaza(**vector**  $x$ , **vector**  $y$ , **real**  $\sigma$ ,  $V0$ ,  $NA$ ,  $Na$ ,  $Nb$ ,  $NBb$ )  
; tratarea nodurilor interioare marcate cu dreptunghi în figura 4.10  
**pentru**  $i = 1, Nb-2$   
    **pentru**  $j = i*NA+2, (i+1)*NA-1$  ;  $j$  este numărul nodului  
        **indice** $x = j - i*NA$   
        **indice** $y = i + 1$   
         $OA = y(\text{indice}y) - y(\text{indice}y-1)$   
         $OB = x(\text{indice}x+1) - x(\text{indice}x)$   
         $OC = y(\text{indice}y+1) - y(\text{indice}y)$

```

OD = x(indicex) - x(indicex-1)
;calculează linia j a matricei M conform relației (5.9)
.....
i = Nb - 1 ;rândul scurt
pentru j = i*NA+2, i*NA + Na - 1 ;j este numărul nodului
    indicex = j - i*NA
    indicey = i + 1
    OA = y(indicey) - y(indicey-1)
    OB = x(indicex+1) - x(indicex)
    OC = y(indicey+1) - y(indicey)
    OD = x(indicex) - x(indicex-1)
    ;calculează linia j a matricei M conform relației (5.9)
    .....
; tratarea nodurilor interioare marcate cu cerculeț în figura 4.10
T = Nb*NA
pentru i = 0, NBb-2
    pentru j = T + i*Na+2, T+(i+1)*Na-1 ;j este numărul nodului
        indicex = j - T - i*Na
        indicey = Nb + i + 1
        OA = y(indicey) - y(indicey-1)
        OB = x(indicex+1) - x(indicex)
        OC = y(indicey+1) - y(indicey)
        OD = x(indicex) - x(indicex-1)
        ;calculează linia j a matricei M conform relației (5.9)
        .....
;tratarea condițiilor de frontieră
;segmentul MN (Dirichlet, V = V0)
pentru i = 1, Na
    j = T + (NBb - 1)*Na + i ;j este indicele global al nodului
    ;anulează termenii nediagonali ai liniei j ai matricei M,
    ;în afară de termenul diagonal căruia i se atribuie valoarea 1
    .....
    ;atribuie valoarea V0 termenului j al vectorului p
    .....
;segmentul QR (Dirichlet, V = 0)
pentru i = 1, Nb
    j = i*NA ;j este indicele global al nodului
    ;anulează termenii nediagonali ai liniei j ai matricei M,
    ;în afară de termenul diagonal căruia i se atribuie valoarea 1
    .....
    ;atribuie valoarea zero termenului j al vectorului p
    .....

```

;segmentul NP (Neumann, zero)

**pentru**  $i = 1, NBb - 1$

$j = T + i * Na$  ;j este indicele global al nodului

indicex = Na

indicey = Nb + i

OA =  $y(\text{indicey}) - y(\text{indicey}-1)$

OB =  $x(\text{indicex}) - x(\text{indicex}-1)$

OC =  $y(\text{indicey}+1) - y(\text{indicey})$

;calculează linia j a matricei M conform relației (4.9)

;segmentul PQ (Neumann, zero)

**pentru**  $i = 1, NA - Na - 1$

$j = (Nb - 1) * NA + Na + i$  ;j este indicele global al nodului

indicex = Na + i

indicey = Nb

OA =  $x(\text{indicex}) - x(\text{indicex}-1)$

OB =  $y(\text{indicey}) - y(\text{indicey}-1)$

OC =  $x(\text{indicex}+1) - x(\text{indicex})$

;calculează linia j a matricei M conform relației (4.9)

;segmentul RS (Neumann, zero)

**pentru**  $i = 2, NA - 1$

$j = i$  ;j este indicele global al nodului

indicex = i

indicey = 1

OA =  $x(\text{indicex}) - x(\text{indicex}-1)$

OB =  $y(\text{indicey}+1) - y(\text{indicey})$

OC =  $x(\text{indicex}+1) - x(\text{indicex})$

;calculează linia j a matricei M conform relației (4.9)

;segmentul SM (Neumann, zero)

**pentru**  $i = 1, Nb - 1$

$j = i * NA + 1$  ;j este indicele global al nodului

indicex = 1

indicey = i + 1

OA =  $y(\text{indicey}) - y(\text{indicey}-1)$

OB =  $x(\text{indicex}+1) - x(\text{indicex})$

OC =  $y(\text{indicey}+1) - y(\text{indicey})$

;calculează linia j a matricei M conform relației (4.9)

**pentru**  $i = 0, NBb - 2$

$j = T + i * Na + 1$  ;j este indicele global al nodului

indicex = 1

indicey = Nb + i + 1

OA =  $y(\text{indicey}) - y(\text{indicey}-1)$

```

OB = x(indicex+1) - x(indicex)
OC = y(indicex+1) - y(indicex)
;calculează linia j a matricei M conform relației (4.9)
.....
;punctul P (Neumann, zero)
j = (Nb - 1)*NA + Na           ;j este indicele global al nodului
indicex = Na
indicey = Nb
OA = y(indicex) - y(indicex-1)
OB = x(indicex+1) - x(indicex)
OC = y(indicex+1) - y(indicex)
OD = x(indicex) - x(indicex-1)
;calculează linia j a matricei M conform relației (4.13)
.....
;punctul S (Neumann, zero)
j = 1           ;j este indicele global al nodului
indicex = 1
indicey = 1
OA = x(indicex+1) - x(indicex)
OB = y(indicex+1) - y(indicex)
;calculează linia j a matricei M conform relației (4.11)
.....

```

**EXERCITIUL 8:**

Vizualizați matricea M (evident, la consola **Scilab**). Ce proprietăți are această matrice?

- Este simetrică sau nesimetrică?
- Este singulară sau nesingulară?
- Este rară sau plină?
- Este bine sau prost condiționată? (folosiți comanda `cond`)
- Cât de mare este banda matricei? Ce determină forma și dimensiunile benzii matricei?
- Cum puteți folosi comanda `grayplot` pentru a vizualiza această matrice?

**EXERCITIUL 9:**

- Aflați (și descrieți cum ați procedat) care este numărul maxim de noduri pe care îl poate avea grila de discretizare.
- Sugerați îmbunătățiri ale pseudocodului propus.
- Sugerați alte modalități de a preprocesa această problemă.

## 4.4.2 Rezolvarea

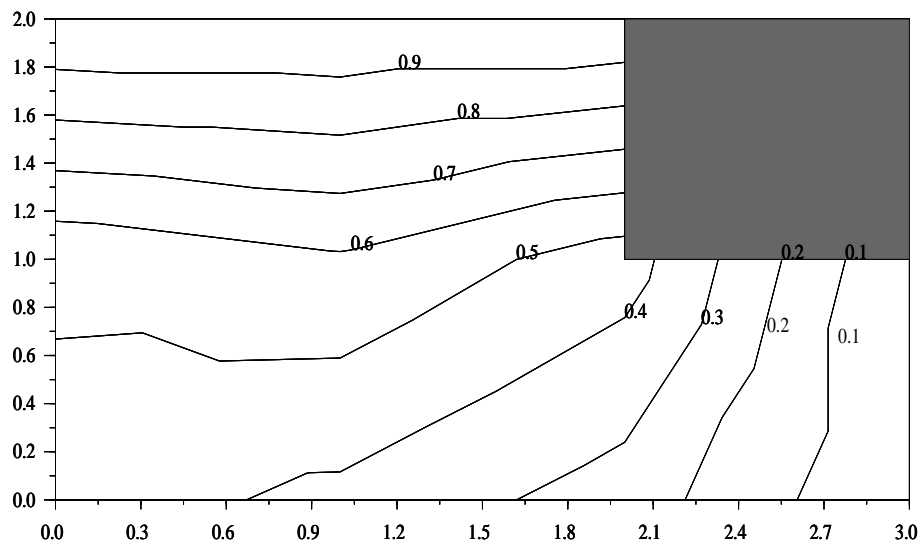
Rezolvarea sistemului de ecuații este extrem de simplă.

<p><b>EXERCITIUL 10:</b></p>	<p>Adăugați la fișierul “main.sci” următoarele rânduri:</p> <pre>// ----- rezolvare ----- // rezolvarea sistemului de ecuatii v = inv(M)*p  Cu ce alte instrucțiuni <i>Scilab</i> puteați rezolva sistemul?</pre>
------------------------------	---

## 4.4.3 Postprocesarea

Potențialul electric este necunoscuta principală a problemei (aflată direct din rezolvarea sistemului de ecuații).

Reprezentarea liniilor echipotențiale este ceva mai delicată pentru domeniul studiat, deoarece comanda `contour` reprezintă linii echipotențiale numai pe domenii dreptunghiulare.



**Fig. 4.11.** Linii echipotențiale pentru conductorul în formă de L.

O soluție este următoarea: se construiesc structuri de date pentru această comandă pentru un domeniu dreptunghiular de dimensiuni  $A$  și  $B$  și apoi se ignoră colțul fără semnificație. Această metodă a fost folosită pentru a trasa liniile echipotențiale din figura 4.11 (cazul  $a = 2$ ,  $A = 3$ ,  $b = 1$ ,  $B = 2$  și o rețea extrem de rară, cu  $x = [0 \ 1 \ 2 \ 3]$  și  $y = [0 \ 1 \ 2]$ ). Pentru acoperirea zonei care nu interesează a fost folosită comanda `xrects`.

Completați fișierul “main.sci” cu:

```
// ----- postprocesare -----  
exec('postproc.sci');
```

**EXERCITIUL 11:**

Scrieți, într-un fișier numit “postproc.sci” comenzile necesare trasării liniilor echipotențiale și “ascunderii” zonei care nu interesează. Studiați influența valorilor “fantomă” asupra alurii liniilor echipotențiale din zona de interes.

Calitatea unui algoritm este apreciată prin:

- acuratețea soluției obținute;
- ordinul de complexitate:
  - eficiența spațială (memoria necesară datelor);
  - eficiența temporală.

Eficiența spațială și temporală pot fi estimate teoretic prin numărarea operațiilor efectuate în algoritm. Necesarul de memorie și timpul de calcul se exprimă de obicei în funcție de parametri care determină modificarea numărului de operații din algoritm (în cazul problemei studiate, acest parametru este dimensiunea grilei de discretizare).

**EXERCITIUL 12:**

a) Estimați teoretic ordinul de complexitate al algoritmului în funcție de numărul de noduri ale grilei de discretizare.

b) Determinați experimental ordinul de complexitate. Pentru necesarul de memorie folosiți comanda `who`, iar pentru determinarea timpului de calcul folosiți instrucțiunea `timer`.

**EXERCITIUL 13:**

Rezolvați problema cu ajutorul metodei aproximării liniilor de câmp și comparați rezultatele cu cele numerice.

Calculul altor mărimi locale (câmp electric, densitate de curent) sau globale (curent, rezistență) presupun scrierea de funcții care au drept parametri de intrare grila de discretizare, proprietățile de material și valorile potențialului.

**EXERCITIUL 14:**

- a) Propuneți și implementați o metodă de calcul a câmpului electric. Reprezentați apoi spectrul câmpului electric.
- b) Propuneți și implementați o metodă de calcul a densității de curent. Reprezentați apoi spectrul densității de curent.
- c) Propuneți și implementați o metodă de calcul a curentului.
- d) Propuneți și implementați o metodă de calcul a rezistenței.
- e) Propuneți o metodă de reprezentare a liniilor câmpului electric.

# Capitolul 5

## Metoda diferențelor finite

Ideea metodei diferențelor finite și algoritmul ei au fost descrise în tema 3 (paragrafele 3.3.1 și 3.3.2). Detalierea ei a fost făcută pentru o problemă în care funcția necunoscută era definită pe un domeniu unidimensional (vezi paragraful 3.3.3).

Această temă urmărește detalierea metodei diferențelor finite în cazul în care domeniul de definiție al funcției este bidimensional. Pentru exemplificare vom considera problema conductorului de forma literei L, problemă enunțată și formulată în tema 4 (paragrafele 4.1 și 4.2).

### TEMA de laborator:

- a) Să se scrie un program *Scilab* care să rezolve, folosind metoda diferențelor finite, problema enunțată și formulată la tema 4.
- b) Să se compare rezultatele metodei diferențelor finite cu rezultatele metodei volumelor finite.

### 5.1 Metoda diferențelor finite în cazul bidimensional

Singura deosebire față de cazul unidimensional este aceea că grila de discretizare este una bidimensională, iar în loc de aproximarea derivatelor în raport cu o singură variabilă, acum sunt approximate derivate parțiale.

Vom considera din nou cazul mai general al regimului electrostatic, descris de ecuația de ordinul doi neomogenă:

$$-\operatorname{div}(\varepsilon \operatorname{grad} V) = \rho, \quad (5.1)$$

unde  $V : \mathcal{D} \rightarrow R$ ,  $\varepsilon$  este permitivitatea mediului,  $\rho$  este densitatea de volum a sarcinii electrice. Condițiile de frontieră pot fi Dirichlet  $V(M) = f$ , unde  $f$  este cunoscută pentru o parte a frontierei domeniului, sau Neumann  $-\varepsilon \partial V / \partial n = g$ , unde  $g$  este cunoscută pentru restul frontierei. Vom presupune că în domeniul de calcul nu există distribuții superficiale de sarcină.



Pentru a face această prezentare mai ușor de înțeles vom presupune mediul de calcul omogen din punct de vedere electric ( $\varepsilon$  constant în domeniul  $\mathcal{D}$ ), și atunci ecuația de gradul doi devine:

$$-\operatorname{div}(\operatorname{grad} V) = \frac{\rho}{\varepsilon}. \quad (5.2)$$

În cazul bidimensional  $V = V(x, y)$ , și relația (5.2) devine:

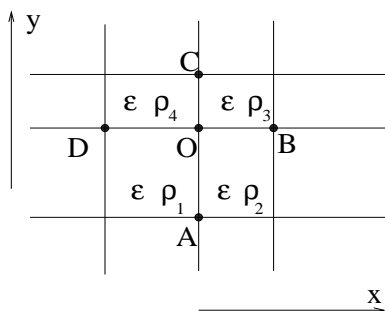
$$-\left(\frac{\partial^2 V}{\partial x^2} + \frac{\partial^2 V}{\partial y^2}\right) = \frac{\rho}{\varepsilon}, \quad (5.3)$$

unde  $\rho = \rho(x, y)$  iar  $\varepsilon$  este constantă în domeniu.

Deducerea ecuațiilor pentru o problemă de regim electrocinetic se face înlocuind  $\varepsilon$  cu  $\sigma$  și  $\rho$  cu 0.

Vom adopta și de data aceasta o grilă carteziană, pentru care raționamentul este cel mai simplu. O astfel de grilă este adaptată și geometriei problemei de rezolvat.

### 5.1.1 Aproximarea potențialului și a derivatelor sale



**Fig. 5.1.** Notății pentru un nod interior

Potențialul într-un punct este aproximat prin dezvoltarea sa în serie Taylor în jurul unor noduri ale grilei, din care sunt reținuți inclusiv termenii de ordin doi. Cu notațiile din figura 5.1 și  $\|OA\| = h_A$ ,  $\|OB\| = h_B$ ,  $\|OC\| = h_C$ ,  $\|OD\| = h_D$ , rezultă (pentru nodurile D, O, B situate în această ordine pe axa x):

$$V_B = V_O + h_B \frac{\partial V}{\partial x}(O) + \frac{h_B^2}{2} \frac{\partial^2 V}{\partial x^2}(O) + O(h_B^3)$$

$$V_D = V_O - h_D \frac{\partial V}{\partial x}(O) + \frac{h_D^2}{2} \frac{\partial^2 V}{\partial x^2}(O) + O(h_D^3)$$

Eliminând derivatele de ordinul doi din relațiile de mai sus este obținută aproximarea derivatei de ordinul unu a potențialului:

$$\frac{\partial V}{\partial x}(O) \approx \frac{h_D^2 V_B + (h_B^2 - h_D^2) V_O - h_B^2 V_D}{h_B h_D (h_B + h_D)} \quad (5.4)$$

Prin eliminarea derivatelor de ordinul întâi este obținută aproximația pentru derivata de ordinul doi:

$$\frac{\partial^2 V}{\partial x^2}(O) \approx \frac{h_D V_B - (h_B + h_D) V_O + h_B V_D}{\frac{1}{2} h_B h_D (h_B + h_D)} \quad (5.5)$$

Relații similare pot fi deduse și pentru derivatele parțiale după  $y$ :

$$\frac{\partial V}{\partial y}(O) \approx \frac{h_A^2 V_C + (h_C^2 - h_A^2) V_O - h_C^2 V_A}{h_C h_A (h_C + h_A)} \quad (5.6)$$

$$\frac{\partial^2 V}{\partial y^2}(O) \approx \frac{h_A V_C - (h_C + h_A) V_O + h_C V_A}{\frac{1}{2} h_C h_A (h_C + h_A)} \quad (5.7)$$

### 5.1.2 Aproximarea ecuațiilor

Forma discretizată (aproximativă) a ecuației potențialului este obținută aproximând prin diferențe finite ecuația (5.3). Forma specifică depinde de tipul nodului: interior sau pe frontiera Neumann. Nodurile de pe frontiera Dirichlet nu ridică probleme, ecuația asociată unui astfel de nod constând în simpla atribuire a valorii potențialului nodului respectiv.

Ecuația asociată unui nod interior:

Ecuația aproximativă pentru un nod interior se deduce înlocuind derivatele parțiale după  $x$  și după  $y$  cu formulele (5.5) și (5.7). Densitatea de sarcină în punctul O este aproximată cu media ei ponderată în acest punct:

$$\rho_O = \frac{\rho_1 h_A h_D + \rho_2 h_B h_A + \rho_3 h_C h_B + \rho_4 h_D h_C}{h_A h_D + h_B h_A + h_C h_B + h_D h_C} \quad (5.8)$$

Ecuația aproximativă a problemei electrostatice pentru un nod interior este atunci:

$$\begin{aligned} V_O \left( \frac{1}{h_B h_D} + \frac{1}{h_A h_C} \right) - V_A \frac{1}{h_A (h_A + h_C)} - V_B \frac{1}{h_B (h_B + h_D)} - \\ - V_C \frac{1}{h_C (h_A + h_C)} - V_D \frac{1}{h_D (h_B + h_D)} = \frac{\rho_O}{2\epsilon} \end{aligned} \quad (5.9)$$

În consecință, pentru problema de electrocinetică considerată, ecuația pentru un nod interior este:

$$\begin{aligned} V_O \left( \frac{1}{h_B h_D} + \frac{1}{h_A h_C} \right) - V_A \frac{1}{h_A (h_A + h_C)} - V_B \frac{1}{h_B (h_B + h_D)} - \\ - V_C \frac{1}{h_C (h_A + h_C)} - V_D \frac{1}{h_D (h_B + h_D)} = 0. \end{aligned} \quad (5.10)$$

#### **EXERCITIUL 1:**

Deduceți relația (5.9). Comparați această relație cu ecuația aproximativă pentru un nod interior obținută la metoda volumelor finite, particularizată pentru un mediu omogen.

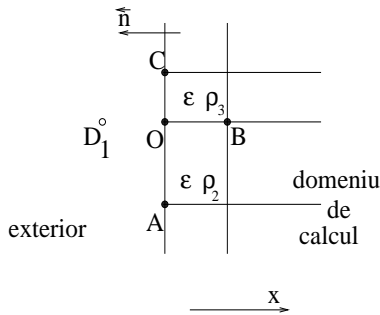
Ecuația asociată unui nod pe frontieră dreaptă:

În cazul unui punct pe frontieră O (figura 5.2), să notăm cu  $g = -\epsilon \frac{\partial V}{\partial n}$  condiția de frontieră Neumann și cu  $g_O$  valoarea ei medie în punctul O:

$$g_O = \frac{g_{OA} h_A + g_{OC} h_C}{h_A + h_C} \quad (5.11)$$

unde  $g_{OA}$  este condiția de frontieră asociată segmentului OA iar  $g_{OC}$  este condiția de frontieră asociată segmentului OC.

Pentru deducerea ecuației aproximative pentru punctul O, vom considera un nod “fantomă”  $D_1$ , situat în exterior, la o distanță  $h_D = \|OD_1\|$  de punctul O. Pentru simplitate putem considera  $h_D = h_B$ .



Din condiția de frontieră Neumann, deducem valoarea potențialului fantomă în funcție de valoarea acestei condiții. Pentru cazul din figură (normala exterioară în sens contrar axei x) rezultă:

$$\frac{\partial V}{\partial x} = \frac{g}{\varepsilon} \quad (5.12)$$

Scriind ecuația aproximativă (5.4) pentru condiția de frontieră Neumann, rezultă că:

**Fig. 5.2.** Notății pentru un nod pe frontieră dreaptă

$$V_{D_1} = V_B - 2h_B \frac{g_O}{\varepsilon} \quad (5.13)$$

Pentru nodul O se scrie acum o ecuație de tipul (5.9), ca pentru un nod interior și înlocuind expresia (5.13) rezultă ecuația finală (5.14):

$$V_O \left( \frac{1}{h_B^2} + \frac{1}{h_A h_C} \right) - V_A \frac{1}{h_A(h_A + h_C)} - V_B \frac{1}{h_B^2} - V_C \frac{1}{h_C(h_A + h_C)} = \frac{\rho_O}{2\varepsilon} - \frac{g_O}{\varepsilon h_B} \quad (5.14)$$

unde  $\rho_O$  este valoarea medie a densității de sarcină în punctul O:

$$\rho_O = \frac{\rho_2 h_A h_B + \rho_3 h_B h_C}{h_A h_B + h_B h_C}. \quad (5.15)$$

În cazul regimului electrocinetic, ecuația asociată unui nod pe o frontieră dreaptă, corespunzătoare unei condiții Neumann omogene (nule), este:

$$V_O \left( \frac{1}{h_B^2} + \frac{1}{h_A h_C} \right) - V_A \frac{1}{h_A(h_A + h_C)} - V_B \frac{1}{h_B^2} - V_C \frac{1}{h_C(h_A + h_C)} = 0. \quad (5.16)$$

### **EXERCITIUL 2:**

Deduceți relația (5.14). Comparați această relație cu ecuația aproximativă pentru un nod pe frontieră dreaptă obținută la metoda volumelor finite.

Ecuatia asociată unui nod pe frontieră - colț exterior:

Nodurile situate în colțuri reprezintă o problemă pentru metoda diferențelor finite. Aceasta deoarece pentru un colț nu poate fi definită direcția normalei<sup>1</sup>. Dacă notăm  $g = -\varepsilon \frac{\partial V}{\partial n}$ , și notăm cu  $g_{OA}$  valoarea lui  $g$  pe segmentul OA (fără capătul O) și cu  $g_{OB}$  valoarea lui  $g$  pe segmentul OB (fără capătul O), atunci vom presupune că în nodul O (figura 5.3) este cunoscută derivata după o direcție care rezultă din prelungirea în O a valorilor funcției  $g$ .

Pentru deducerea ecuației vom considera două noduri “fantomă”  $C_1$  și  $D_1$ , situate în exterior, la distanțele  $h_D = \|OD_1\|$  și  $h_C = \|OC_1\|$  de punctul O. Pentru simplitate putem considera  $h_D = h_B$  și  $h_C = h_A$ .

Din condiția de frontieră Neumann pe segmentul OB, scrisă în nodul O, putem deduce valoarea potențialului fantomă  $C_1$ :

$$V_{C_1} = V_A - 2h_A \frac{g_{OB}}{\varepsilon}. \quad (5.17)$$

condiția de frontieră Neumann pe segmentul OA, scrisă în nodul O, putem deduce valoarea potențialului fantomă  $D_1$ :

$$V_{D_1} = V_B - 2h_B \frac{g_{OA}}{\varepsilon}. \quad (5.18)$$

Pentru nodul O se scrie acum o ecuație de tipul (5.9), ca pentru un nod interior, și înlocuind expresiile (5.17) și (5.18) rezultă ecuația finală (5.19):

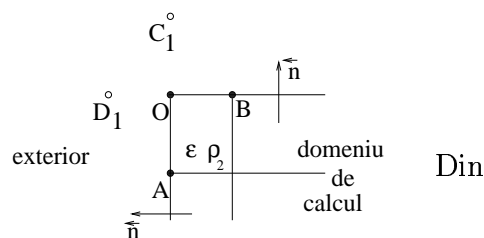
$$V_O \left( \frac{1}{h_A^2} + \frac{1}{h_B^2} \right) - V_A \frac{1}{h_A^2} - V_B \frac{1}{h_B^2} = \frac{\rho_2}{2\varepsilon} - \frac{g_{OB}}{\varepsilon h_A} - \frac{g_{OA}}{\varepsilon h_B} \quad (5.19)$$

În cazul regimului electrocinetic, ecuația asociată unui nod situat într-un colț exterior, pentru condiții Neumann nule, este:

$$V_O \left( \frac{1}{h_A^2} + \frac{1}{h_B^2} \right) - V_A \frac{1}{h_A^2} - V_B \frac{1}{h_B^2} = 0 \quad (5.20)$$

**EXERCITIUL 3:**

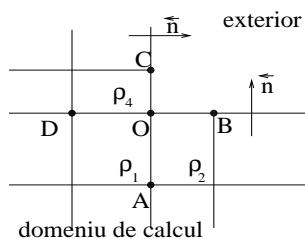
Deduceți relația (5.19). Comparați această relație cu ecuația aproximativă pentru un nod pe un colț exterior obținută la metoda volumelor finite.



**Fig. 5.3.** Notății pentru un nod pe frontieră colț exterior

<sup>1</sup>În realitate, colțul reprezintă o modelare brutală a realității. Trecerea de la o suprafață la alta se face prin racordări

Ecuția asociată unui nod pe frontieră - colț interior:



**Fig. 5.4.** Notății pentru un nod pe frontieră colț interior

Raționamentul pentru un astfel de colț este mai dificil de făcut în cazul metodei diferențelor finite deoarece punctele “fantomă” pe care am încerca să le folosim nu cad în domeniul exterior ci chiar pe frontiera domeniului de calcul și, în consecință, restricțiile asociate lor ar putea intra în contradicție cu restricții legate de forma ecuației pentru acele puncte.

De aceea, convenim ca direcția normalei în punctul O să fie dată de direcția diagonalei celulei care conține punctele O, D și A (figura 5.4). Ne vom imagina și acum două puncte “fantomă”  $B_1$  și  $C_1$  plasate astfel încât  $\|OB_1\| = \|OD\| = h_D$  și  $\|OC_1\| = \|OA\| = h_A$ . În scrierea relației derivatei pentru punctele A, O și  $C_1$  vom considera că nu toată condiția  $g_{OB}$  intervine ci numai o parte din ea, și anume  $g_{OB} \sin \alpha$ . Similar, în scrierea derivatei pentru punctele D, O și  $B_1$  vom considera că nu intervine toată condiția  $g_{OC}$  ci numai o parte din ea și anume  $g_{OC} \cos \alpha$ . Raționând similar ca în cazul colțului exterior, rezultă că:

$$V_{C_1} = V_A - 2h_A \frac{g_{OB} \sin \alpha}{\varepsilon} = V_A - 2h_A \frac{g_{OB}}{\varepsilon} \frac{h_A}{\sqrt{h_A^2 + h_D^2}} \quad (5.21)$$

$$V_{B_1} = V_D - 2h_D \frac{g_{OC} \cos \alpha}{\varepsilon} = V_D - 2h_D \frac{g_{OC}}{\varepsilon} \frac{h_D}{\sqrt{h_A^2 + h_D^2}} \quad (5.22)$$

Pentru punctele O, A,  $B_1$ ,  $C_1$ , D se scrie o relație de tipul celei pentru un nod interior și se substituie apoi expresiile de mai sus pentru nodurile “fantomă”, rezultând ecuația finală:

$$V_O \left( \frac{1}{h_A^2} + \frac{1}{h_D^2} \right) - V_A \frac{1}{h_A^2} - V_D \frac{1}{h_D^2} = \frac{\rho_O}{2\varepsilon} - \frac{g_{OB} + g_{OC}}{\varepsilon \sqrt{h_A^2 + h_D^2}} \quad (5.23)$$

unde pentru  $\rho_O$  se poate lua valoarea:

$$\rho_O = \frac{\rho_1 h_A h_D + \rho_2 h_B h_A + \rho_4 h_D h_C}{h_A h_D + h_B h_A + h_D h_C} \quad (5.24)$$

În cazul regimului electrocinetic, ecuația asociată unui nod situat într-un colț interior, pentru condiții Neumann nule, este:

$$V_O \left( \frac{1}{h_A^2} + \frac{1}{h_D^2} \right) - V_A \frac{1}{h_A^2} - V_D \frac{1}{h_D^2} = 0 \quad (5.25)$$

#### **EXERCITIUL 4:**

Deduceți relația (5.23). Comparați această relație cu ecuația aproximativă pentru un nod pe un colț interior obținută la metoda volumelor finite.

## 5.2 Implementarea metodei în *Scilab*

Din punct de vedere al implementării metodei în *Scilab*, există foarte multe asemănări cu metoda volumelor finite. Singurul lucru care se modifică este modul în care este asamblat sistemul de ecuații.

### EXERCITIUL 5:

Din directorul `~/modelare/tema4` copiați în directorul `~/modelare/tema5` fișierele: “main.sci”, “mvf.sci”, “citire\_date.sci”, “grid.sci”, “postprocesare.sci”.  
Modificați funcția `asambleaza` din fișierul “mvf.sci” astfel încât ea să asambleze sistemul de ecuații în conformitate cu metoda diferențelor finite.

### EXERCITIUL 6:

Comparați rezultatele numerice cu cele obținute la metoda volumelor finite. (Indicație: pentru a vizualiza simultan rezultatele numerice, puteți folosi în același timp două sesiuni *Scilab*.)

### EXERCITIUL 7:

- a) Deduceți ecuația metodei diferențelor finite pentru un punct interior în cazul în care mediul nu este omogen din punct de vedere electric (în regim electrostatic).
- b) Comparați metoda diferențelor finite cu metoda volumelor finite.



# Capitolul 6

## Metoda elementelor finite

Ideea metodei elementelor finite și algoritmul ei au fost descrise în tema 3 (paragraful 3.4). Detalierea ei a fost făcută pentru o problemă în care funcția necunoscută era definită pe un domeniu unidimensional (vezi paragrafele 3.4.3 și 3.4.4 de la tema 3).

Această temă urmărește detalierea metodei elementelor finite în cazul în care domeniul de definiție al funcției este bidimensional. Pentru exemplificare vom considera problema conductorului de forma literei L, problemă enunțată și formulată în tema 4 (paragrafele 4.1 și 4.2).

### TEMA de laborator:

- a) Să se scrie un program *Scilab* care să rezolve, folosind metoda elementelor finite, problema enunțată și formulată la tema 4.
- b) Să se compare rezultatele metodei elementelor finite cu rezultatele obținute prin metoda diferențelor finite și respectiv volumelor finite.

### 6.1 Metoda elementelor finite în cazul bidimensional

Vom considera din nou cazul mai general al regimului electrostatic, descris de ecuația de ordinul doi neomogenă:

$$-\operatorname{div}(\varepsilon \operatorname{grad} V) = \rho, \quad (6.1)$$

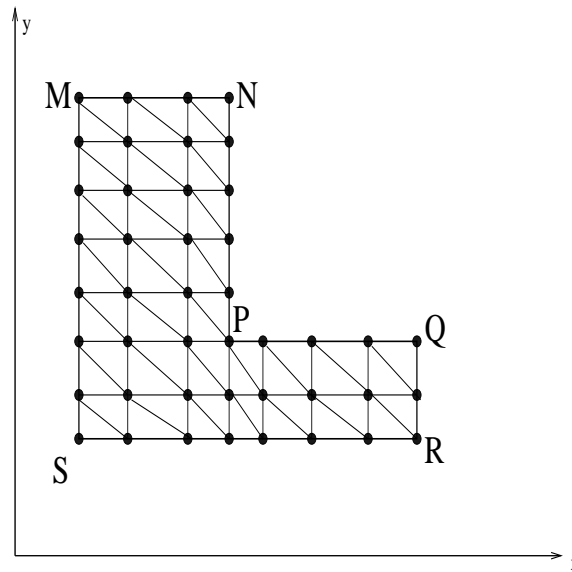
unde  $V : \Omega \rightarrow R$ ,  $\varepsilon$  este permitivitatea mediului,  $\rho$  este densitatea de volum a sarcinii electrice. Domeniul  $\Omega$  este în general neomogen din punct de vedere electric. Vom presupune că în domeniul de calcul nu există distribuții superficiale de sarcină.

Condițiile de frontieră sunt:

**Dirichlet:**  $V = f$ , unde  $f$  este cunoscută pe o parte  $\mathcal{F}_D$  a frontierei  $\partial\Omega$  a domeniului;

**Neumann:**  $-\varepsilon \partial V / \partial n = g$ , unde  $g$  este cunoscută pe restul frontierei,  $\mathcal{F}_N$ .





**Fig. 6.1.** Rețeaua de discretizare a domeniului problemei

Deducerea ecuațiilor pentru o problemă de regim electrocinetic se face înlocuind  $\varepsilon$  cu  $\sigma$  și  $\rho$  cu 0.

### Discretizarea domeniului problemei

În cazul domeniilor bidimensionale, rețeaua de discretizare este mai complicată decât în cazul unidimensional. Elementele finite (segmente în cazul unidimensional) vor fi de această dată triunghiuri. Acest tip de element finit este deseori folosit, deoarece permite discretizarea mai ușoară a domeniilor de formă complicată. Alternativ, se pot folosi elemente finite patrulatere.

În cazul problemei noastre, vom discretiza domeniul de calcul astfel: fiecare dreptunghi din grila de discretizare folosită la metoda diferențelor finite va fi împărțit în două triunghiuri, conform figurii 6.1.

În cazul domeniilor neomogene, se presupune că parametrul de material  $\varepsilon$  (respectiv  $\sigma$  în cazul electrocinetic) este constant în interiorul fiecărui element finit. Sursele ( $\rho$  în cazul electrostatic) se presupun de asemenea constante pe elemente.

#### 6.1.1 Aproximarea potențialului

În fiecare element triunghiular, potențialul electric va fi aproximat ca o combinație liniară de funcții de bază:

$$\tilde{V} = \sum_{j=1}^{nn} V_j \Psi_j, \quad (6.2)$$

unde atât  $\tilde{V}$  cât și  $\Psi_j$  sunt funcții de  $x$  și de  $y$ ,  $V_j$  sunt valorile potențialului în nodurile rețelei de discretizare, iar  $nn$  este numărul acestor noduri.

Cazul cel mai simplu este cel în care funcțiile de bază sunt liniare pe porțiuni. Ca și în cazul unidimensional (paragraful 3.4.1), funcțiile de bază  $\Psi_j$  vor fi polinoame Lagrange pe triunghi, cu valoarea 1 în nodul  $j$  și 0 în celelalte noduri.

### **EXERCITIUL 1:**

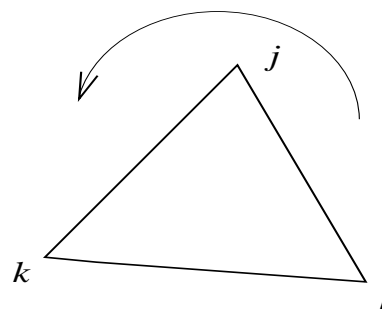
Relația (6.2) scrisă pentru un punct  $(x, y)$  fixat reprezintă o sumă de  $nn$  termeni. Care dintre aceștia sunt nenuli?

Pentru a determina funcțiile de bază liniare pe triunghi se procedează după cum urmează. Fie un element finit triunghiular având nodurile  $j, k, l$  ordonate în sens trigonometric (figura 6.2). Funcția de bază asociată nodului  $j$  variază liniar:

$$\Psi_j = a_j x + b_j y + c_j. \quad (6.3)$$

Această funcție ia valoarea 1 în nodul  $j$  și valoarea 0 în nodurile  $k$  și  $l$ :

$$\begin{aligned} \Psi_j(x_j, y_j) &= a_j x_j + b_j y_j + c_j = 1 \\ \Psi_j(x_k, y_k) &= a_j x_k + b_j y_k + c_j = 0 \\ \Psi_j(x_l, y_l) &= a_j x_l + b_j y_l + c_j = 0 \end{aligned} \quad (6.4)$$



**Fig. 6.2.** Notății pentru nodurile unui element triunghiular

Prin rezolvarea sistemului (6.4) rezultă valorile coeficienților necunoscuți:

$$\begin{aligned} a_j &= \frac{y_k - y_l}{\Delta} \\ b_j &= -\frac{x_k - x_l}{\Delta} \\ c_j &= \frac{x_k y_l - x_l y_k}{\Delta}, \end{aligned} \quad (6.5)$$

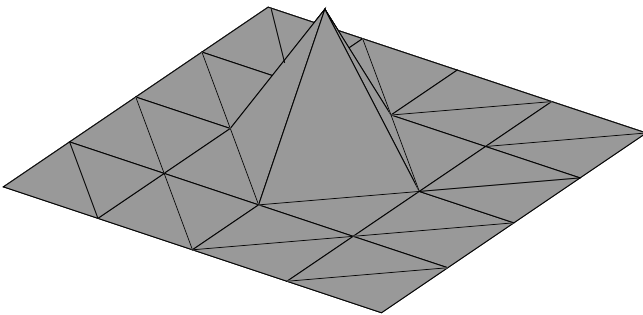
unde  $\Delta = 2A$  este determinantul matricei sistemului, egal cu de două ori aria triunghiului:

$$\Delta = \begin{vmatrix} x_j & y_j & 1 \\ x_k & y_k & 1 \\ x_l & y_l & 1 \end{vmatrix}. \quad (6.6)$$

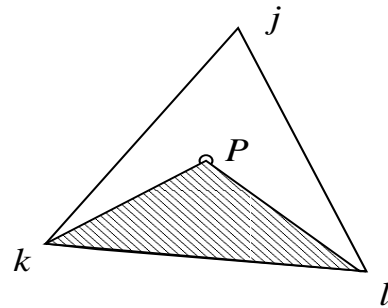
**EXERCITIUL 2:**

- a) Deduceți formulele (6.5).  
 b) Prin similitudine cu formulele (6.5), deduceți expresiile funcțiilor de bază  $\Psi_k$  și  $\Psi_l$  asociate nodurilor  $k$  și  $l$  ale elementului triunghiular.

Funcția de bază asociată nodului  $j$  este nenulă doar în triunghiurile care conțin nodul  $j$  și are alura din figura 6.3.



**Fig. 6.3.** Funcția de formă asociată unui nod



**Fig. 6.4.** În punctul  $P$ , funcția de bază asociată nodului  $j$  este raportul dintre ariile triunghiurilor  $Pkl$  și  $jkl$ .

Cele trei funcții de bază asociate nodurilor triunghiului se mai numesc și *coordonate areale*, deoarece în orice punct  $P$  din triunghi

$$\Psi_j(x, y) = \Psi_j(P) = \frac{A_{Pkl}}{A}, \quad (6.7)$$

cu  $A_{Pkl}$  aria triunghiului format din punctele  $P, k, l$  (figura 6.4).

Elementele finite pe care potențialul se aproximează folosind funcții de bază de tipul (6.3) se numesc elemente finite triunghiulare *liniare* sau *de ordinul 1*.

Arătați că în orice punct din triunghi avem:

$$\Psi_j(x, y) + \Psi_k(x, y) + \Psi_l(x, y) = 1.$$

**EXERCITIUL 3:**

Justificați de ce se spune că cele trei funcții de bază formează o *partiție a unității*.

Indicație: Pentru deducerea relației puteți folosi semnificația geometrică a funcțiilor  $\Psi_i$ .

## 6.1.2 Asamblarea sistemului de ecuații

### Forma sistemului de ecuații asociat metodei Galerkin

Reziduul ecuației (6.1) are forma  $R(V) = -\operatorname{div}(\varepsilon \operatorname{grad} V) - \rho$ . Folosirea metodei Galerkin (cu funcțiile pondere aceleași cu funcțiile de bază) conduce la:

$$\int_{\Omega} (-\operatorname{div}(\varepsilon \operatorname{grad} V) - \rho) \Psi_i \, d\Omega = 0, \quad i = 1, \dots, n, \quad (6.8)$$

în care  $n$  este numărul de potențiale necunoscute.

Observație. Numărul  $n$  al funcțiilor pondere este diferit de numărul total de noduri ale rețelei de discretizare  $nn$ : funcțiile pondere sunt asociate numai nodurilor al căror potențial este **necunoscut**, respectiv, nodurilor interioare și celor de pe frontiera Neumann. Se constată că funcțiile pondere astfel alese  $\Psi_i, i = 1, \dots, n$  satisfac  $\Psi_i = 0$  în nodurile frontierei Dirichlet.

Similar cu cazul unidimensional (tema 3, paragraful 3.4.3), o etapă esențială o constituie aplicarea *formulei de integrare prin părți* pentru transformarea primului termen al integralei. În cazul integralelor multiple (în cazul de față, bidimensionale), formula de integrare prin părți este bazată pe formula Gauss–Ostrogradski:

$$\int_{\Omega} \operatorname{div} \mathbf{G} \, d\Omega = \oint_{\mathcal{F}=\partial\Omega} \mathbf{G} \cdot \mathbf{n} \, d\mathcal{F}. \quad (6.9)$$

În cazul problemei noastre  $\mathbf{G} = \varepsilon \operatorname{grad} V \Psi_i$ , iar formula de integrare prin părți devine

$$\int_{\Omega} -\operatorname{div}(\varepsilon \operatorname{grad} V) \Psi_i \, d\Omega = \int_{\Omega} \varepsilon \operatorname{grad} V \cdot \operatorname{grad} \Psi_i \, d\Omega - \oint_{\partial\Omega} \varepsilon \Psi_i \operatorname{grad} V \cdot \mathbf{n} \, d\mathcal{F}, \quad (6.10)$$

<b>EXERCITIUL 4:</b>	Deduceți formula (6.10). Indicație: Notați $\mathbf{F} = \varepsilon \operatorname{grad} V$ , $U = \Psi_i$ , $\mathbf{G} = U\mathbf{F}$ . Folosiți, în deducerea relației, formula pentru $\operatorname{div}(U\mathbf{F})$ .
----------------------	---

Cu folosirea relației (6.10), ecuația (6.8) devine

$$\int_{\Omega} \varepsilon \operatorname{grad} V \cdot \operatorname{grad} \Psi_i \, d\Omega = \int_{\Omega} \rho \Psi_i \, d\Omega + \oint_{\partial\Omega} \varepsilon \Psi_i \operatorname{grad} V \cdot \mathbf{n} \, d\mathcal{F}, \quad (6.11)$$

sau, folosind aproximarea potențialului  $V$  prin relația (6.2):

$$\int_{\Omega} \varepsilon \operatorname{grad} \left( \sum_{j=1}^{nn} V_j \Psi_j \right) \cdot \operatorname{grad} \Psi_i \, d\Omega = \int_{\Omega} \rho \Psi_i \, d\Omega + \oint_{\partial\Omega} \varepsilon \Psi_i \operatorname{grad} V \cdot \mathbf{n} \, d\mathcal{F}. \quad (6.12)$$

Valorile  $V_j$  nu depind de coordonatele spațiale  $x$  și  $y$ , deci pot fi scoase în afara integralei:

$$\sum_{j=1}^{nn} V_j \int_{\Omega} \varepsilon \operatorname{grad} \Psi_i \cdot \operatorname{grad} \Psi_j \, d\Omega = \int_{\Omega} \rho \Psi_i \, d\Omega + \oint_{\partial\Omega} \varepsilon \Psi_i \operatorname{grad} V \cdot \mathbf{n} \, d\mathcal{F}, \quad i = 1, \dots, n. \quad (6.13)$$

Relațiile (6.13) scrise pentru  $i = 1, \dots, n$  reprezintă un sistem de ecuații algebrice liniare de forma:

$$\sum_{j=1}^{nn} V_j m_{ij} = p_i, \quad i = 1, \dots, n. \quad (6.14)$$

Deși suma se extinde pentru  $j = 1, \dots, nn$ , cu  $nn > n$ , doar un număr de  $n$  potențiale  $V_j$  sunt necunoscute.

Integralele pe domeniul  $\Omega$  al problemei se pot scrie ca sume de integrale pe elementele finite, în consecință coeficienții matricei sistemului,  $m_{ij}$ , precum și prima integrală din membrul drept se pot obține însumând contribuțiile elementelor finite. În plus, la termenii liberi va mai exista o contribuție datorată integralei pe frontiera  $\partial\Omega$ .

### Determinarea contribuției elementelor finite

Comparând relațiile (6.13) și (6.14), se constată că un coeficient  $m_{ij}$  al matricei sistemului este dat de expresia:

$$m_{ij} = \int_{\Omega} \varepsilon \operatorname{grad} \Psi_i \cdot \operatorname{grad} \Psi_j \, d\Omega = \sum_{e=1}^{ne} \int_e \varepsilon \operatorname{grad} \Psi_i \cdot \operatorname{grad} \Psi_j \, d\Omega = \sum_{e=1}^{ne} m_{ij}^e, \quad (6.15)$$

în care s-a notat cu  $ne$  numărul de elemente finite în care a fost divizat domeniul problemei. Similar cu cazul unidimensional, un element finit  $e$  va contribui la coeficientul  $m_{ij}$  numai dacă nodurile  $i$  și  $j$  aparțin elementului finit  $e$ .

Contribuția unui element finit la coeficienții matricei se calculează astfel:

$$m_{ij}^e = \int_e \varepsilon \operatorname{grad} \Psi_i \cdot \operatorname{grad} \Psi_j \, d\Omega = \begin{cases} \varepsilon(a_i a_j + b_i b_j)A, & i, j \in e; \quad j \neq i; \\ \varepsilon(a_i^2 + b_i^2)A, & i, j \in e; \quad j = i; \\ 0, & i, j \notin e. \end{cases} \quad (6.16)$$

În relațiile (6.16)  $A$  este aria elementului finit  $e$ .

#### **EXERCITIUL 5:**

- a) Deduceți relațiile (6.16).  
b) La care coeficienți ai sistemului contribuie un element finit triunghiular  $e = \{i, j, k\}$ ?

Un element finit contribuie și la termenul liber  $p_i$  dacă nodul  $i$  aparține elementului. Comparând relațiile (6.13) și (6.14), se constată că partea din coeficientul  $p_i$  al termenului liber datorată integralei pe elementele finite este dată de expresia:

$$p_i^e = \int_e \rho \Psi_i \, d\Omega = \begin{cases} \frac{\rho A}{3}, & i \in e \\ 0, & i \notin e. \end{cases} \quad (6.17)$$

**EXERCITIUL 6:**

Deduceți relația (6.17).

Indicație: Puteți folosi interpretarea geometrică a integralei.

**EXERCITIUL 7:**

O binecunoscută formulă de integrare pe triunghiul  $e = \{i, j, k\}$  a coordonatelor areale (funcțiilor  $\Psi_i$ ) este *formula Holland-Bell*:

$$\int_e \Psi_i^m \Psi_j^n \Psi_k^p d\Omega = 2A \frac{m!n!p!}{(m+n+p+2)!}. \quad (6.18)$$

a) Verificați valabilitatea formulei, în cazul integralei calculate la exercițiul 6.

b) Calculați integralele:  $\int_e \Psi_i^2 d\Omega$ ,  $\int_e \Psi_i^2 \Psi_j d\Omega$ ,  $\int_e \Psi_i \Psi_j^2 d\Omega$ .

### Determinarea contribuției frontierei

Cum domeniul  $\Omega$  este discretizat în elemente finite triunghiulare, frontiera sa va fi aproximată prin segmente de dreaptă. În figura 6.5 este reprezentat un element finit vecin frontierei, segmentul prin care este aproximată frontiera, precum și sensurile de referință pentru normala  $\mathbf{n}$  la segmentul de frontieră, versorul tangent  $\mathbf{t}$  și elementul de linie  $d\mathbf{s}$ .

### Aproximarea condițiilor de frontieră.

Odată cu discretizarea domeniului și a ecuației satisfăcute de potențial, este necesară și discretizarea (aproximarea) condițiilor de frontieră, după cum urmează.

Deoarece potențialul  $V$  a fost presupus liniar pe fiecare element finit, el va avea variație liniară și pe direcțiile perpendiculare pe segmentele prin care este aproximată frontiera. În consecință,  $\partial V / \partial n$  va fi constant pe orice segment cu condiție de frontieră Neumann. Funcția  $g$  reprezentând condiția de frontieră **Neumann** va fi considerată, prin urmare, ca având câte o valoare constantă pe fiecare din segmentele de dreaptă care aproximează frontiera.

Discretizarea funcției  $f$ , reprezentând condiția de frontieră **Dirichlet**, va fi făcută prin considerarea unui set finit de valori ale acesteia,  $V_i = f(x_i, y_i)$  în nodurile  $i$  aparținând

frontierei. (Între aceste noduri, variația potențialului este liniară.)

**EXERCITIUL 8:**

Pentru ce clasă de funcții  $f$  discretizarea de mai sus nu introduce nici o aproximare?

**Tratarea condițiilor de frontieră Neumann.**

Contribuția frontierei la termenul liber este reprezentată de cea de a doua integrală din membrul drept al relației (6.13):

$$\mathcal{I} = \oint_{\mathcal{F}=\partial\Omega} \varepsilon \Psi_i \text{grad } V \cdot \mathbf{n} \, d\mathcal{F}. \quad (6.19)$$

Având în vedere partiționarea frontierei  $\partial\Omega$  în cele două părți  $\mathcal{F}_D$  (pe care este impusă condiția Dirichlet) și  $\mathcal{F}_N$  (pe care este impusă condiția Neumann), integrala anterioară poate fi scrisă ca o sumă de două integrale:

$$\begin{aligned} \mathcal{I} = \mathcal{I}_D + \mathcal{I}_N &= \int_{\mathcal{F}_D} \varepsilon \Psi_i \text{grad } V \cdot \mathbf{n} \, d\mathcal{F} \\ &+ \int_{\mathcal{F}_N} \varepsilon \Psi_i \text{grad } V \cdot \mathbf{n} \, d\mathcal{F}. \end{aligned} \quad (6.20)$$

Conform observațiilor referitoare la relația (6.8), pe frontiera Dirichlet  $\mathcal{F}_D$  funcțiile pondere satisfac  $\Psi_i = 0$ , în consecință prima integrală,  $\mathcal{I}_D$ , este nulă.

Pe porțiunea  $\mathcal{F}_N$  a frontierei se cunoaște

$$g = -\varepsilon \frac{\partial V}{\partial n}.$$

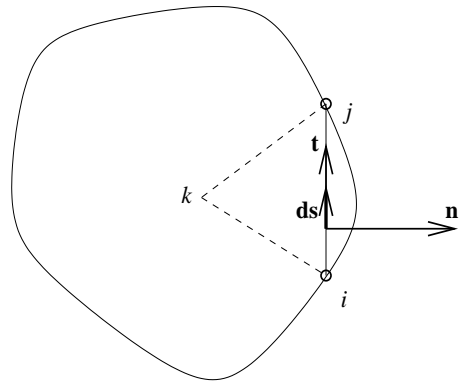
Integrala  $\mathcal{I}_N$  se scrie:

$$\mathcal{I}_N = \int_{\mathcal{F}_N} \Psi_i \varepsilon \text{grad } V \cdot \mathbf{n} \, d\mathcal{F} = \int_{\mathcal{F}_N} \Psi_i \varepsilon \frac{\partial V}{\partial n} \, d\mathcal{F} = - \int_{\mathcal{F}_N} \Psi_i g \, d\mathcal{F}. \quad (6.21)$$

Integrala  $\mathcal{I}_N$  este nenulă numai dacă  $i$  este un nod de pe frontieră, deci la ea vor contribui toate elementele care au o latură  $[i j]$  pe frontieră. Să notăm cu  $l$  o astfel de latură.

Integrala  $\mathcal{I}_N$  se scrie ca o sumă a contribuțiilor laturilor de pe frontiera Neumann:

$$\mathcal{I}_N = \sum_l \mathcal{I}_N^e = \sum_l \left( - \int_i^j \Psi_i g \, ds \right). \quad (6.22)$$



**Fig. 6.5.** Element triunghiular vecin frontierei

Latura de frontieră  $l$  cu nodurile  $i$  și  $j$  va contribui deci la termenul liber  $p_i$  cu valoarea:

$$p_i^l = - \int_i^j \Psi_i g \, ds = -g \int_i^j \Psi_i \, ds = -\frac{gh}{2}, \quad (6.23)$$

unde  $h$  este lungimea segmentului  $[i \ j]$  și s-a ținut cont de faptul că  $g$  este constant pe segment.

### **EXERCITIUL 9:**

- a) Demonstrați relația (6.23).  
 b) Ce expresie are  $p_i^l$  dacă  $i$  este nodul **final** al laturii?  
 c) La care termeni liberi contribuie o latură  $[i \ j]$  plasată pe frontiera Neumann?

După cum se constată, în cazul general (când  $g \neq 0$ ), formularea Galerkin include în mod implicit condițiile de frontieră Neumann. De aceea, condițiile de frontieră Neumann se numesc condiții de frontieră *naturale*.

Observație: Contribuțiile de tip (6.23) sunt zero în cazul condițiilor de frontieră Neumann omogene  $g = 0$ .

### **Tratarea condițiilor de frontieră Dirichlet.**

Se poate demonstra că sistemul de ecuații (6.14), ai cărui coeficienți sunt complet determinați de relațiile (6.15)— (6.17) și (6.23), corespunde discretizării problemei (6.1), cu condițiile de frontieră Neumann  $-\varepsilon \partial V / \partial n = g$  pe  $\mathcal{F}_N$  și cu condiții Dirichlet **omogene**  $V = 0$  pe  $\mathcal{F}_D$ .

Impunerea unor condiții de frontieră Dirichlet nenule,  $V = f$  pe  $\mathcal{F}_D$  se poate face în mod simplu prin scrierea unui număr suplimentar de ecuații, de forma

$$1 \cdot V_i = f_i, \quad i = n + 1, \dots, nn, \quad (6.24)$$

deci cu  $m_{ii} = 1$ ,  $m_{ij} = 0$ ,  $j \neq i$ ,  $p_i = f_i$ .

**Observația 1.** Această tehnică are două dezavantaje: mărirea dimensiunii sistemului și distrugerea simetriei matricei  $M$ , în schimb, algoritmul de generare a sistemului de ecuații rezultă mai simplu. Alternativa care nu are aceste dezavantaje dar complică algoritmul metodei este de a identifica nodurile de potențial cunoscut în relația (6.14), contribuția lor fiind trecută în membrul drept:

$$\sum_{j=1}^n V_j m_{ij} = p_i - \sum_{j=n+1}^{nn} V_j m_{ij}, \quad i = 1, \dots, n. \quad (6.25)$$

**Observația 2.** Condițiile de frontieră Dirichlet nu intervin în formularea Galerkin ci trebuie impuse separat, în mod explicit. Din acest motiv, ele se numesc condiții de frontieră *esențiale*.



## 6.2 Implementarea metodei în *Scilab*

Pentru problema considerată, implementarea metodei elementelor finite se poate face similar cu propusă în temele anterioare pentru metoda volumelor finite sau diferențelor finite (evident, cu alt mod de calcul al coeficienților sistemului de ecuații). Totuși, se va prefera implementarea ei într-o formă mai compactă, care se aseamănă cu implementările metodei în programele performante de calcul.

Din directorul `~/modelare/tema4` copiați în directorul `~/modelare/tema6` fișierele: “main.sci”, “citire\_date.sci”, “grid.sci”, “postprocesare.sci”. Modificați fișierul “main.sci” astfel încât el să aibă conținutul:

```
clear;

getf('citire_date.sci'); getf('grid.sci');
getf('coord_nod.sci'); getf('gen_elem.sci');
getf('impune_cf.sci'); getf('mef.sci');

disp('Metoda elementelor finite
      conductor in forma de L');

// ----- preprocesare -----
// citirea si validarea datelor problemei
[a,b,A,B,sigma,V0] = date();

// alegerea grilei
[x,y,NA,Na,Nb,NBb] = grid(a,b,A,B);

// generarea rețelei de discretizare:
// coordonate noduri, elemente finite
[nn,xn,yn] = coord_nod(NA,Na,Nb,NBb, x,y);
[ne,elem,ct,sursa] = gen_elem(NA,Na,Nb,NBb,sigma);

// generarea listei de conditii de frontiera
[ncf, cf] = impune_cf(NA,Na,Nb,NBb, V0, 0);

// asamblarea matricei coeficientilor M
// si a vectorului termenilor liberi p
[M,p]=asambleaza(nn,ne,ncf,xn,yn,elem,ct,sursa,cf);

// ----- rezolvare -----
v = inv(M)*p

// ----- postprocesare -----
exec('postprocesare.sci');
```

### EXERCITIUL 10:

Fișierele `citire_date.sci`, `grid.sci` și `postprocesare.sci` sunt identice cu cele folosite în metoda volumelor finite. Se vor crea fișiere noi care vor conține funcții pentru: generarea listei de elemente, generarea listei de coordonate ale nodurilor, impunerea condițiilor de frontieră.

Funcția `asambleaza`, utilizată în generarea automată a sistemului de ecuații, are forma specifică metodei elementelor finite. Ea va fi definită în fișierul “`mef.sci`”.

### 6.2.1 Generarea structurilor de date

Prima nouă funcție apelată trebuie să genereze tablourile coordonatelor nodurilor, `xn` și `yn`, precum și numărul total de noduri, `n`.

#### EXERCITIUL 11:

- a) Scrieți, într-un fișier “`coord_nod.sci`” o funcție cu numele `coord_nod`, având ca parametri de intrare vectorii `x` și `y` (coordonatele grilei, vezi fig. 4.9, tema 4) și care să întoarcă numărul total de noduri `nn` și doi vectori `xn`, `yn` care conțin coordonatele nodurilor numerotate conform figurii 4.10, tema 4.
- b) Verificați corectitudinea funcției, comentând liniile din programul `main.sci` care nu intervin.

Indicație: Iată un pseudocod posibil:

```
funcție [întreg nn, vector xn, yn] = coord_nod(întreg NA,Na,Nb,NBb, vector x,y)
; numar de noduri
nn = NA*Nb + NBb*Na

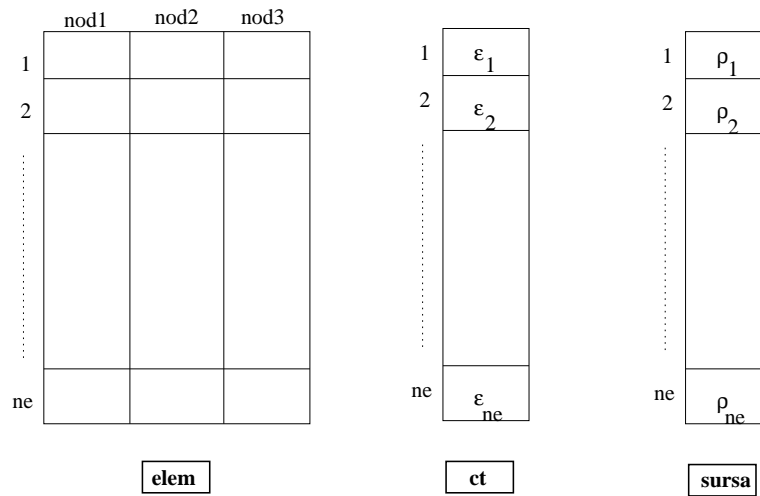
; noduri in dreptunghiul de jos
temp = ones(NA, Nb)
xn = diag(x) * temp, xn = xn(:)
yn = temp*diag( y(1:Nb) ), yn = yn(:)

; noduri in dreptunghiul de sus
temp = diag( x(1:Na) ) * ones(Na, NBb)
xn = [xn; temp(:)]'
temp = ones(Na, NBb) * diag( y(Nb+1:Nb+NBb) )
yn = [yn; temp(:)]'
```

**retur**

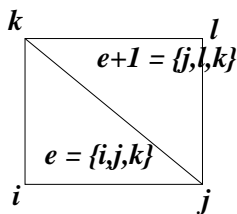
Pentru memorarea datelor referitoare la elementele finite, structurile de date propuse sunt următoarele (figura 6.6):

- Pentru memorarea nodurilor elementelor finite, se poate folosi o matrice cu  $ne$  linii și 3 coloane; elementele liniei  $i$  a matricei au semnificația numerelor celor trei noduri ale elementului finit triunghiular  $i$ . Vom nota această matrice cu `elem`.



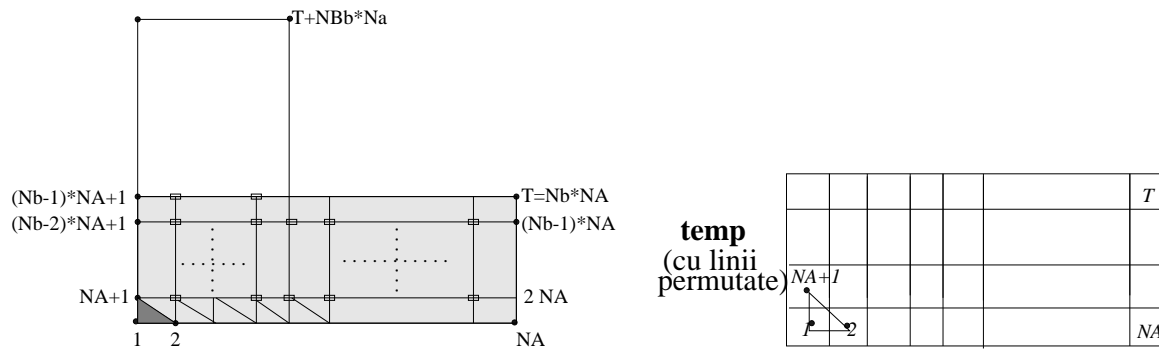
**Fig. 6.6.** Structuri de date asociate elementelor finite (exemplu pentru o problemă de electrostatică)

- Pentru memorarea constantelor de material ale elementelor finite (presupuse, reamintim, ca având aceeași valoare în orice punct din triunghi) se poate folosi un vector cu  $ne$  linii, al cărui element  $i$  are semnificația valorii constantei (de exemplu  $\varepsilon$  sau  $\sigma$ ) a elementului finit  $i$ . Această structură de date este potrivită pentru cazul problemelor neomogene. O vom nota cu **ct**.
- Pentru memorarea surselor (de exemplu  $\rho$ ) asociate elementelor finite se poate folosi de asemenea un vector cu  $ne$  linii. O vom nota **sursa**.



**Fig. 6.7.** Generarea a două elemente finite, pornind de la un dreptunghi al grilei

Elementele finite triunghiulare vor fi construite, după cum s-a arătat anterior, divizând fiecare dreptunghi al grilei construite la temele 4 și 5 în câte două triunghiuri (figura 6.7). Se constată că în cazul problemei noastre elementele se pot genera în mod elegant folosind o matrice ajutătoare **temp** care conține, pe linii și coloane, numerele nodurilor, reproducând parțial structura grilei. Matricea ajutătoare se va construi separat pentru fiecare porțiune dreptunghiulară a domeniului de calcul. Figura 6.8 exemplifică structura matricei pentru dreptunghiul inferior al domeniului problemei.



**Fig. 6.8.** Tehnica de generare a listei de elemente finite, pe baza unei matrice ajutătoare

### EXERCITIUL 12:

a) Scrieți, într-un fișier “gen\_elem.sci” o funcție cu numele `gen_elem`, cu parametrii de intrare: `NA`, `Na`, `Nb`, `NBb`, `sigma` și care întoarce:

- `ne` – numărul de elemente finite triunghiulare;
- `elem` – lista elementelor finite;
- `ct` – vectorul constantelor de material ale elementelor finite (permitivități în cazul electrostatic, respectiv conductivități, în cazul problemei de față);
- `sursa` – vectorul surselor asociate elementelor finite ( $\rho$  în cazul electrostatic).

b) În același fișier, scrieți o funcție `element` care adaugă două noi elemente, conform figurilor 6.7 și 6.8. Funcția va avea parametrii de intrare: linia `i` și coloana `j` din matricea ajutătoare, matricele `elem`, `temp`, precum și numărul curent de elemente, `e`. Parametrii de ieșire vor fi `elem`, `e`.

c) Testați corectitudinea funcțiilor `gen_elem` și `element`.

Indicație: Iată un pseudocod posibil (adaptat facilităților oferite de *Scilab*).

```
funcție [întreg ne, matrice elem, vector ct,sursa]
    = gen_elem (întreg NA,Na,Nb,NBb, real sigma)
; Elemente
; dreptunghiul de jos
T = NA * Nb
temp = 1:T
temp = matrix(temp, NA, Nb)'

e = 0
elem = [ ]
```

```

pentru i=1:Nb-1,           ; linii, de jos in sus
      pentru j=1:NA-1,       ; coloane, de la stanga la dreapta
          ; adauga doua elemente
          [elem,e]=element(i,j,elem,temp,e)

;dreptunghiul de sus
temp = [T+1:T+NBb*Na]
temp = [(Nb-1)*NA+1:(Nb-1)*NA+Na, temp]
temp = matrix(temp, Na, NBb+1)'

pentru i=1:NBb,           ; linii, de jos in sus
      pentru j=1:Na-1,       ; coloane, de la stanga la dreapta
          ; adauga doua elemente
          [elem,temp,e]=element(i,j,elem,temp,e)
;Verificare numar elemente
dacă (e == 2*( (NA-1)*(Nb-1) + (Na-1)*NBb))
      scrie "Numar elemente calculat corect."
altfel
      scrie "Eroare. Numar incorect de elemente!"

; Genereaza vectorul surselor si al constantelor de material
ct = sigma * ones(1:e)
sursa = 0 * ones(1:e)

```

**retur**

**Condițiile de frontieră** vor fi memorate într-o matrice **cf** cu 4 coloane și cu un număr de linii egal cu numărul de condiții de frontieră (numărul de noduri Dirichlet plus numărul de segmente Neumann) (figura 6.9). Semnificațiile coloanelor matricei **cf** sunt următoarele:

- prima coloană conține tipul condiției (1 – Dirichlet, 2 – Neumann);
- a doua și a treia coloană conțin numere de noduri: nodul cu condiție Dirichlet, respectiv nodul inițial și final al laturii cu condiție Neumann (coloana a treia nu are semnificație în cazul condiției Dirichlet);
- coloana a patra conține valoarea condiției de frontieră (valoarea funcției  $f$  sau  $g$  în nodul/pe latura de frontieră respectivă).

	tip	nod1	nod2	valoare
1				
2				
⋮				
ncf				

**cf**

**Fig. 6.9.** Structuri de date asociate condițiilor de frontieră

**EXERCITIUL 13:**

- a) Scrieți, într-un fișier "impune\_cf.sci" o funcție cu numele `impune_cf` care primește ca parametri `NA`, `Na`, `Nb`, `NBb`, `V0`, `gN` și returnează: numărul `ncf` de elemente cu condiții de frontieră și matricea `cf`.
- b) Verificați corectitudinea funcției `impune_cf`.

Indicație: Iată un pseudocod posibil.

**funcție** [**întreg** `ncf`, **matrice** `cf`] = `impune_cf(întreg NA,Na,Nb,NBb,real V0,gN)`

`T = NA*Nb`

`dir = 1`

`neum = 2`

`tip = 1, nod1 = 2, nod2 = 3, val = 4`

`ncf = 0; numar laturi cu conditie de frontiera`

`cf = [ ]`

`; impune Dirichlet`

**pentru** `i=1, Nb`

`ncf = ncf+1`

`cf(ncf, tip) = dir`

`cf(ncf,nod1) = NA*i`

`cf(ncf, val) = 0`

**pentru** `i=T+(NBb-1)*Na+1, T+NBb*Na`

`ncf = ncf+1`

`cf(ncf, tip) = dir`

`cf(ncf,nod1) = i`

`cf(ncf, val) = V0`

`; impune Neumann`

`; nu e necesar in problema de fata deoarece cond Neumann e zero`

**dacă** `gN <> 0 atunci`

**pentru** `i=1, NA-1`

`; conditie Neumann nula pe SR`

`ncf = ncf+1`

`cf(ncf, tip) = neum`

`cf(ncf,nod1) = i`

`; Neumann pe segmentul [i i+1]`

`cf(ncf,nod2) = i+1`

`cf(ncf,val) = gN`

`.....`

**retur**

## 6.2.2 Asamblarea matricii

Asamblarea matricii va fi făcută prin parcurgerea elementelor finite și adăugarea contribuțiilor lor la matricea sistemului și la termenii liberi, conform formulelor (6.16), (6.17).

### EXERCITIUL 14:

În fișierul “mef.sci” scrieți o funcție `calcul_abc` având ca parametri de intrare coordonatele celor trei noduri ale unui element și care calculează vectorii `a`, `b`, `c` cu formulele (6.5).

Indicație: Iată un pseudocod posibil.

**funcție** [vector `a`, `b`, `c`] = `calcul_abc`(vector `x`, `y`)  
; calculeaza `a(i)`, `b(i)`, `c(i)` pentru elementul curent

```
delta = det([x', y', ones(3,1)])
pentru i=1:3,
    a(i) = ( y(2)-y(3) )/delta
    b(i) = -( x(2)-x(3) )/delta
    c(i) = ( x(2)*y(3) - x(3)*y(2) )/delta
;permuta x, y
x = [x(2:3), x(1)]
y = [y(2:3), y(1)]
```

**retur**

### EXERCITIUL 15:

Adăugați, în fișierul “mef.sci”, două funcții care calculează contribuțiile unui element finit la termenul  $m_{ij}$  al matricii, respectiv la termenul liber  $p_i$ . Se presupune că determinantul  $\Delta = 2A$  este calculat în alt modul al programului.

**funcție** [s] = `m_ij_elem`(`e`, `i`, `j`)  
; calculeaza contributia elementului `e` la coeficientul `m(i,j)`  
s = `ct(e) * (a(i)*a(j) + b(i)*b(j)) * delta/2`

**retur**

**funcție** [s] = `p_i_elem`(`e`, `i`) ; calculeaza contributia elementului `e` la termenul liber `p(i)`  
s = `sursa(e) * delta/6`

**retur**

**EXERCITIUL 16:**

Adăugați, în fișierul “mef.sci”, funcția `assembleaza`, care generează automat sistemul de ecuații. Funcția va avea ca parametri de intrare datele referitoare la rețeaua de discretizare și la problemă (`nn, ne, ncf, xn, yn, elem, ct, sursa, cf`) și va returna matricea sistemului `M` și termenul liber `p`.

```

funcție [matrice M, vector p] = assembleaza(întreg nn, ne, ncf, vector xn, yn,
matrice elem, vector ct, sursa, matrice cf)
; assembleaza matricea sistemului

M = zeros(nn, nn), p = zeros(nn, 1)
; contributiile elementelor
pentru e=1:ne,
    nod = elem(e,:)
    x = xn(nod)
    y = yn(nod)
    delta = det([x', y', ones(3,1)]) ; delta = 2 * aria triunghiului
    [a, b, c] = calcul_abc(x, y)

    pentru i=1:3, ; parcurge nodurile elementului
        n1 = nod(i)
        pentru j=1:3,
            n2 = nod(j)
            M(n1,n2) = M(n1,n2) + m_ij_elem(e,i,j)
        p(n1) = p(n1) + sursa(e) * delta/6
; contributiile conditiilor de frontiera
dir = 1, neum = 2
tip = 1, nod1 = 2, nod2 = 3, val = 4 ; indici in matricea cf
pentru i=1:ncf,
    tipcf = cf(i, tip)
    n1 = cf(i, nod1), n2 = cf(i, nod2) ; nodurile laturii
    dacă (tipcf == dir) atunci ; Dirichlet
        M(n1, :) = zeros(M(n1, :))
        M(n1, n1) = 1
        p(n1) = cf(i, val)
    dacă (tipcf == neum) ; Neumann
        h = sqrt( (xn(n2)-xn(n1))^2 + (yn(n2)-yn(n1))^2 ) ; lungimea laturii
        p(n1) = p(n1) - cf(i,val) * h/2
        p(n2) = p(n2) - cf(i,val) * h/2

retur

```



**EXERCITIUL 17:**

Comparați rezultatele numerice cu cele obținute la metoda volumelor finite. (Indicație: pentru a vizualiza simultan rezultatele numerice, puteți folosi în același timp două sesiuni *Scilab*.)

**EXERCITIUL 18:**

Comparați metoda elementelor finite cu metodele diferențelor finite, respectiv volumelor finite.

**EXERCITIUL 19:**

Comparați matricea  $M$  obținută în cazul metodei elementelor finite cu cea obținută la metoda volumelor finite.

Indicație: Imaginați-vă că ați scala prin înmulțire cu 2 toți coeficienții de pe liniile matricei de elemente finite care nu corespund unor noduri cu condiție de frontieră Dirichlet.

**EXERCITIUL 20:**

Funcțiile apelate de programul principal de elemente finite sunt: `date`, `grid`, `coord_nod`, `gen_elem`, `impune_cf`, `assembleaza`, `postprocesare`. Care dintre aceste funcții **nu** trebuie rescrise dacă se dorește rezolvarea altei probleme (se modifică geometria problemei, sursele, parametrii de material și condițiile de frontieră)?

### 6.2.3 Exerciții propuse

Exercițiile care urmează sunt facultative<sup>1</sup>.

#### Verificarea preciziei aproximării condiției Neumann

În cazul problemei de față, teoretic, pe laturile de pe frontiera Neumann  $\partial V/\partial n = 0$ . Verificați cât de bine este aproximată această condiție, rezolvând exercițiile 21, 22.

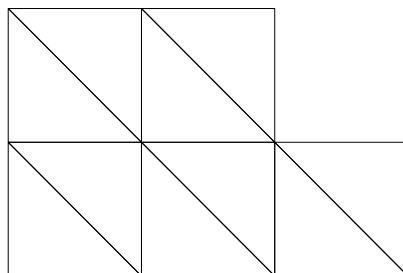
**EXERCITIUL 21:**

a) Cum variază grad  $V$  într-un element finit? Care este expresia lui?

b) Calculați, pentru o latură de pe frontieră, expresia  $\partial V/\partial n = \text{grad } V \cdot \mathbf{n}$ .

Indicație: Scrieți pe componente versorul  $\mathbf{n} = n_x \mathbf{i} + n_y \mathbf{j}$  și apoi efectuați produsul scalar  $\text{grad } V \cdot \mathbf{n}$ .

<sup>1</sup>Le puteți rezolva după ce ați terminat tema următoare.



**Fig. 6.10.** Rețeaua de discretizare, reprezentată folosind *Scilab*, în cazul  $N_a = 3$ ,  $N_b = 2$ ,  $N_{Bb} = 1$ ,  $N_A = 4$

### EXERCITIUL 22:

- Scrieți un algoritm care calculează  $\text{grad } V \cdot \mathbf{n}$  pentru o latură de pe frontiera Neumann.
- Aplicați algoritmul scris la punctul a) pentru a obține un vector de valori ale derivatei după normală a potențialului pe toate laturile de pe frontiera Neumann. (Indicație: puteți utiliza structura de date cf.)
- Verificați dacă  $\partial V / \partial n$  este zero pe fiecare segment. Dar în medie, pe toate segmentele frontierei Neumann?

### Noi elemente de postprocesare

În etapa de postprocesare este util să se reprezinte grafic nu numai curbele de potențial constant ci și alte elemente, cum ar fi rețeaua de discretizare sau vectorii câmpului electric.

### EXERCITIUL 23:

- Folosind comanda `help` aflați care este efectul și care sunt parametrii comenzii `xpolys`.
- Concepeți un algoritm care permite reprezentarea grafică a rețelei de elemente finite triunghiulare utilizată. Indicație: Puteți folosi structurile deja existente `elem`, `xn`, `yn`.
- Adăugați în fișierul "postprocesare.sci" instrucțiunile algoritmului propus la punctul anterior. Verificați corectitudinea algoritmului: pentru parametri de intrare  $N_a = 3$ ,  $N_b = 2$ ,  $N_{Bb} = 1$ ,  $N_A = 4$ , rezultatul ar trebui să fie similar cu cel din figura 6.10.

Vectorii intensității câmpului electric pot fi reprezentați grafic, dacă domeniul are formă dreptunghiulară, folosind comanda `champ` sau `fchamp`. În cazul unui domeniu de formă oarecare însă, aceste comenzi nu sunt potrivite. Se poate folosi în schimb facilitatea *Scilab* de reprezentare a unor săgeți.

În cazul reprezentării câmpului electric, lungimile acestor săgeți ar trebui să fie proporționale cu modulul intensității câmpului electric, iar proiecțiile săgeților pe axele  $Ox$  și  $Oy$  ar trebui să fie proporționale cu componentele  $E_x$  și respectiv  $E_y$ .

#### EXERCITIUL 24:

```
a) Folosind comanda help aflați care este sintaxa comenzii xarrows.
b) Comentați efectul următoarelor comenzi Scilab:

xbasec();
rect = [0 0 1 1];
plot2d(1,1,[-1],"213"," ",rect); //comentati

// trei noduri
x1=0; x2=1; x3=0;
y1=0; y2=0; y3=1;
xx = [x1 x2 x3 x1];
yy = [y1 y2 y3 y1];
xpolys(xx', yy'); //comentati

scala = 0.3; Ex = 1; Ey = 1;
xc = (x1+x2+x3)/3;
yc = (y1+y2+y3)/3; //comentati
nx = [xc; xc+Ex*scala];
ny = [yc; yc+Ey*scala];
xarrows(nx, ny); //comentati
```

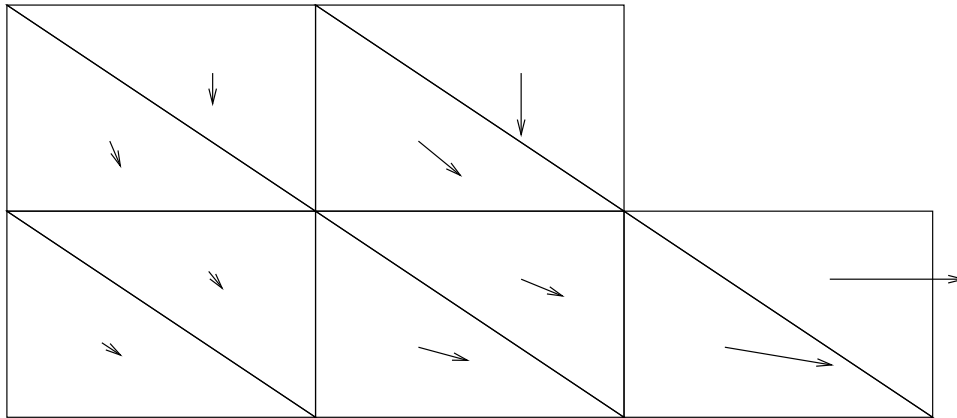
#### EXERCITIUL 25:

```
a) Folosind relația cunoscută  $\mathbf{E} = -\text{grad } V$ , determinați componentele  $E_x$  și  $E_y$  ale intensității câmpului electric în centrele de greutate ale elementelor finite. Folosiți pentru memorarea acestor valori doi vectori,  $\mathbf{E}_x$  și  $\mathbf{E}_y$ .
b) Utilizați comenzile xpolys și arrows pentru a reprezenta grafic vectorii intensității câmpului electric în centrele de greutate ale elementelor finite. (În cazul  $N_a = 3$ ,  $N_b = 2$ ,  $N_{bb} = 1$ ,  $N_A = 4$  rezultatul ar trebui să arate ca în figura 6.11.)
```

### Variante ale metodei elementelor finite

Exercițiile următoare vă propun să construiți variante ale metodei elementelor finite, așa cum a fost ea prezentată în tema de față.

### Intensitatea câmpului electric



**Fig. 6.11.** Vectorii intensității câmpului electric, reprezentați folosind *Scilab*, în cazul  $N_a = 3$ ,  $N_b = 2$ ,  $N_{Bb} = 1$ ,  $N_A = 4$

#### **EXERCITIUL 26:**

Modificați algoritmul astfel încât să folosească elemente finite patrulate.

#### **EXERCITIUL 27:**

Modificați algoritmul astfel încât să permită rezolvarea problemelor de regim staționar axisimetrice (2,5 D), folosind o rețea de discretizare bidimensională (2D).

Indicație: Configurațiile axisimetrice se obțin prin rotirea în jurul axei  $r = 0$  a unui domeniu bidimensional. Diferența față de cazul plan-paralel intervine la calculul integralelor pe domeniu, respectiv pe frontieră. Este recomandabil să lucrați în coordonate cilindrice (după efectuarea calculelor, coordonatele cilindrice  $r$  și  $z$  pot fi renotate cu  $x$  și respectiv  $y$ , pentru a putea refolosi cât mai mult din algoritmul scris în cazul plan-paralel).



# Capitolul 7

## Metoda elementelor de frontieră

Această temă<sup>1</sup> urmărește detalierea metodei elementelor de frontieră în cazul unei probleme plan-paralele de regim electrocINETIC staționar.

Pentru exemplificare vom considera problema conductorului de forma literei L, problemă enunțată și formulată în tema 4 (paragrafele 4.1 și 4.2).

### TEMA de laborator:

- a) Să se scrie un program *Scilab* care să rezolve, folosind metoda elementelor de frontieră, problema enunțată și formulată la tema 4.
- b) Să se compare rezultatele metodei elementelor de frontieră cu rezultatele metodelor volumelor finite, diferențelor finite și elementelor finite.

### 7.1 Ideea metodei. Ecuații integrale.

Spre deosebire de metodele abordate până acum, în care erau approximate ecuațiile câmpului electromagnetic, în metoda elementelor de frontieră se aproximează condițiile de frontieră, ecuația de ordinul doi asociată domeniului de calcul fiind satisfăcută exact.

Ideea metodei elementelor de frontieră constă în exploatarea unei formule integrale pentru necunoscuta principală a problemei (potențialul).

O astfel de formulă integrală conține o integrală pe domeniu și integrale pe frontiera domeniului. Integrala pe domeniu cuprinde sursele interioare de câmp (de exemplu distribuții de sarcină în cazul regimului electrostatic). Integralele pe frontiera domeniului au integranzi care conțin expresii de tipul condițiilor de frontieră Dirichlet și Neumann. Dacă în fiecare punct al frontierei s-ar cunoaște atât condițiile Dirichlet cât și condițiile Neumann atunci cu o astfel de formulă se poate calcula potențialul în orice punct din domeniul de interes.

---

<sup>1</sup>Ați parcurs până acum cele 6 teme anterioare? Felicitări! Drept recompensă, această temă cuprinde codurile complete *Scilab* ale programelor de implementat.

Conform teoremei de unicitate, condițiile de frontieră sunt Dirichlet **sau** Neumann. Pentru deducerea celorlalte valori de pe frontieră, necesare calculului potențialului în orice punct din domeniu, se folosește aceeași formulă integrală.

Avantajul acestei metode este acela că ea poate fi aplicată și pentru domenii nemărginite<sup>2</sup>, lucru nepermis în cazul metodelor învățate până acum. În cazul metodelor volumelor finite, diferențelor finite, elementelor finite, domeniul de calcul trebuie să fie mărginit. Problema de regim electrocinetic studiată este o problemă în care mărginirea domeniului de calcul a fost ceva natural, impus de condițiile mărginirii cu un mediu izolant.

### EXERCITIUL 1:

Cum alegeți domeniul de calcul pentru metoda volumelor finite (sau diferențelor finite sau elementelor finite) în cazul în care doriți să calculați câmpul electrostatic al unui condensator plan cu armături dreptunghiulare, având una din dimensiuni mult mai mare decât celelalte două ?

Să ne amintim acum câteva cunoștințe de matematică, necesare înțelegerii paragrafelor următoare.

• **Distribuția Dirac** are următoarea *definiție* în cazul unidimensional:

$$\delta(x - x_0) = \begin{cases} \infty & x = x_0 \\ 0 & x \neq x_0 \end{cases} \quad \int_{-\infty}^{\infty} \delta(x - x_0) dx = 1 \quad (7.1)$$

În cazul bidimensional:

$$\delta(x - x_0, y - y_0) = \begin{cases} \infty & x = x_0 \text{ și } y = y_0 \\ 0 & x \neq x_0 \text{ sau } y \neq y_0 \end{cases} \quad \int_{-\infty}^{\infty} \int_{-\infty}^{\infty} \delta(x - x_0, y - y_0) dx dy = 1 \quad (7.2)$$

În cazul tridimensional:

$$\delta(x - x_0, y - y_0, z - z_0) = \begin{cases} \infty & x = x_0 \text{ și } y = y_0 \text{ și } z = z_0 \\ 0 & x \neq x_0 \text{ sau } y \neq y_0 \text{ sau } z \neq z_0 \end{cases} \\ \int_{-\infty}^{\infty} \int_{-\infty}^{\infty} \int_{-\infty}^{\infty} \delta(x - x_0, y - y_0, z - z_0) dx dy dz = 1 \quad (7.3)$$

Dacă notăm cu  $P$  punctul “fix” de coordonată  $x_0$  în cazul unidimensional, respectiv punctul de coordonate  $(x_0, y_0)$  în 2D și  $(x_0, y_0, z_0)$  în 3D și cu  $Q$  punctul “variabil”, de coordonată  $x$  în cazul unidimensional, respectiv punctul de coordonate  $(x, y)$  în 2D și  $(x, y, z)$  în 3D, atunci, relațiile (7.1), (7.2), (7.3) pot fi scrise mai compact astfel:

$$\delta(Q - P) = \begin{cases} \infty & Q \equiv P \\ 0 & Q \neq P \end{cases} \quad \int_{\Omega_{\infty}} \delta(Q - P) d\omega_Q = 1 \quad (7.4)$$

În relația (7.4) am notat cu  $\Omega_{\infty}$  spațiul infinit (de dimensiune 1, 2 sau 3) și cu  $d\omega_Q$  elementul de lungime, arie sau volum:

$$d\omega_Q = \begin{cases} dl_Q = dx & 1D \\ dA_Q = dx dy & 2D \\ dv_Q = dx dy dz & 3D \end{cases} \quad (7.5)$$

<sup>2</sup>“Open boundary”

O proprietate importantă a distribuției Dirac este aceea de *filtrare*. Dacă  $f$  este o funcție definită pe un domeniu infinit (1, 2 sau 3 dimensional), continuă în  $x = x_0$  (sau  $x = x_0$ ,  $y = y_0$  sau  $x = x_0$ ,  $y = y_0$ ,  $z = z_0$ ), atunci:

$$1D : \int_{-\infty}^{\infty} f(x)\delta(x - x_0) dx = f(x_0) \quad (7.6)$$

$$2D : \int_{-\infty}^{\infty} \int_{-\infty}^{\infty} f(x, y)\delta(x - x_0, y - y_0) dx dy = f(x_0, y_0) \quad (7.7)$$

$$3D : \int_{-\infty}^{\infty} \int_{-\infty}^{\infty} \int_{-\infty}^{\infty} f(x, y, z)\delta(x - x_0, y - y_0, z - z_0) dx dy dz = f(x_0, y_0, z_0) \quad (7.8)$$

Proprietatea de filtrare se poate scrie compact astfel:

$$\int_{\Omega_{\infty}} f(Q)\delta(Q - P) d\omega_Q = f(P) \quad (7.9)$$

Iată un *exemplu* de distribuție Dirac în cazul tridimensional. Să ne imaginăm o sarcină punctuală (sferă de rază infinit mică) cu o valoare egală cu 1 Coulomb, situată în spațiul infinit tridimensional în punctul de coordonate  $P(x_0, y_0, z_0)$ . Atunci, densitatea de volum a sarcinii electrice este într-un punct oarecare  $Q(x, y, z)$  din spațiu:

$$\rho(Q) = \begin{cases} \infty & Q \equiv P \\ 0 & Q \neq P \end{cases} \quad (7.10)$$

Este evident că:

$$\int_{\Omega_{\infty}} \rho(Q) dv_Q = 1 \quad [C] \quad (7.11)$$

Un exemplu de distribuție Dirac în cazul bidimensional se poate construi astfel. Să ne imaginăm un fir rectiliniu, infinit lung (cilindru infinit, de rază infinit mică), electrizat, astfel încât sarcina totală pe unitatea de lungime este 1 Coulomb. Firul este situat în spațiul infinit tridimensional pe o dreaptă paralelă cu axa  $z$ , ce taie planul  $XOY$  în punctul de coordonate  $P(x_0, y_0, 0)$ . Calculăm din nou densitatea de volum a sarcinii electrice într-un punct oarecare  $Q(x, y, z)$ :

$$\rho(Q) = \begin{cases} \infty & x = x_0 \text{ și } y = y_0 \\ 0 & x \neq x_0 \text{ sau } y \neq y_0 \end{cases} \quad (7.12)$$

Observăm că  $\rho(Q)$  nu depinde de  $z$ . Să integrăm densitatea de sarcină pe un volum tridimensional  $\mathcal{V}$  ce cuprinde o lungime de fir  $l = 1$  m cuprinsă de exemplu între cotele  $z = 0$  și  $z = l$ . Rezultă:

$$\int_{\mathcal{V}} \rho(Q) dv_Q = 1 \quad [C] \quad (7.13)$$

Dacă notăm cu  $\Omega_{\infty}$  un domeniu infinit bidimensional (corespunzător planului  $z = 0$ ) atunci  $\mathcal{V} = \Omega_{\infty} \times [0, l]$ , iar relația (7.13) devine:

$$\int_{\Omega_{\infty}} \left( \int_0^l \rho(Q) dz \right) dx dy = 1 \quad [C] \quad (7.14)$$



Deoarece  $\rho$  nu depinde de  $z$ , rezultă că:

$$\int_{\Omega_\infty} \rho(x, y, 0) dx dy = 1 \quad [\text{C/m}] \quad (7.15)$$

Renotând  $P$  ca fiind punctul de coordonate  $(x_0, y_0)$  din planul  $XOY$ ,  $Q$  ca fiind punctul de coordonate  $(x, y)$  din planul  $XOY$  și  $\rho(Q)$  ca fiind restricția densității de volum la același plan, rezultă că:

$$\int_{\Omega_\infty} \rho(Q) dA_Q = 1 \quad [\text{C/m}] \quad (7.16)$$

unde  $\rho(Q)$  este dată de relațiile (7.10) și (7.16).

• **Funcția Green** se definește astfel.

Fie  $A$  un operator diferențial cu condiții de frontieră nule pe frontiera domeniului  $\partial\Omega$ . Vom spune că funcția de două “variabile”  $G(P, Q) : \Omega \rightarrow \mathbb{R}$  este funcția Green a operatorului  $A$  dacă soluția ecuației diferențiale neomogene  $AV = f$  cu condiții de frontieră nule se scrie sub forma integrală:

$$V(P) = \int_{\Omega} G(P, Q) f(Q) dv_Q \quad (7.17)$$

Funcția Green are avantajul că, odată cunoscută, permite determinarea rapidă, printr-o integrală, a soluției ecuației neomogene pentru diferiți termeni liberi  $f$ . Operatorul integral definit de funcția Green este, în consecință, inversul operatorului diferențial considerat.

Aplicând operatorul  $A$  soluției scrise sub forma (7.17) și presupunând că aplicarea operatorului și integrarea sunt inversabile, rezultă:

$$AV(P) = \int_{\Omega} [AG(P, Q)] f(Q) dv_Q = f(P), \quad (7.18)$$

relație satisfăcută de soluția ecuației  $Au = f$  pentru orice termen liber  $f$  pentru care există soluție. Acest lucru se întâmplă dacă  $AG(P, Q)$  filtrează valoarea în  $P$  a funcției  $f(Q)$  deci dacă:

$$AG(P, Q) = \delta(Q - P) \quad (7.19)$$

În consecință, funcția Green  $G(P, Q)$  este soluția, în condiții de frontieră nule, a ecuației constituită cu operatorul  $A$ , în care sursa internă este funcția generalizată Dirac, cu suportul în  $\Omega$  (punctul  $P$  este în interiorul domeniului  $\Omega$ ).

### 7.1.1 Formula celor trei potențiale

Vom considera din nou problema de regim electrostatic descrisă de ecuația de gradul doi:

$$-\text{div}(\varepsilon \text{grad } V) = \rho \quad (7.20)$$

unde  $V : \mathcal{D} \rightarrow \mathbb{R}$ . Un punct oarecare din  $\mathcal{D}$  va fi notat cu  $Q$  și el va avea coordonatele  $(x, y)$  într-o problemă plan-paralelă și  $(x, y, z)$  într-o problemă tridimensională. Ecuația (7.20) este scrisă pentru un punct oarecare  $Q$ :

$$-\text{div}(\varepsilon(Q) \text{grad } V(Q)) = \rho(Q) \quad (7.21)$$

Funcția Green asociată acestei probleme va satisface:

$$-\operatorname{div} [\varepsilon(Q) \operatorname{grad} G(P, Q)] = \delta(Q - P) \quad (7.22)$$

Să considerăm relațiile:

$$\begin{aligned} \operatorname{div} [G(P, Q)\varepsilon(Q) \operatorname{grad} V(Q)] &= \varepsilon(Q) \operatorname{grad} V(Q) \operatorname{grad} G(P, Q) + \\ &+ G(P, Q) \operatorname{div} [\varepsilon(Q) \operatorname{grad} V(Q)] \end{aligned} \quad (7.23)$$

$$\begin{aligned} \operatorname{div} [V(Q)\varepsilon(Q) \operatorname{grad} G(P, Q)] &= \varepsilon(Q) \operatorname{grad} V(Q) \operatorname{grad} G(P, Q) + \\ &+ V(Q) \operatorname{div} [\varepsilon(Q) \operatorname{grad} G(P, Q)] \end{aligned} \quad (7.24)$$

Dacă scădem relațiile (7.23) și (7.24), apoi integrăm pe  $\mathcal{D}$  și ținem seama de relațiile (7.20) și (7.22), de proprietatea de filtrare a funcției Dirac, și de formula Gauss-Ostrogradski, rezultă:

$$\begin{aligned} V(P) &= \int_{\mathcal{D}} G(P, Q)\rho(Q) dv_Q + \oint_{\partial\mathcal{D}} G(P, Q)\varepsilon(Q) \frac{\partial V}{\partial n_Q} dA_Q - \\ &- \oint_{\partial\mathcal{D}} V(Q)\varepsilon(Q) \operatorname{grad} G(P, Q) \cdot \mathbf{n}_Q dA_Q \end{aligned} \quad (7.25)$$

În cazul unei probleme plan-paralele, relația (7.25) se scrie astfel:

$$\begin{aligned} V(P) &= \int_S G(P, Q)\rho(Q) dA_Q + \oint_{\partial S} G(P, Q)\varepsilon(Q) \frac{\partial V}{\partial n_Q} dl_Q - \\ &- \oint_{\partial S} V(Q)\varepsilon(Q) \operatorname{grad} G(P, Q) \cdot \mathbf{n}_Q dl_Q \end{aligned} \quad (7.26)$$

### EXERCITIUL 2:

- a) Deduceți formula (7.25).  
b) Proprietatea de filtrare presupune integrare pe un domeniu infinit. Cum justificați aplicarea ei pe un domeniu mărginit?

### Cazul mediilor omogene

Dacă mediul este omogen ( $\varepsilon(Q) = \varepsilon = \text{constant}$ ), funcția Green este ușor de găsit. Ea satisface în domeniul de calcul relația:

$$-\operatorname{div} [\operatorname{grad} G(P, Q)] = \frac{\delta(Q - P)}{\varepsilon} \quad (7.27)$$

În consecință, funcția Green pentru un mediu omogen poate fi aleasă ca fiind potențialul electrostatic al unei sarcini punctiforme (în cazul tridimensional) sau al unui fir infinit lung încărcat cu sarcină (în cazul bidimensional):

$$3\text{D} : \quad G(P, Q) = \frac{1}{4\pi\varepsilon R_{PQ}} \quad (7.28)$$

$$2\text{D} : \quad G(P, Q) = \frac{1}{2\pi\varepsilon} \ln \frac{1}{R_{PQ}} \quad (7.29)$$

Gradientul (în  $Q$ ) acestei funcții este:

$$3D : \quad \text{grad } G(P, Q) = \frac{1}{4\pi\varepsilon} \frac{\mathbf{R}_{PQ}}{R_{PQ}^3} \quad (7.30)$$

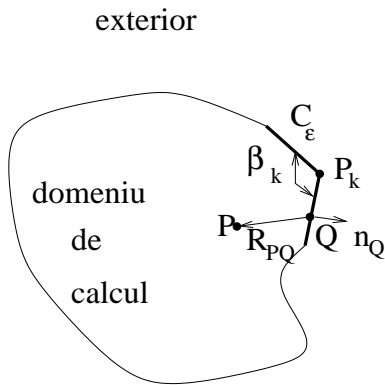
$$2D : \quad \text{grad } G(P, Q) = \frac{1}{2\pi\varepsilon} \frac{\mathbf{R}_{PQ}}{R_{PQ}^2} \quad (7.31)$$

unde am notat cu  $\mathbf{R}_{PQ}$  vectorul care unește punctul sursă  $P$  (unde se află concentrată sarcina) cu punctul de observație  $Q$  oarecare, având originea în  $Q$  și vârful în  $P$ .

Prin urmare, relațiile (7.25) și (7.26) devin:

$$3D : \quad 4\pi V(P) = \frac{1}{\varepsilon} \int_{\mathcal{D}} \frac{1}{R_{PQ}} \rho(Q) dv_Q + \oint_{\partial\mathcal{D}} \frac{1}{R_{PQ}} \frac{\partial V}{\partial n_Q} dA_Q - \oint_{\partial\mathcal{D}} V(Q) \frac{\mathbf{R}_{PQ} \cdot \mathbf{n}_Q}{R_{PQ}^3} dA_Q \quad (7.32)$$

$$2D : \quad 2\pi V(P) = \frac{1}{\varepsilon} \int_S \ln \left( \frac{1}{R_{PQ}} \right) \rho(Q) dA_Q + \oint_{\partial S} \ln \left( \frac{1}{R_{PQ}} \right) \frac{\partial V}{\partial n_Q} dl_Q - \oint_{\partial S} V(Q) \frac{\mathbf{R}_{PQ} \cdot \mathbf{n}_Q}{R_{PQ}^2} dl_Q \quad (7.33)$$



**Fig. 7.1.** În scrierea ecuației integrale în  $P_k$  intervine  $\beta_k$ .

În toate relațiile de până acum,  $P$  este un punct interior domeniului  $\mathcal{D}$ . Dacă s-ar cunoaște valorile potențialului și ale derivatei lui după normală în orice punct de pe frontiera domeniului, atunci cu relațiile (7.32) sau (7.33) se poate calcula potențialul în orice punct din interiorul domeniului.

Condițiile de frontieră impun însă potențialul sau derivata lui după normală în orice punct al frontierei.

Primul pas care trebuie făcut este de a calcula mai întâi potențialul în punctele frontierei pe care se dau condiții Neumann și derivata lui după normală în punctele frontierei pe care se impun condiții Dirichlet.

Pentru aceasta, relațiile (7.32) și (7.33) sunt scrise pentru un punct  $P$  de pe frontieră. Când  $P$  se apropie de frontieră, integrala a treia din relațiile (7.32) și (7.33) este improprie. În cazul bidimensional se demonstrează că relația (7.33) devine:

$$\beta_k V(P_k) = \frac{1}{\varepsilon} \int_S \ln \left( \frac{1}{R_{P_k Q}} \right) \rho(Q) dA_Q + \oint_{\partial S} \ln \left( \frac{1}{R_{P_k Q}} \right) \frac{\partial V}{\partial n_Q} dl_Q - \oint_{\partial S} V(Q) \frac{\mathbf{R}_{P_k Q} \cdot \mathbf{n}_Q}{R_{P_k Q}^2} dl_Q \quad (7.34)$$

unde  $\beta_k$  (vezi figura 7.1) este unghiul interior domeniului de calcul, în punctul  $P_k$ .

În cazul regimului electrocinetic staționar (2D), adică în cazul absenței densității de volum a surselor, ecuațiile integrale devin:

- Pentru un punct interior  $P$ :

$$2\pi V(P) = \oint_{\partial S} \ln\left(\frac{1}{R_{PQ}}\right) \frac{\partial V}{\partial n_Q} dl_Q - \oint_{\partial S} V(Q) \frac{\mathbf{R}_{PQ} \cdot \mathbf{n}_Q}{R_{PQ}^2} dl_Q \quad (7.35)$$

- Pentru un punct  $P_k$  situat pe frontieră:

$$\beta_k V(P_k) = \oint_{\partial S} \ln\left(\frac{1}{R_{P_k Q}}\right) \frac{\partial V}{\partial n_Q} dl_Q - \oint_{\partial S} V(Q) \frac{\mathbf{R}_{P_k Q} \cdot \mathbf{n}_Q}{R_{P_k Q}^2} dl_Q \quad (7.36)$$

unde  $\beta_k$  este unghiul interior al frontierei, în  $P_k$ .

În cele ce urmează vom studia cazul regimului electrocinetic staționar.

### 7.1.2 Aproximarea potențialului și a derivatei sale pe frontiera domeniului

Relația (7.36) este cea care se discretizează în vederea obținerii celorlalte valori necesare pe frontieră: derivatele după normală ale potențialului în punctele frontierei Dirichlet și valorile potențialului în punctele frontierei Neumann. Relația (7.35) este cea care se discretizează în vederea postprocesării: calculul potențialului în orice punct din domeniu.

Pentru aceasta, frontiera domeniului  $\partial\mathcal{D}$  se împarte în *elemente de frontieră*: segmente în cazul 2D și triunghiuri (de exemplu) în cazul 3D.

**EXERCITIUL 3:** Ce diferențe apar în cazul regimului electrostatic?

Vom aproxima potențialul  $V$  pe fiecare element de frontieră ca având o variație liniară, iar derivata lui după normală ca fiind constantă.

### 7.1.3 Aproximarea condițiilor de frontieră

#### Formulele de aproximare

Să notăm cu  $ne$  numărul *elementelor de frontieră* și cu  $n$  numărul nodurilor.

**EXERCITIUL 4:** Ce relație există între  $ne$  și  $n$  în cazul unei frontiere unidimensionale simplu conexe (cazul problemei de rezolvat)?

În cazul bidimensional un element de frontieră (notat generic cu  $e$ ) reprezintă un segment  $[P_i, P_j]$ , unde  $i, j = 1, \dots, n$ . În consecință, aproximația relației (7.36) este:

$$\beta_k V(P_k) = \sum_{e=1}^{ne} \int_e \ln \left( \frac{1}{R_{P_k Q}} \right) \frac{\partial V}{\partial n_Q} dl_Q - \sum_{e=1}^{ne} \int_e V(Q) \frac{\mathbf{R}_{P_k Q} \cdot \mathbf{n}_Q}{R_{P_k Q}^2} dl_Q \quad (7.37)$$

Vom nota cu  $V_i = V(P_i)$  potențialul unui nod  $i$  și cu  $V'_e = \left( \frac{\partial V}{\partial n} \right) \Big|_e$  valoarea derivatei după normală asociată unui element  $e$ .

Potențialul într-un punct  $Q$  de pe segmentul  $[P_i, P_j]$ , situat la distanța  $l_{P_i Q}$  de  $P_i$  (figura 7.2) se poate scrie în funcție de potențialele  $V_i = V(P_i)$  și  $V_j = V(P_j)$  ca fiind:

$$V(Q) = V_i \left( 1 - \frac{l_{P_i Q}}{L_e} \right) + V_j \frac{l_{P_i Q}}{L_e} \quad (7.38)$$

unde am notat cu  $L_e$  lungimea segmentului  $[P_i, P_j]$ .

Ținând seama de aproximările și notațiile de mai sus, relația (7.37) se poate scrie astfel:

$$\beta_k V(P_k) = \sum_{e=1}^{ne} g(P_k, P_i, P_j) V'_e - \sum_{e=1}^{ne} h1(P_k, P_i, P_j) V_i - \sum_{e=1}^{ne} h2(P_k, P_i, P_j) V_j \quad (7.39)$$

unde am notat:

$$g(P, P_i, P_j) = \int_{P_i}^{P_j} \ln \left( \frac{1}{R_{PQ}} \right) dl_Q \quad (7.40)$$

$$h2(P, P_i, P_j) = \int_{P_i}^{P_j} \frac{\mathbf{R}_{PQ} \cdot \mathbf{n}_Q}{R_{PQ}^2} \frac{l_{P_i Q}}{L_e} dl_Q \quad (7.41)$$

$$h3(P, P_i, P_j) = \int_{P_i}^{P_j} \frac{\mathbf{R}_{PQ} \cdot \mathbf{n}_Q}{R_{PQ}^2} dl_Q \quad (7.42)$$

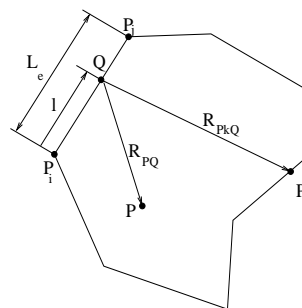
$$h1(P, P_i, P_j) = h3(P, P_i, P_j) - h2(P, P_i, P_j) \quad (7.43)$$

Relația (7.39) se scrie pentru:

- toate nodurile interioare frontierei Neumann (caz în care  $P_k$  este plasat chiar în nod);
- toate segmentele Dirichlet – cele care au ambele noduri Dirichlet – (caz în care  $P_k$  este plasat în mijlocul segmentului respectiv).

La aceste ecuații se adaugă:

- ecuații asociate nodurilor de pe frontiera Dirichlet, care constau în simpla atribuire a potențialului nodului respectiv;
- ecuații asociate segmentelor Neumann, care constau în simpla atribuire a valorii derivatei după normală.

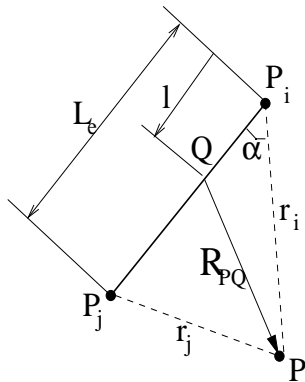


**Fig. 7.2.** Notații relative la un element de frontieră

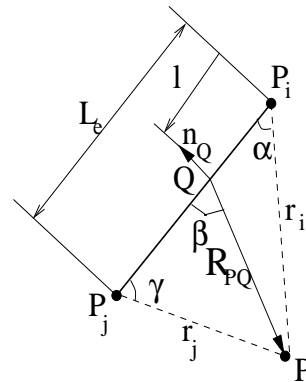
Se obține astfel un sistem de  $n + ne$  ecuații cu  $n + ne$  necunoscute din a cărui rezolvare rezultă valorile potențialelor în toate nodurile frontierei și valorile derivatei după normală pe toate elementele frontierei.

### Calculul analitic al integralelor

Valorile  $g(P, P_i, P_j)$ ,  $h1(P, P_i, P_j)$  și  $h2(P, P_i, P_j)$  unde  $i$  și  $j$  sunt nodurile elementului  $e$  se pot calcula analitic.



**Fig. 7.3.** Notații folosite în calculul integralei  $g$



**Fig. 7.4.** Notații folosite în calculul integralelor  $h2$  și  $h3$

#### • Integrala $g(P, P_i, P_j)$

Am văzut că:

$$g(P, P_i, P_j) = \int_{P_i}^{P_j} \ln \left( \frac{1}{R_{PQ}} \right) dl_Q \quad (7.44)$$

Cu notațiile din figura 7.3 rezultă că:

$$R_{PQ} = \sqrt{r_i^2 + l^2 - 2r_i l \cos \alpha} \quad \text{unde} \quad 2r_i L_e \cos \alpha = r_i^2 + L_e^2 - r_j^2 \quad (7.45)$$

Făcând schimbarea de variabilă  $x = l/L_e$ , integrala  $g$  se mai scrie:

$$g(P, P_i, P_j) = -\frac{L_e}{2} \int_0^1 \ln \left[ r_i^2 + x^2 L_e^2 - x(r_i^2 + L_e^2 - r_j^2) \right] dx \quad (7.46)$$

Această integrală se poate calcula analitic, rezultatul fiind:

$$\begin{aligned} g(P, P_i, P_j) = & -\frac{L}{2} \left( -2 + \frac{(-L^4 + 2L^2 r_i^2 - r_i^4 + 2L^2 r_j^2 + 2r_i^2 r_j^2 - r_j^4) \operatorname{ArcTanh} \left( \frac{-L^2 + r_i^2 - r_j^2}{\sqrt{L^4 - 2L^2 r_i^2 + r_i^4 - 2L^2 r_j^2 - 2r_i^2 r_j^2 + r_j^4}} \right)}{L^2 \sqrt{L^4 - 2L^2 r_i^2 + r_i^4 - 2L^2 r_j^2 - 2r_i^2 r_j^2 + r_j^4}} \right) + \\ & + \frac{\sqrt{L^4 - 2L^2 r_i^2 + r_i^4 - 2L^2 r_j^2 - 2r_i^2 r_j^2 + r_j^4} \operatorname{ArcTanh} \left( \frac{L^2 + r_i^2 - r_j^2}{\sqrt{L^4 - 2L^2 r_i^2 + r_i^4 - 2L^2 r_j^2 - 2r_i^2 r_j^2 + r_j^4}} \right)}{L^2} + \\ & + \frac{(L^2 + r_i^2 - r_j^2) \log(r_i^2)}{2L^2} + \log(r_j^2) + \frac{(-L^2 - r_i^2 + r_j^2) \log(r_j^2)}{2L^2} \end{aligned} \quad (7.47)$$

În relația (7.47) am notat  $L = L_e$ ,  $ri = r_i$  distanța de la punctul  $P$  la punctul  $P_i$  și cu  $rj = r_j$  distanța de la punctul  $P$  la punctul  $P_j$ .

Integrala  $g$ , scrisă ca în relația (7.46) nu este convergentă în cazul în care  $P$  este un punct interior segmentului  $[P_i, P_j]$ . În acest caz se demonstrează ușor că ea are expresia:

$$g(P, P_i, P_j) = -r_i \ln(r_i) - r_j \ln(r_j) + L_e \quad (7.48)$$

**EXERCITIUL 5:** Demonstrați relația (7.48).

• **Integrala  $h2(P, P_i, P_j)$**

Am văzut că:

$$h2(P, P_i, P_j) = \int_{P_i}^{P_j} \frac{\mathbf{R}_{PQ} \cdot \mathbf{n}_Q}{R_{PQ}^2} \frac{l_{P_i Q}}{L_e} dl_Q \quad (7.49)$$

$$h3(P, P_i, P_j) = \int_{P_i}^{P_j} \frac{\mathbf{R}_{PQ} \cdot \mathbf{n}_Q}{R_{PQ}^2} dl_Q \quad (7.50)$$

Cu notațiile din figura 7.4 rezultă că:

$$\mathbf{R}_{PQ} \cdot \mathbf{n}_Q = -R_{PQ} \sin \beta = -r_j \sin \gamma = -\frac{2A_{PP_i P_j}}{L_e} \quad (7.51)$$

unde am notat cu  $A_{PP_i P_j}$  aria triunghiului determinat de punctele  $P$ ,  $P_i$  și  $P_j$ . Observăm că mărimea  $\mathbf{R}_{PQ} \cdot \mathbf{n}_Q$  este constantă atunci când  $Q$  parcurge elementul  $[P_i P_j]$ .

Făcând schimbarea de variabilă  $x = l/L_e$ , integralele  $h2$  și  $h3$  se mai scriu:

$$h2(P, P_i, P_j) = -2A_{PP_i P_j} \int_0^1 \frac{x}{r_i^2 + x^2 L_e^2 - x(r_i^2 + L_e^2 - r_j^2)} dx \quad (7.52)$$

$$h3(P, P_i, P_j) = -2A_{PP_i P_j} \int_0^1 \frac{1}{r_i^2 + x^2 L_e^2 - x(r_i^2 + L_e^2 - r_j^2)} dx \quad (7.53)$$

Aceste integrale se pot calcula analitic, rezultatele fiind:

$$h2(P, P_i, P_j) = -2A \left( \frac{(L^2 + r_i^2 - r_j^2) \operatorname{ArcTanh}\left(\frac{-L^2 + r_i^2 - r_j^2}{\sqrt{L^4 - 2L^2 r_i^2 + r_i^4 - 2L^2 r_j^2 - 2r_i^2 r_j^2 + r_j^4}}\right)}{L^2 \sqrt{L^4 - 2L^2 r_i^2 + r_i^4 - 2L^2 r_j^2 - 2r_i^2 r_j^2 + r_j^4}} - \frac{(L^2 + r_i^2 - r_j^2) \operatorname{ArcTanh}\left(\frac{L^2 + r_i^2 - r_j^2}{\sqrt{L^4 - 2L^2 r_i^2 + r_i^4 - 2L^2 r_j^2 - 2r_i^2 r_j^2 + r_j^4}}\right)}{L^2 \sqrt{L^4 - 2L^2 r_i^2 + r_i^4 - 2L^2 r_j^2 - 2r_i^2 r_j^2 + r_j^4}} - \frac{\log(r_i^2)}{2L^2} + \frac{\log(r_j^2)}{2L^2} \right) \quad (7.54)$$

$$h3(P, P_i, P_j) = \frac{-4A \left( \operatorname{ArcTanh}\left(\frac{-L^2 + r_i^2 - r_j^2}{\sqrt{L^4 - 2L^2 r_i^2 + r_i^4 - 2L^2 r_j^2 - 2r_i^2 r_j^2 + r_j^4}}\right) - \operatorname{ArcTanh}\left(\frac{L^2 + r_i^2 - r_j^2}{\sqrt{L^4 - 2L^2 r_i^2 + r_i^4 - 2L^2 r_j^2 - 2r_i^2 r_j^2 + r_j^4}}\right) \right)}{\sqrt{L^4 - 2L^2 r_i^2 + r_i^4 - 2L^2 r_j^2 - 2r_i^2 r_j^2 + r_j^4}} \quad (7.55)$$

În relațiile (7.54) și (7.55) am notat  $L = L_e$ ,  $r_i = r_i$  distanța de la punctul  $P$  la punctul  $P_i$ ,  $r_j = r_j$  distanța de la punctul  $P$  la punctul  $P_j$  și cu  $A$  aria triunghiului determinat de punctele  $P$ ,  $P_i$  și  $P_j$ .

Observații:

1. În cazul degenerat în care punctele  $P$ ,  $P_i$ ,  $P_j$  sunt coliniare integralele  $h_2$  și  $h_3$  sunt nule.
2. Relațiile deduse pentru  $h_2$  și  $h_3$  sunt valabile dacă normala  $\mathbf{n}_Q$  și vectorul  $\mathbf{R}_{PQ}$  formează un unghi obtuz (cazul desenat în figura 7.4). În caz contrar, dacă normala  $\mathbf{n}_Q$  și vectorul  $\mathbf{R}_{PQ}$  formează un unghi ascuțit, relațiile deduse pentru integralele  $h_2$  și  $h_3$  trebuie înmulțite cu -1.

### 7.1.4 Calculul repartiției potențialului

După determinarea tuturor valorilor și derivatelor după normală, calculul potențialului în oricare punct se va face astfel:

$$V(P) = \frac{1}{2\pi} \left( \sum_{e=1}^{ne} g(P, P_i, P_j) V_e' - \sum_{e=1}^{ne} h_1(P, P_i, P_j) V_i - \sum_{e=1}^{ne} h_2(P, P_i, P_j) V_j \right) \quad (7.56)$$

unde  $i$  și  $j$  sunt nodurile unui element  $e$ .

## 7.2 Implementarea metodei în *Scilab*

### 7.2.1 Implementarea funcțiilor care calculează integrale

Mai întâi vom implementa funcțiile  $g$ ,  $h_1$  și  $h_2$ , necesare atât asamblării sistemului de ecuații cât și postprocesării problemei.

#### **EXERCITIUL 6:**

a) În directorul `~/modelare/tema7` creați un director "integrale".  
 b) În directorul `~/modelare/tema7/integrale` scrieți un fișier "test.sci" cu următorul conținut:

```
clear;
getf('functii_gh.sci');
P = [3 5];
Pi = [3 0];
Pj = [3 1];
[g,h1,h2] = calcul_integrale(P,Pi,Pj);
```



a) Cu ajutorul comenzii `help` descrieți sintaxa și efectul comenzii `integrate`.

b) În directorul `~/modelare/tema7/integrale` scrieți un fișier "functii\_gh.sci" cu următorul conținut:

```
function [g,h1,h2] = calcul_integrale(P,Pi,Pj)
x = P(1)
y = P(2)
xi = Pi(1)
yi = Pi(2)
xj = Pj(1)
yj = Pj(2)
ri = sqrt((x-xi)^2 + (y-yi)^2)
rj = sqrt((x-xj)^2 + (y-yj)^2)
L = sqrt((xi-xj)^2 + (yi-yj)^2)
M = [1 P; 1 Pi; 1 Pj]
A = 0.5*abs(det(M));
if( ((x-xi)*(x-xj)<0) & ((y-yi)*(y-yj)<0) & ...
    ((x-xi)*(yj-yi)==(y-yi)*(xj-xi))) | ...
    ( (xi == xj) & (x == xi) & ...
      ((y-yi)*(y-yj)<0) ) | ...
    ( (yi == yj) & (y == yi) & ...
      ((x-xi)*(x-xj)<0) ) ),
    g = -ri*log(ri) - rj*log(rj) + L;
else
    g = -L/2*integrate('log(ri^2+x^2*L^2 - ...
        x*(ri^2+L^2-rj^2))','x',0,1);
end;
if (A == 0),
    h2 = 0;
else
    h2 = -2*A*integrate('x/(ri^2+x^2*L^2-...
        x*(ri^2+L^2-rj^2))','x',0,1);
    if( (yj-yi)*(x-xi)-(xj-xi)*(y-yi)>0 ),
        h2 = -1*h2;
    end,
end;
if (A == 0),
    h3 = 0;
else
    h3 = -2*A*integrate('1/(ri^2+x^2*L^2-...
        x*(ri^2+L^2-rj^2))','x',0,1);
    if((yj-yi)*(x-xi)-(xj-xi)*(y-yi)>0),
        h3 = -1*h3;
    end,
end;
h1 = h3 - h2;
return
```

### EXERCITIUL 7:

**EXERCITIUL 8:**

- a) Comentați fiecare instrucțiune a funcției `calcul_integrale`. Cum este aleasă normala la un element?
- b) Testați corectitudinea funcției implementate prin executarea programului “test.sci”. Rezultatul trebuie să fie:  $g = -1.5020121$ ,  $h1 = 0$ ,  $h2 = 0$ . Pentru  $P = [7 \ 5]$  rezultatele trebuie să fie:  $g = -1.7950872$ ,  $h1 = 0.0530434$ ,  $h2 = 0.0576138$ .

**7.2.2 Implementarea structurilor de date****EXERCITIUL 9:**

- a) Din directorul `~/modelare/tema4` copiați în directorul `~/modelare/tema7` fișierele “citire\_date.sci” și “grid.sci”.
- b) În directorul `~/modelare/tema7` editați un fișier “main.sci” cu următorul conținut:

```
clear;
getf('citire_date.sci');
getf('grid.sci');
getf('noduri.sci');
getf('elemente.sci');
getf('bem.sci');
getf('integrale/functii_gh.sci');

disp('Metoda elementelor de frontiera - ...
      conductor in forma de L');
// ----- preprocesare -----
// citirea si validarea datelor problemei
[a,b,A,B,sigma,V0] = date();
// discretizare frontiera
[x,y,N_A,N_a,N_b,N_Bb] = grid(a,b,A,B);
// generarea structurilor de date
[noduri] = nodes(x,y,V0,N_A,N_a,N_b,N_Bb);
[elemente] = elements(x,y,V0,N_A,N_a,N_b,N_Bb);

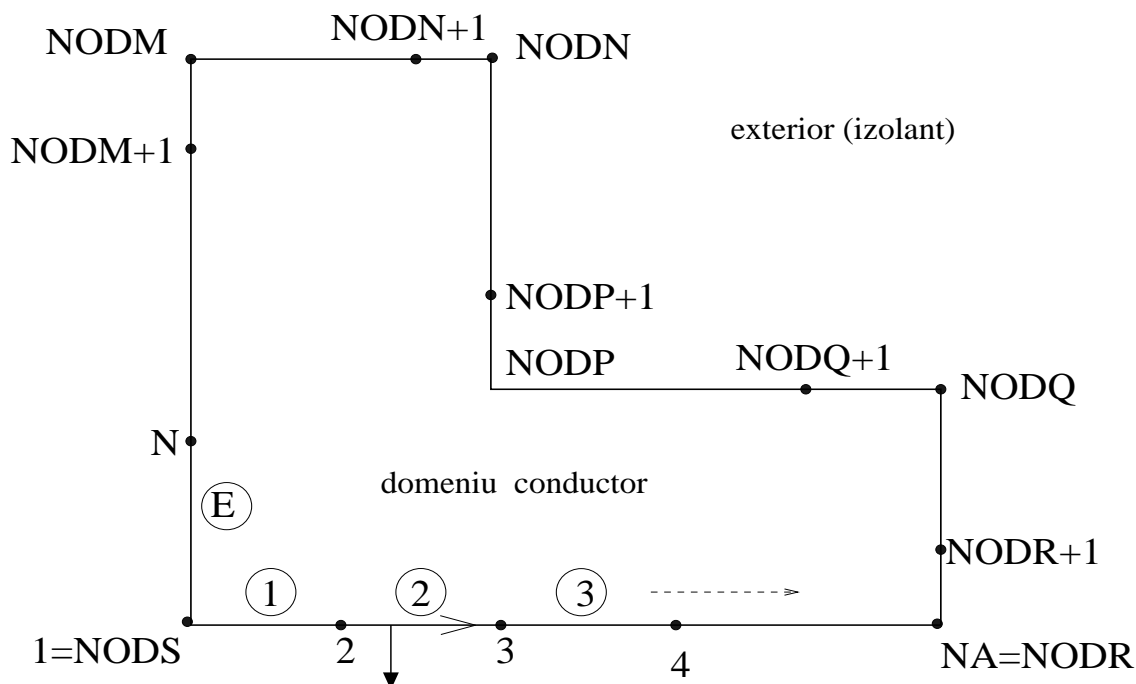
// asamblarea matricei coeficientilor M si
// a vectorului termenilor liberi p
[M, p] = assembleaza(noduri, elemente);

// ----- rezolvare -----
v = inv(M)*p;

// ----- postprocesare -----
exec('postprocesare.sci');
```

Funcția `date` și funcția `grid` sunt cele definite în fișierele “`citire_date.sci`” și “`grid.sci`”. Aceste funcții, precum și notațiile  $a$ ,  $A$ ,  $b$ ,  $B$ ,  $N_A$ ,  $N_a$ ,  $N_b$ ,  $N_{Bb}$  au fost explicate în detaliu la tema 4.

Ne vom concentra acum atenția asupra structurilor de date specifice metodei elementelor de frontieră. Pentru a construi aceste structuri de date, ne vom alege mai întâi un mod de a numerota nodurile și elementele de frontieră. Vom parcurge frontiera în sens trigonometric, începând din punctul  $S$ , așa cum se arată în figura 7.5.



**Fig. 7.5.** Modul în care se face numerotarea nodurilor și a elementelor ( $N$  este numărul de noduri și  $E = ne$  este numărul de elemente). Numerele încercuite reprezintă elemente, de exemplu: elementul 2 are nodul inițial 2 și nodul final 3. Prin definiție, normala la un element este exterioară domeniului.

Informațiile legate de noduri vor fi memorate în matricea `noduri`. Aceasta este o matrice cu cinci coloane și cu un număr de linii egal cu numărul de noduri. Linia  $i$  a acestei matrice corespunde nodului numărul  $i$ , și ea conține următoarele informații (vezi și figura 7.6):

1. Pe prima coloană se memorează tipul nodului (Dirichlet sau Neumann).
2. A doua coloană conține abscisa nodului.
3. A treia coloană conține ordonata nodului.
4. A patra coloană conține valoarea condiției de frontieră. Acest număr are semnificație doar dacă nodul este Dirichlet.
5. A cincea coloană conține unghiul interior al domeniului în acel nod. Această informație va fi utilă la preprocesare doar dacă nodul este de tip Neumann.

linia 1	20	0	0	0	$\pi/2$
⋮					
linia N	20	0		0	$\pi$

**Fig. 7.6.** Matricea nodurilor: 10 = nod Dirichlet, 20 = nod Neumann

linia 1	20	1	2	0
⋮				
linia E	20	N	1	0

**Fig. 7.7.** Matricea elementelor: 10 = segment Dirichlet, 20 = segment Neumann

Informațiile legate de elemente vor fi memorate în matricea **elemente**. Aceasta este o matrice cu patru coloane și cu un număr de linii egal cu numărul de elemente. Linia  $i$  a acestei matrice corespunde elementului numărul  $i$ , și ea conține următoarele informații (vezi și figura 7.7):

1. Pe prima coloană se memorează tipul elementului (Dirichlet sau Neumann).
2. A doua coloană conține numărul nodului inițial.
3. A treia coloană conține numărul nodului final.
4. A patra coloană conține valoarea condiției de frontieră. Acest număr are semnificație doar dacă elementul este de tip Neumann.

Observație: Practic nu este nevoie de o orientare a elementului, dar, pentru ușurința scrierii programului, vom construi această matrice astfel încât un element este parcurs de la nodul inițial spre nodul final, iar normala lui este exterioară domeniului (vezi figura 7.5, elementul 2).

#### EXERCITIUL 10:

În directorul `~/modele/tema7` editați un fișier “noduri.sci” cu următorul conținut:

```
function [noduri]=nodes(x,y,V0,N_A,N_a,N_b,N_Bb)
NODS = 1;
NODR = N_A;
NODQ = NODR + N_b -1;
NODP = NODQ + N_A - N_a;
NODN = NODP + N_Bb;
NODM = NODN + N_a - 1;
NR_NODURI = NODM + N_b + N_Bb - 2;
tip = 1;
Dirichlet = 10; Neumann = 20;
x_nod = 2; y_nod = 3;
```

*Continuarea exercițiului pe pagina următoare*

```

CF_nod = 4;  beta_nod = 5;
noduri = zeros(NR_NODURI,5);
for i = NODS : NODR-1,
    noduri(i,tip) = Neumann,
    j = i - NODS + 1,
    noduri(i,x_nod) = x(j),
    noduri(i,y_nod) = y(1),
end;
for i = NODR : NODQ
    noduri(i,tip) = Dirichlet,
    j = i - NODR + 1,
    noduri(i,x_nod) = x(N_A),
    noduri(i,y_nod) = y(j),
    noduri(i,CF_nod) = 0,
end;
for i = NODQ+1 : NODP
    noduri(i,tip) = Neumann,
    j = N_A - (i - NODQ) ,
    noduri(i,x_nod) = x(j),
    noduri(i,y_nod) = y(N_b),
end;
for i = NODP+1 : NODN-1
    noduri(i,tip) = Neumann,
    j = N_b + i - NODP ,
    noduri(i,x_nod) = x(N_a),
    noduri(i,y_nod) = y(j),
end;
for i = NODN : NODM
    noduri(i,tip) = Dirichlet,
    j = N_a - (i - NODN);
    noduri(i,x_nod) = x(j),
    noduri(i,y_nod) = y(N_b + N_Bb),
    noduri(i,CF_nod) = V0,
end;
for i = NODM+1 : NR_NODURI
    noduri(i,tip) = Neumann,
    j = N_b + N_Bb - (i - NODM),
    noduri(i,x_nod) = x(1),
    noduri(i,y_nod) = y(j),
end;
for i = 1:NR_NODURI,
    noduri(i,beta_nod) = %pi,
end;
noduri(NODS,beta_nod) = %pi/2;
noduri(NODP,beta_nod) = 3*%pi/2;
noduri(NODR,beta_nod) = %pi/2;
noduri(NODQ,beta_nod) = %pi/2;
noduri(NODN,beta_nod) = %pi/2;
noduri(NODM,beta_nod) = %pi/2;
return

```

**EXERCITIUL 10:**

**EXERCITIUL 11:**

- a) Comentați fiecare instrucțiune a funcției `nodes`.  
 b) Testați corectitudinea funcției pentru cazul foarte simplu în care  $x = [0 \ 1 \ 2 \ 3]$  și  $y = [0 \ 1 \ 2]$ .

În directorul `~/modelare/tema7` editați un fișier “elemente.sci” cu următorul conținut:

```
function [elemente]=elements(x,y,V0,N_A,N_a,...
                               N_b,N_Bb)

NODS = 1;
NODR = N_A;
NODQ = NODR + N_b - 1;
NODP = NODQ + N_A - N_a;
NODN = NODP + N_Bb;
NODM = NODN + N_a - 1;
NR_NODURI = NODM + N_b + N_Bb - 2;
tip = 1;
Dirichlet = 10; Neumann = 20;
nod_initial = 2;
nod_final = 3;
CF_segment = 4;
NR_ELEMENTE = NR_NODURI;
elemente = zeros(NR_ELEMENTE,4);
for e = 1:NR_ELEMENTE,
    elemente(e,nod_initial) = e,
    elemente(e,nod_final) = e+1,
end;
elemente(NR_ELEMENTE,nod_final) = 1;
for e = 1: NODR-1,
    elemente(e,tip) = Neumann,
    elemente(e,CF_segment) = 0,
end;
for e = NODR: NODQ-1,
    elemente(e,tip) = Dirichlet,
end;
for e = NODQ: NODN-1,
    elemente(e,tip) = Neumann,
    elemente(e,CF_segment) = 0,
end;
for e = NODN: NODM-1,
    elemente(e,tip) = Dirichlet,
end;
for e = NODM: NR_ELEMENTE,
    elemente(e,tip) = Neumann,
    elemente(e,CF_segment) = 0,
end;
return;
```

**EXERCITIUL 12:**

**EXERCITIUL 13:**

- a) Comentați fiecare instrucțiune a funcției `elements`.  
 b) Testați corectitudinea funcției pentru cazul foarte simplu în care  $x = [0 \ 1 \ 2 \ 3]$  și  $y = [0 \ 1 \ 2]$ .

### 7.2.3 Asamblarea sistemului de ecuații

Sistemul de ecuații este de forma  $M v = p$ , unde  $M$  este o matrice pătrată de dimensiune egală cu numărul de noduri  $n$  plus numărul de elemente  $ne$ . Vectorul necunoscutelor  $v$  este un vector coloană în care primele  $n$  linii corespund potențialelor nodurilor iar următoarele  $ne$  linii corespund derivatelor după normală pe elementele de frontieră.

**EXERCITIUL 14:**

În directorul `~/modelare/tema7` editați un fișier "bem.sci" cu următorul conținut:

```
function [M, p] = assembleaza(noduri, elemente)

temp = size(noduri);
NR_NODURI = temp(1,1);

temp = size(elemente);
NR_ELEMENTE = temp(1,1);

nr_nec = NR_NODURI + NR_ELEMENTE;
M = zeros(nr_nec, nr_nec);
p = zeros(nr_nec, 1);
Dirichlet = 10;
Neumann = 20;
for i = 1:NR_NODURI,
    if (noduri(i,1) == Dirichlet),
        M(i,i) = 1;
        p(i) = noduri(i,4);
    else
        Pk = [noduri(i,2) noduri(i,3)];
        betak = noduri(i,5);
        M(i,i) = betak;
        for e = 1:NR_ELEMENTE,
            M(i,:) = assembleaza_linie(M(i,:), ...
                e, Pk, elemente, noduri, ...
                NR_NODURI);
        end,
    end,
end,
end;
```

*Continuarea exercițiului pe pagina următoare*

```

for i = 1:NR_ELEMENTE,
    j = NR_NODURI + i;
    if (elemente(i,1) == Neumann),
        M(j,j) = 1;
        p(j) = elemente(i,4);
    else
        nod0 = elemente(i,2);
        nod1 = elemente(i,3);
        Pk(1,1) = (noduri(nod0,2)+...
                 noduri(nod1,2))/2;
        Pk(1,2) = (noduri(nod0,3)+...
                 noduri(nod1,3))/2;
        betak = %pi;
        M(j,nod0) = betak/2;
        M(j,nod1) = betak/2;
        for e = 1:NR_ELEMENTE,
            M(j,:) = assembleaza_linie(...
                M(j,:),e,Pk,...
                elemente,...
                noduri,...
                NR_NODURI);
        end,
    end,
end;
return;

```

**EXERCITIUL 14:**

```

function v = assembleaza_linie(vector,e,Pk,...
                               elemente,noduri,NR_NODURI)

v = vector;
nodi = elemente(e,2);
nodj = elemente(e,3);
Pi = [noduri(nodi,2) noduri(nodi,3)]
Pj = [noduri(nodj,2) noduri(nodj,3)]
[g h1 h2] = calcul_integrale(Pk,Pi,Pj);
v(nodi) = v(nodi) + h1;
v(nodj) = v(nodj) + h2;
v(NR_NODURI+e) = v(NR_NODURI+e) - g;
return

```

- a) Comentați fiecare instrucțiune din exercițiul 14.  
b) Verificați corectitudinea programului implementat până acum: pentru  $x = [0 \ 1 \ 2 \ 3]$  și  $y = [0 \ 1 \ 2]$ , vectorul  $v$  are componentele:

**EXERCITIUL 15:**

```

v' = [.7867020 .7086116 .4440148 0 0 .5745304...
      1 1 1 .8433378 0 0 0 -.5005025 0 0 .2941569...
      .1800088 0 0]

```



## 7.2.4 Postprocesarea

Având valorile potențialului și derivatei lui după normală în oricare punct al frontierei, putem calcula potențialul  $V$  oriunde în interiorul domeniului cu formula (7.56). Cu o formulă similară (în care împărțirea se face la  $\beta$  și nu la  $2\pi$ ) se poate calcula potențialul și în orice punct de pe frontieră.

Pentru trasarea liniilor echipotențiale vom calcula potențialul  $V$  în punctele unei grile determinate de doi vectori *abscise* și *ordonate*.

În directorul `~/modelare/tema7` editați un fișier “post-procesare.sci” cu următorul conținut:

```
getf('unghi.sci');
getf('calcul_v.sci');

nrsegm_x = 6;      nrsegm_y = 4;
pasx = A/nrsegm_x; pasy = B/nrsegm_y;
abscise = 0:pasx:A;
ordonate = 0:pasy:B;
NX = length(abscise); NY = length(ordonate);
matrice_pot = zeros(NX,NY);

for i = 1: NX,
    for j = 1: NY,
        val_x = abscise(i);
        val_y = ordonate(j);
        Pk = [val_x val_y];
        val = calcul_potential(Pk,...
                               elemente,noduri,v);
        beta = calcul_unghi(val_x,...
                             val_y,a,A,b,B);
        if beta == 0,
            matrice_pot(i,j) = 0;
        else
            matrice_pot(i,j) = val/beta;
        end;
    end,
end
if (A > B)
    xsetech([0,0,1,B/A]);
else
    xsetech([0,0,A/B,1]);
end
contour(abscise,ordonate,matrice_pot,10);
xrects([2;2;1;1],4);
```

### EXERCITIUL 16:

În directorul ~/modelare/tema7 editați un fișier “unghi.sci” cu următorul conținut:

```
function beta = calcul_unghi(valx, valy, a, A, b, B)
beta = 2*pi;
if valy == 0,
    if ((valx == 0) | (valx == A)),
        beta = pi/2;
    else
        beta = pi;
    end,
end;
if valy == b,
    if ((valx == 0) | ((valx > a) & (valx < A))),
        beta = pi;
    elseif valx == a,
        beta = 3*pi/2;
    elseif valx == A,
        beta = pi/2;
    end,
end;
if valy == B,
    if ((valx == 0) | (valx == a)),
        beta = pi/2;
    elseif ((valx > 0) & (valx < a)),
        beta = pi;
    else
        beta = 0;
    end,
end;
if valx == 0,
    if ((valy > 0) & (valy < B)),
        beta = pi;
    end,
end;
if valx == a
    if ((valy > b) & (valy < B)),
        beta = pi;
    end,
end;
if valx == A,
    if ((valy > 0) & (valy < b)),
        beta = pi;
    end,
end;
if (((valx > a) & (valy > b)) | (valx > A) | ...
    (valx < 0) | (valy < 0) | (valy > B)),
    beta = 0;
end;
return
```

### EXERCITIUL 17:

**EXERCITIUL 18:**

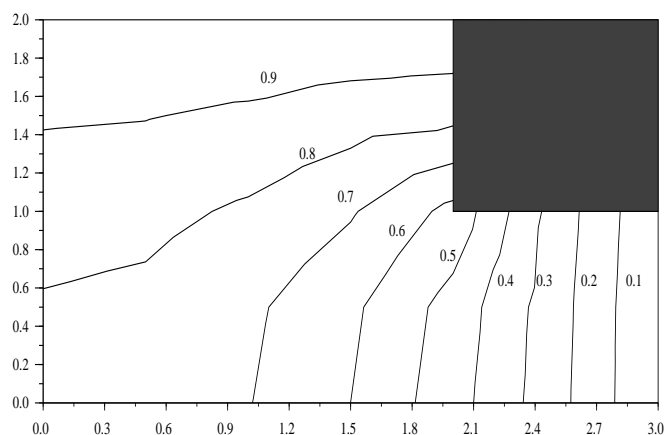
În directorul ~/modelare/tema7 editați un fișier “cal-  
cul\_v.sci” cu următorul conținut:

```
function val = calcul_potential(Pk,...
                               elemente,noduri,v)
temp = size(noduri);
NR_NODURI = temp(1,1);
temp = size(elemente);
NR_ELEMENTE = temp(1,1);
val = 0;
for e = 1:NR_ELEMENTE,
    nodi = elemente(e,2);
    nodj = elemente(e,3);
    Pi = [noduri(nodi,2) noduri(nodi,3)]
    Pj = [noduri(nodj,2) noduri(nodj,3)]
    [g h1 h2] = calcul_integrale(Pk,Pi,Pj)
    val = val + g*v(NR_NODURI+e);
    val = val - h1*v(nodi);
    val = val - h2*v(nodj);
end
// val trebuie impartita la unghi
return
```

**EXERCITIUL 19:**

- Comentați fiecare instrucțiune a funcției calcul\_unghi.
- Comentați fiecare instrucțiune a funcției calcul\_potential.

Programul este acum complet. Executându-l ar trebui să obțineți figura 7.8.



**Fig. 7.8.** Linii echipotențiale

**EXERCITIUL 20:**

- a) Calculați potențialul (cu ajutorul funcției `calcul_v`) în nodurile Dirichlet. Ce observați?
- b) Calculați potențialul (cu ajutorul funcției `calcul_v`) în mijloacele segmentelor Dirichlet. Comentați.

**EXERCITIUL 21:**

- a) Studiați proprietățile matricei  $M$ .
- b) Analizați complexitatea algoritmului din punct de vedere al timpului de calcul și a necesarului de memorie.

**EXERCITIUL 22:**

Comparați rezultatele numerice ale acestei metode cu rezultatele obținute în celelalte metode învățate (volum finite, diferențe finite, elemente finite).



# Bibliografie

- [1] \*\*\*. The Linux encyclopedia.  
<http://www-ocean.tamu.edu/baum/linuxlist.html/>.
- [2] \*\*\*. Scilab: A free CACSD package by INRIA.  
<http://www-rocq.inria.fr/scilab/>.
- [3] \*\*\*. *Drx. Linux. The Linux Documentation Project*. LSL, 1994.
- [4] K. J. Binns, P. J. Lawrenson și C. W. Trowbridge. *The Analytical and Numerical Solution of Electric and Magnetic Fields*. John Wiley & Sons, West Sussex, England, 1992.
- [5] J. F. Botha și G. F. Pinder. *Fundamental Concepts in the Numerical Solution of Differential Equations*. John Wiley and Sons, Inc., New York, 1983.
- [6] I. Holland și K. Bell, editori. *Finite Element Methods in Stress Analysis*. Tapir, Trondheim, Norway, 1969.
- [7] I. F. Hăntilă. *Calculul câmpului electromagnetic cu ajutorul calculatorului*. PS-CAEE, București, Romania, 1993.
- [8] Kamran Husain și Tim Parker. *Linux Unleashed*. Sams Publishing, Indianapolis, 1995.
- [9] Daniel Ioan. *Metode pentru calculul câmpului electromagnetic*. Institutul Politehnic București, 1988.
- [10] Daniel Ioan, Irina Munteanu, Bogdan Ionescu, Mihai Popescu, Radu Popa, Mihai Lăzărescu și Gabriela Ciuprina. *Metode numerice în ingineria electrică*. MATRIX ROM, București, România, 1998.
- [11] J.R.Brauer, G.E. Barron și Nancy J. Lambert. *What Every Engineer Should Know About Finite Element Analysis*. Marcel Dekker Inc., New York, 1988.
- [12] K. S. Kunz și R. J. Luebbers. *The Finite Difference Time Domain Method for Electromagnetics*. CRC Press, Boca Raton, FL, 1993.
- [13] C. I. Mocanu. *Teoria câmpului electromagnetic*. Editura Didactică și Pedagogică, București, 1981.
- [14] Irina Munteanu. *Calculul numeric al câmpului electromagnetic. Contribuții la analiza câmpului electromagnetic general variabil prin metoda volumelor finite*. Teză de doctorat, Universitatea "Politehnica" București, Romania, 1997.

- [15] William H. Press, Saul A. Teukolsky, William T. Vetterling și Brian P. Flannery. *Numerical Recipes in C: the art of scientific computing*. Cambridge University Press, Cambridge, UK, 1992.
- [16] M. N. O. Sadiku. *Numerical Techniques in Electromagnetics*, pp. 179–204. CRC Press, Boca Raton, 1992.
- [17] P. P. Silvester și R. L. Ferrari. *Finite Elements for Electrical Engineers*. Cambridge University Press, Cambridge, 1991.
- [18] A. Taflove. *Computational Electrodynamics: The Finite-Difference Time-Domain Method*. Artech House, Boston, MA, 1995.
- [19] A. Taflove, editor. *Advances in Computational Electrodynamics: The Finite-Difference Time-Domain Method*. Artech House, Boston, MA, 1998.
- [20] O. C. Zienkiewicz și R. L. Taylor. *The Finite Element Method*, vol. 1. McGraw Hill, London, 1989.

## Anexa A

# Cum se desfășoară laboratorul *Modelarea numerică a câmpului electromagnetic?*

Pe parcursul laboratorului veți parcurge un număr de teme. Laboratorul se bazează pe **lucru individual**, cadrul didactic stându-vă la dispoziție pentru răspunsurile la întrebări.

- Pentru a folosi la maximum timpul de lucru în fața calculatorului, este bine să citiți tema de laborator înainte de începerea orei.
- Parcurgeți fiecare temă în ritmul Dumneavoastră.
- Pe parcursul temei veți întâlni exerciții marcate astfel:

<b>EXERCITIUL 1:</b> Citiți și comentați acest text.
--

Notați la fiecare exercițiu rezultatul, sau comentariul cerut.

- “Referatul de laborator” constă în răspunsul la aceste exerciții și trebuie predat **la sfârșitul orei**. Începând cu tema a doua, răspunsurile la exerciții vor fi scrise direct într-un fișier și trimise prin poștă electronică cadrului didactic.
- Laboratorul în care veți efectua lucrările prezentate în acest volum face parte din Laboratorul de Metode Numerice (LMN) din Catedra de Electrotehnică, Facultatea de Electrotehnică din Universitatea “Politehnica” București.

Intrând în acest laborator vă angajați să respectați regulamentul de funcționare al LMN, prezentat în Anexa B.



**EXERCITIUL 2:**

Citiți acum, cu atenție, Regulamentul de funcționare din Anexa B și întrebați cadrul didactic cu privire la orice nelămurire.

Veți semna după aceea o “Fișă de deschidere de cont”, iar cadrul didactic vă va comunica numele de utilizator și parola Dvs.

Din acest moment puteți începe să lucrați la Tema 1.

# Anexa B

## Regulamentul Laboratorului de Metode Numerice

### Instrucțiuni de respectat la folosirea rețelei de calculatoare locale din Laboratorul de Metode Numerice (lmn.pub.ro)

Oricine intră în laboratorul de metode numerice și are deschis un cont activ pe rețeaua locală de calculatoare trebuie să cunoască următoarele reguli.

1. La fiecare intrare in sistem (login time) veți primi diferite mesaje de care trebuie sa țineți cont. Acestea sunt scrise de către administratorul de sistem și au forma:  
#####  
Incercati sa stergeti din fisierele care nu  
mai sunt necesare  
#####
2. Încercati să vă țineți cât mai actuale datele personale cu ajutorul comenzii chfn și a fisierului .plan
3. Accesul cu diskete este total interzis. Orice problemă care cere introducerea unei diskete din exteriorul laboratorului va fi soluționată numai de administrator.
4. Accesul fizic la calculatoare se va face numai prin intermediul tastaturii și a mouse-ului. Nu acționați nici un alt buton. Nu deconectați/conectați cabluri.
5. Întrucât aveți și acces direct la rețeaua Internet va trebui sa fiți un bun locuitor al acesteia. Este interzis accesul în orice calculator din lume dacă nu aveți un cont personal. Orice încercare de pătrundere frauduloasă în orice sistem sau de producere a oricăror daune asupra datelor din alte sisteme se va pedepsi foarte drastic.
6. Parola este personală și este interzisă folosirea contului de către orice altă persoană în afară de posesorul de drept al acestuia. Nu incredințați parola nimănui altcuiva.

**Schimbați parola cel puțin lunar** cu ajutorul comenzii `passwd`.

Alegeți o parolă bună, în primul rând foarte diferită de numele de cont. Nici data de naștere, numele mic, numele de familie nu constituie parole bune.

Parola trebuie să aibă 6-8 caractere, litere și cifre.

7. Este interzisă înlesnirea accesului altor persoane în contul propriu via `.rhosts`.
8. Încercați să vă rezolvați singuri problemele prin metode soft care nu cer drepturi de root. Când sunteți siguri că nu se poate, scrieți o hârtie cu datele amănunțite ale problemei, cum ați încercat s-o rezolvați și numele dumneavoastră de cont. Mai sigur prin mail, la adresa:

`help@lmn.pub.ro`

9. Orice resursă costă. De aceea, nu aveți dreptul să folosiți imprimanta decât pentru a imprima lucrările, referatele, etc. realizate de Dvs. în cadrul activităților de laborator sau de elaborare a lucrării de diplomă. Este interzisă imprimarea documentelor de pe Internet, a cursurilor, etc. fără aprobarea șefului laboratorului, prof. Daniel Ioan.

Metodele numerice pentru analiza câmpului electromagnetic reprezintă una din “pietrele de încercare” ale oricărui student în ingineria electrică, prin varietatea și complexitatea lor teoretică și algoritmică.

***Modelarea numerică a câmpului electromagnetic prin programe Scilab*** reprezintă un bun punct de plecare în înțelegerea și aprofundarea principalelor metode numerice de calcul al câmpului electromagnetic: volume finite, diferențe finite, reziduuri ponderate – în particular implementarea acestora prin elemente finite și elemente de frontieră.

Elementele teoretice expuse sunt cele esențiale pentru dezvoltarea unui algoritm, iar exemplele de caz, deși de o complexitate geometrică simplă, sunt ilustrative pentru metodele prezentate. Algoritmii propuși în carte sunt cele mai simple forme ale celor utilizați în pachetele profesionale, scopul fiind de a ușura înțelegerea principiului metodelor, și nu de a demonstra cele mai avansate tehnici de implementare a acestora.

*Scilab* a fost ales ca mediu pentru implementarea algoritmilor, pentru două motive: asemănarea limbajului cu binecunoscutul Matlab și faptul că programul se încadrează în categoria “free software”, fiind astfel accesibil oricărui posesor de calculator.